

РОССИЙСКАЯ АКАДЕМИЯ ЕСТЕСТВЕННЫХ НАУК

В.А.Ацюковский, В.Г.Васильев

Обнаружение и нейтрализация геопатогенных излучений Земли

**Москва
2005 г.**

В.А.Ацюковский, В.Г.Васильев. Обнаружение и нейтрализация геопатогенных излучений Земли.

В книге приведены данные о геопатогенных явлениях на поверхности Земли, приводящих к нарушениям здоровья людей, массовым заболеваниям, а также к авариям и катастрофам. Показан физический (эфиродинамический) механизм геопатогенных излучений и взаимосвязь между негативными явлениями, активизацией геопатогенных зон и космосом. Рассмотрены существующие методы выявления зон геопатогенных излучений и даны некоторые рекомендации по предотвращению их последствий.

Изложены объективные предпосылки перехода от существующей практики констатации катастроф, аварий к деятельности, основанной на концепции прогнозирования и предотвращения разрушительных последствий от природно-техногенных катастроф.

Для всех, интересующихся проблемами взаимодействия природных явлений, надежности техники и здоровья людей.

Авторы:

Владимир Акимович Ацюковский, доктор технических наук, профессор, академик Российской академии естественных наук, почетный академик Российской академии электротехнических наук.

Валерий Григорьевич Васильев, кандидат химических наук, член-корреспондент Международной академии информатизации

ISBN-5-85101-074-6

© Авторы, 2005 г.

Оглавление

Введение.....	5
Глава 1. Геопатогенные зоны на поверхности Земли.....	10
1.1. Геопатогенные зоны и их проявления.....	10
1.2. Сейсмика как фундаментальное явление Природы.....	13
1.3. Факторы возможного воздействия активных разломов на гражданские и промышленные объекты.....	19
Выводы	22
Глава 2. Эфиродинамическая картина мира	23
2.1. Краткое изложение эфиродинамической картины мира.....	23
2.2. Расширение Земли вследствие поглощения эфира.....	33
2.3. Эфирный ветер и его влияние на Землю.....	38
Выводы	51
Глава 3. Некоторые особенности строения Земли и эфиродинамика.....	52
3.1. Из истории представлений о строении Земли.....	52
3.2. Эфиродинамический механизм «кристаллической структуры» Земли.....	58
3.3. Солнечные пятна и земное эхо солнечных бурь.....	65
3.4. Земля – Луна – Земля.....	71
Выводы	75
Глава 4. Физика геопатогенных излучений.....	78
4.1. Эфиродинамическая сущность патогенных излучений... ..	78
4.2. Механизм воздействия геопатогенного излучения на косное и живое вещество.....	90
Выводы	95
Глава 5. Некоторые методы обнаружения и нейтрализации геопатогенных излучений.....	97
5.1. Некоторые методы обнаружения геопатогенных зон.....	97
5.2. Некоторые методы нейтрализации геопатогенных излучений.....	104
Выводы	110
Заключение.....	111

Приложение 1. Геопатогенные происшествия	
на поверхности Земли.....	118
1.1. Крест Москвы.....	118
1.2. Сейсмологическая ситуация Московского региона	
и ее воздействие на инфраструктуру города.....	121
1.3. Чернобыльская трагедия.....	128
Приложение 2. Транспортные происшествия, связанные	
с геопатогенным излучением.....	135
2.1. Разрывы нефтепроводов и раздвижение опор мостов...	135
2.2. Автомобильные аварии.....	136
2.3. Аварии электроэнергетических сетей.....	140
Приложение 3. Авиационные происшествия, связанные	
с геопатогенным излучением.....	142
3.1. Катастрофы самолетов в районе аэродромов.....	142
3.2. Катастрофы самолетов над горами.....	146
3.3. Катастрофы самолетов над океаном.....	149
Приложение 4. Морские происшествия, связанные с	
геопатогенным излучением.....	160
4.1. Гибель кораблей.....	160
4.2. Гибель подводных лодок.....	168
<i>Литература</i>.....	177
Извещение о книгах.....	185

Введение

За последние 25 лет от природно-технологических катастроф в мире погибло около 5 млн. человек, а число пострадавших превысило 3,5 млрд. человек. В России за те же годы погибло более 3 тыс. человек, а суммарный экономический ущерб составил около 600 млрд. рублей в ценах 1990 г.

Ежегодно в мире число погибших от природно-технологических катастроф увеличивается на 4,5%, а число пострадавших увеличивается более чем на 8,5%, увеличиваются при этом на 11% и экономические потери.

Складывающаяся ситуация приводит к тому, что все большая часть валового национального продукта (ВНП) многих государств мира идет не на экономическое и социальное развитие, а на оказание помощи пострадавшим и восстановление разрушенного.

Отмеченные тенденции вызваны следующими причинами:

- расширением деятельности человека во всех отраслях народного хозяйства;
- освоением новых территорий, считавшихся ранее малопригодными для проживания;
- просчетами в обеспечении безопасности населения и объектов народного хозяйства, направленных в основном на ликвидацию последствий природно-технологических катастроф, а не на их прогнозирование;
- устаревшими представлениями ортодоксальной науки о Земле, как о «мертвой и безответной каменной тверди» и отсутствием до сих пор корректного прогноза геопатогенных явлений, включая и прогнозы землетрясений.

На последнем необходимо остановиться специально.

В 1906 г. американским ученым Г.Ф.Ридом была выдвинута гипотеза сжатия – схрупчивания – упругой отдачи в породах как причине землетрясения (ЗТ), ставшая основной сейсмологиче-

ской парадигмой на целый век. Принципиально эта гипотеза опиралась на идею стационарности Земли в целом.

К середине 20-го века представители двух конкурирующих концепций бытия – идеалистической и материалистической сущности Мировоззрения сошлись на том, что теперь Земля – «дряхлая старушка», остывающая планета, на которой отдельные землетрясения, извержения и другие стихийные бедствия являются ничем иным, как конвульсиями умирающего субстрата. На практике восторжествовала возникшая около двух тысяч лет назад концепция «безответной плоской земной тверди».

При этом создавалось впечатление о достаточной изученности планеты Земля, достаточной, как казалось, для успешного решения первостепенных задач само собой разумеющегося «технического прогресса». В основу этого «прогресса» были положены научные сведения о строении Земли, которые считались достаточно полными, а в части инженерной геологии и строительства даже фундаментальными. Закономерным считался геодинамический штиль и полное отсутствие активных разломов на платформах. Любые аномальные явления, включая и землетрясения, квалифицировались в таком понимании как случайности, на которые можно было не обращать внимания. В крайнем случае, достаточно было усилить конструкции сооружений.

Эта концепция, принятая сейсмологами всего мира, завела сейсмологическую науку в тупик. Нет ни одного аспекта сейсмологии, в котором наблюдался бы существенный прогресс: механизм и энергетика землетрясений, их разрушающие факторы и сопутствующие явления, прогноз и стратегия сейсмозащиты и т. д. Более того, маломощные, но не менее опасные, так называемые локальные землетрясения (ЛЗТ), если таковые встречаются не на Кавказе, а в центре Русской равнины (Чернобыль, Сасово, Москва...) чаще всего не идентифицируются. Такое положение в сейсмологической науке объясняется иррациональностью существующей парадигмы.

Во второй половине 20-го столетия возникла потребность обратить внимание на существование на Земле так называемых геопатогенных зон и аномальных явлений. Это связано в первую очередь с тем, что многие аварии и катастрофы, происходящие с наземным, воздушным и морским транспортом не удавалось идентифицировать. Кроме того, выяснилось, что многие массовые заболевания людей связаны с их длительным пребыванием на определенных территориях. Все более становится ясным, что в этих негативных явлениях помимо системы человек – машина участвует третий фактор – патогенные природные явления, на которые длительное время не обращали должного внимания. Но не учет влияния этого фактора уводит исследование результатов патогенных явлений от их реальных причин, что далее становится уже нетерпимым.

В настоящее время некоторыми исследователями разработаны физические и математические модели, а также теории и гипотезы геопатогенных явлений. Их недостатком является отсутствие представлений о физическом содержании рассматриваемых процессов, о внутреннем механизме, обуславливающем эти процессы. Отсутствие таких представлений приводит к чистой феноменологии, т. е. к учету только так называемых наблюдаемых параметров. Это заставляет авторов моделей, гипотез и теорий следовать методу выдвижения постулатов или эмпирически исследовать связи параметров, без какого бы то ни было анализа и выявления причин существования этих связей. Типичной в этом смысле является теория относительности А.Эйнштейна, вошедшая в науку в начале XX века и заменившая физический механизм явлений пространственно-временными искажениями. Но этого явно недостаточно для понимания физической сути явлений и выработки необходимых рекомендаций [1–5].

Сегодня в теоретической физике наметились некоторые сдвиги в части методологии – переход от феноменологии, опирающейся на исследование законов взаимодействия «наблюдаемых» параметров, т.е. параметров, непосредственно

доступных наблюдениям и измерениям, к динамической методологии, предполагающей наличие физических параметров, более глубинных, чем освоенный уровень материальных образований, но пока не наблюдаемых. Этот метод имеет многовековую историю и предполагает наличие у каждого физического явления глубинного механизма, действие которого и обуславливает это явление. Параметры всех составляющих этого механизма могут быть определены, как исходя из общепhilosophических представлений об устройстве мира, так и из параметров наблюдаемых явлений. На этом основана эфиродинамика – область теоретической физики, позволяющей моделировать структуру вещества и полей на основе представлений о газоподобном эфире, заполняющем все мировое пространство, являющимся строительным материалом для всех вещественных образований, движения которого составляют сущность всех силовых полей и фундаментальных взаимодействий [1].

Появление эфиродинамики позволяет предпринять попытку прояснить физический механизм аномальных явлений, происходящих на Земле, и более осмысленно подойти к разработке мер по прогнозированию и даже предотвращению их негативных результатов.

Эфиродинамика доказывает, что Земля непрерывно поглощает эфир из окружающего пространства, в результате чего ее масса непрерывно растет и образуется новое вещество, и это есть первопричина всех землетрясений. Накопление эфира в Земле и непрерывные преобразования вещества приводят к патогенным излучениям, оказывающим вредное воздействие на здоровье людей, а мощные выбросы того же эфира к взрывным эффектам, к авиационным катастрофам и кораблекрушениям.

Мощные большой плотности выбросы эфира из недр Земли порождают гравитационные удары и вызывают ионизацию сред. И если в воздухе присутствуют легко воспламеняющиеся газы, например, водород, метан, пары топлива, масел и т.п., возгорание неизбежно. Более того, из-за ионизации воздуха и понижения

электрического сопротивления воздушных зазоров, в высоковольтных узлах и схемах могут возникать электрические перекрытия и замыкания. Защита от ионизационно-термического «поражающего» фактора в условиях замкнутых пространств весьма затруднительна.

Малоизученное тектоническое излучение обладает большой проникающей способностью и проходит многокилометровые толщи горных пород, поэтому, возможно, даже 10-см корпус подводных лодок не может служить для него экраном. Не исключено также, что полости замкнутых пространств типа, например, подводной лодки, может играть роль кумулятивной воронки и концентрировать энергию потока, усугубляя ситуацию. Здесь могут возникать кратковременные скачки давления воздуха из-за той же ионизации среды. Подобный эффект должен стать предметом специального изучения.

Таким образом, попытка разобраться во всех подобных патогенных явлениях на основе вскрытия их механизмов и причин, их порождающих, сегодня более чем своевременна.

На базе новых знаний о Земле и новой геофизической концепции, включающей в себя эфиродинамические представления, должна строиться новая система безопасности объектов народного хозяйства. Новая система безопасности должна обеспечить переход от существующей, в основном, практики констатации катастроф, аварий и ликвидации их последствий к деятельности, основанной в первую очередь на концепции прогнозирования и предотвращения разрушительных последствий от природно-техногенных катастроф.

Глава 1. Геопатогенные явления на поверхности Земли

1.1. Геопатогенные зоны и их проявления

Термин «геопатогенная зона» (аббревиатура – ГПЗ) или «геопатия» предполагает существование на земной поверхности некоторых областей – зон, в которых ощущаются всевозможные геофизические воздействия на живые организмы (биоту) или на технику и сооружения. Геопатия, в частности, рассматривает вредоносное влияние на организм человека длительного нахождения в очаге (фокусе) ГПЗ. Да и само выявление ГПЗ произошло вследствие изучения очаговых вспышек тяжелых заболеваний (рак, склероз, артрит и т. д.), приуроченных к некоторым геологическим районам и связанным, по-видимому, с нарушением механизма иммунитета и строения клетки. Именно приуроченность к районам заболевания и определило тот минимум причин возникновения ГПЗ – пересечение подземных водных потоков, проходящих на разных уровнях, наложение (перекрест) линий так называемых глобальных сеток и образование геологических разломов, а также сочетание указанных факторов [1-3].

Патогенное воздействие ГПЗ на живые организмы и определило профилактическую направленность их изучения, ориентацию на предотвращение заселения человеком районов ГПЗ и расселения людей из строений и мест выявленного воздействия ГПЗ.

Изучение патогенных признаков показало, что наиболее часто ГПЗ наблюдаются на трещинах, разрывах и разломах земной коры, причем патогенное воздействие, вызывающее нарушение здоровья, иногда оказывает не вся трещина, а только отдельные участки, имеющие подчас площадь всего в несколько десятков и сотен кв. см (очаги, фокусы). Чаше всего это места перекрещивания (перекресты) линий, полос глобальной сети или

водяных жил. На основе этих исследований сформулировано следующее определение геопатогенной зоны:

«...под геопатогенной зоной понимается достаточно протяженная геофизическая аномалия, называемая зоной раздражения, возбуждения или, точнее, реактивной зоной, в которой наблюдаются различного рода реакция людей при действии на них земного излучения».

Но говорить только о влиянии геопатии на живые существа было бы неправильно. В этих зонах нарушается прочность конструкций, в работе аппаратуры появляются сбои и помехи, сама аппаратура выходит из строя здесь чаще, чем в других местах.

Принятый сегодня перечень причин возникновения ГПЗ явно не полон. Следует признать, что геопатогенные зоны – глобальное земное и даже космическое явление, связанное с внутренними структурами и энергетикой Земли и других космических тел, с движением эфирных потоков и взаимодействием литосферных плит, с воздействием на Землю космических энергий и излучений, с переброской энергии из одних областей в другие и обменом с другими небесными телами. А потому на поверхности Земли, по-видимому, отсутствуют области, свободные от ГПЗ. Другое дело, что многие из ГПЗ функционируют постоянно, другие в пульсирующем режиме с периодическим или аperiodическим ритмом или перемещениями по поверхности, третьи проявляют себя через сотни, тысячи и даже десятки тысяч лет, активность четвертых связана с различными космическими воздействиями и т. д. Да и не всякая ГПЗ обладает патогенными свойствами. А поэтому невозможно дать гарантию отсутствия ГПЗ в любой местности, тем более, что и сама человеческая деятельность может способствовать как проявлению скрытых ГПЗ, так и возникновению новых, и даже таких, которые не образуются в природных условиях.

Геопатогенные зоны одинаково действуют на всей планете. Немецкая ученая Бачлер обследовала 3 тысячи квартир и домов в

14 странах и установила, что все без исключения раковые больные спали на источниках земного излучения, дети хуже развивались, астма, ревматизм, склероз превращались в хронические. Польские исследователи обследовали 1500 жителей Варшавы. Оказалось, что только 20 из них спят в «чистой» зоне, между энергетическими линиями, и все они здоровы. Из остальных 335 тяжело больны, 108 на сегодняшний день скончались. Были сделаны также интересные выводы: каждый из тех, кто болел раком, длительное время находился в зоне со знаком «+», а каждый больной туберкулезом – в отрицательно заряженной зоне. Результат один – смерть [3].

К проявлениям активности геопатогенных зон следует отнести и так называемые полтергейсты, что в переводе означает «шумный дух». По комнатам начинают летать сковородки и другие металлические предметы, сдвигается мебель, неизвестно откуда появляется вода, а из стен начинают бить факелы пламени, которые чаще всего ничего не поджигают, но электронная аппаратура, даже находясь в стороне, при их появлении выходит из строя. Полтергейст появляется достаточно неожиданно, длится от нескольких часов до многих суток, а потом так же неожиданно исчезает.

К проявлениям активности крупных геопатогенных зон следует отнести также и многие катастрофы самолетов и кораблей. Если под причиной гибели самолетов, связанных с неожиданным «проседанием» самолетов до земной поверхности, можно еще подразумевать нисходящий воздушный поток («воздушную яму»), то для кораблей, плавающих по поверхности воды, такое объяснение кажется уже искусственным. Можно, конечно, предполагать, что корабль попал в водяную воронку, которая его и засосала, но тогда возникает вопрос о том, почему эта воронка появилась в том месте, где до этого над ней прошло множество судов, и никакой воронки не было. То же самое и с воздушным нисходящим потоком, особенно в горах. Что явилось причинной появления такого потока? Почему его раньше не было, и летать можно было спокойно, а тут вдруг появился?

Официальная наука не признает самого факта существования геопатогенных зон. Поэтому исследования носят не организованный, а скорее любительский характер. Правда, от этого зоны никуда не исчезают. Изучению геопатогенных зон препятствует и то обстоятельство, что до настоящего времени не удалось создать прибор, объективно фиксирующий их местонахождение, тем более, структуру и интенсивность излучения. И хотя уже установлено, что в местах нахождения геопатогенных зон магнитное поле Земли искажается, а лазерный луч искривляется, и это дает некоторую надежду создания такого прибора, серьезно этим не занимается никто. Поэтому в настоящее время практически единственным способом обнаружения геопатогенных зон является так называемая биолокация, способ обнаружения зон с помощью рамок – изогнутых проволок, которые в руках специально натренированного оператора сами поворачиваются в его руках, когда он проходит над зоной. Но у скептиков такой способ вызывает недоверие, поэтому создание прибора остается актуальной задачей.

1.2. Сейсмика как фундаментальное явление Природы

Уязвимость техносферы нашей цивилизации со стороны воздействия природных процессов на нее со временем возрастает, во-первых, по причине усложнения ее техноструктуры и появления новых все более опасных объектов и производств, во-вторых, из-за разрастания техносферы, когда застраиваются даже те территории земной поверхности, которые никогда ранее не использовались в хозяйственной деятельности по причине их «гиблости» [3-5].

За свою историю человечество накопило знание и опыт определения опасных мест на Земле. Однако «успехи фундаментальной геонауки в последние десятилетия» свели на

нет тысячелетний опыт людей, объявив внутриплатформенные территории асейсмичными.

Рожденная в недрах науки и воплощенная в СНиПах (строительных нормах и правилах) концепция тектонической «стабильности» равнинных платформ, Восточно-Европейской в частности, несет в себе огромный негативный потенциал. Последний реализуется ежегодно тысячами аварий и катастроф в этих регионах, где сконцентрированы большая часть населения планеты, многомиллионные города с их агломерациями, производство и электростанции, химкомбинаты и нефтеперегонные заводы, коммуникации. Так, глобальный геодинамический «скачок» 1984 г., вовлекший в свою орбиту и Восточно-Европейскую платформу, в одночасье повысил «по неизвестным причинам» в 2-3 раза количество разрывов нефте- и газопроводов. Этот уровень аварийности на топливных магистралях продержался до 1993 г. В эти же годы наблюдались массовые раздвижения и деформации мостов на реках Центральной России. Аварийность на транспорте и в сфере производства была беспрецедентной.

В период с 1984 г., когда внезапно активизировалась тектоника Восточно-Европейской платформы, по 1995 г., когда геодинамика нивелировалась до фоновой, на Русской равнине произошли тысячи локальных толчков, потенциально способных разрушать, вызывать технологические аварии, разрывать коммуникации, взрывать газопроводы. Это второй всплеск геодинамики на Европейской части СССР в этом столетии после периода конца 20-х – начала 30-х годов.

Однако геофизическая уязвимость техносферы этих периодов не сопоставима. Появление множества объектов инфраструктуры народного хозяйства в последние 50-60 лет сделало население заложниками непонимаемых и поэтому неконтролируемых нами природных процессов.

Особую опасность даже слабая сейсмичность представляет для АЭС, когда блоки построены непосредственно над тектоническими трещинами в кристаллическом фундаменте. Как

показали результаты изучения причин Чернобыльской катастрофы, являющейся обстоятельством места, последнее вполне возможно, поскольку большинство мелких тектонических разрывов, трещин практически никак не выражены на земной поверхности, а потому остались не выявленными при инженерно-геологических изысканиях.

Геофизические исследования 80-х – 90-х годов показали, что Русская равнина, считавшаяся «асейсмичной», а поэтому безопасной на всем пространстве от Карпат до Урала, проявляет признаки не только тектонической, но и сеймотектонической активности, подтвержденной как макросейсмическими, так и инструментальными наблюдениями. Е.В.Барковским (ОИФЗ им О.Ю.Шмидта) был выявлен класс опасных и геофизически «неожиданных» процессов, так называемых локальных землетрясений (ЛЗТ), происходящих на активизировавшихся после 1983 г. геологических разломах Восточно-Европейской платформы. Особенностью платформенных ЛЗТ является большая сила ударов (до 6-10 баллов) на ограниченной площади при незначительной мощности ($M = 2-3$) процесса, способной вызывать разрушения отдельных объектов, размещенных без учета строения кристаллического фундамента [4, 5].

Такие ЛЗТ иногда трудно отличить от техногенных взрывов. Так, в апреле 1991 г. в Рязанской области локальный глубинный удар вблизи г. Сасово привел к многочисленным разрушениям. В эпицентре, находившемся за городом, образовалась воронка в земле, как при взрыве [6, 7]. Сегодня доказано, что и Чернобыльская авария также явилась результатом сеймотектонического воздействия на 4-й блок АЭС [8, 9].

Только в Московском регионе в 80-х годах произошли десятки сейсмоударов, некоторые из которых вызвали разрушения. Что касается территории Москвы, то в геодинамическом отношении наиболее активным районом наряду с Центральным (Якиманка, Полянка, Садовническая ул.) является р-н Лефортово, а также Юго-Запад города – р-н между Ленинским и Кутузовским проспектами. Так, только за

последние 10-12 лет здесь были разрушены или повреждены здания: 1988 г. – ул. Полянка; 1991 г. – Старомонетный пер; 1987, 1992, 1993 гг. – Каширское шоссе; 1994 г. – ул. Миклухо-Маклая; 1994 г. – Алтуфьевское шоссе; 1998 г. ул. Островитянова (2-й Мед.институт) и др.

Ни в одном из этих зданий газа не было в принципе, в то время как характер разрушений и другие обстоятельства сходны при полном отсутствии продуктов взрыва. Все эти взрыворазрушительные процессы вызваны ЛЗТ исключительно тектонического происхождения и приурочены к разломным узлам и зонам. Разрушительным фактором ЛЗТ являются гравитационные удары или импульсы, возбуждаемые и канализируемые глубинными разрывами в кристаллическом фундаменте при тектонодеформациях.

Статистика показывает, что московские ЛЗТ происходят при определенных атмогеодинамических ситуациях в регионе, что позволяет прогнозировать природо-техногенную аварийность в городе в пределах 2-3 суток.

Наряду с ЛЗТ в городе имели место и мощные сейсмические явления, затронувшие большие территории, например, события 8 июля 1990 г. на Юго-Западе, которые вызвали панику тысяч людей, вынужденных покидать свои дома. То же было и в Лефортове 2 марта 1995 г., где произошло семь отдельных сильных толчков в течение 4-х часов, а сотни людей находились на улице до часу ночи; сами землетрясения предварялись разрывом коммуникаций Мосводоканала. Событие 1990 г. было зафиксировано десятками сейсмоканалов и даже подмосковной сейсмостанцией «Михнево», находящейся в 80 км от кольцевой дороги.

Помимо сейсמודинамических проявлений в зонах разломов из-за высокоградиентных деформаций грунтов чаще, чем в других местах, происходят разрывы подземных коммуникаций, деформаций зданий, из-за ионизации сред над разломами при возбуждении последних возникают пожары, воспламеняются газы, пары бензина. В энергонапряженных электрических схемах,

расположенных над активными разломами, из-за понижения электрического сопротивления воздуха и вследствие ионизации возникают электрические перекрытия.

Разломные зоны обладают геопатогенным воздействием на людей, проживающих в домах, построенных над тектоническими «дырами». Геопатогенность проявляется в плохом самочувствии людей, в дискомфорте, обострении болезней, сокращении продолжительности жизни. В таких домах количество самоубийств в несколько раз выше среднего по городу.

Существует значимая корреляция между эпохами тектонической активности и периодами социально-политических катаклизмов, как на глобальном, так и региональном уровнях.

Сегодня некоторыми учеными предпринимаются попытки разработать новый подход к геопатогенным явлениям, выдвигаются новые гипотезы и строятся теории, учитывающие динамические процессы в Земле.

Согласно новым теориям, сейсмика, как феномен природы, является прямым следствием фундаментальных эволюционных процессов планеты и генетически с ними связана как в плане механизма реализации землетрясений, так и их энергетики.

Землетрясения провоцируются спрединговыми (расширительными) процессами в литосфере, которые, в свою очередь, связаны с вековым ростом массы (около 10 тыс. тонн/с) и объема планеты вследствие поглощения и преобразования эфира окружающего Землю пространства в массу земных пород. При этом объем Земли эволюционно увеличивается примерно на 0,1 куб. км в сутки, что вызывает прирост площади на 0,02 кв. км/год, выражающийся в раздвижении тектонических плит и блоков росте трещиноватости земной коры (геодинамика 1 рода).

Спрединг вызывает разгрузку – падение давления в объемах пород, сопредельных разломам. Это приводит к термодинамической дестабилизации глубинных энергонасыщенных (горячих) пластов пород. Последние спонтанно сбрасывают избыточную по отношению к упавшему давлению энергию, вызывая термодинамический взрыв, что и порождает сейсмический импульс.

Кроме сейсмического импульса, параллельно с ним, потоками сброшенной энергии при ЗТ генерируются гравитационные силовые импульсы, являющиеся главной компонентой в разрушительной стихии эпицентральной зоны. Продолжительные гравидинамические импульсы, достигающие в отдельных точках над разломами напряженности 1-3g, являются основным разрушающим фактором ЗТ.

Эволюционный спрединг, отнесенный к геодинамике 1-го рода поддерживает планетарный сейсмический режим на некотором минимальном уровне.

Рост объема земли, кроме того, провоцирует и крупномасштабную нестабильность внутренних геосфер, что приводит к глобальной нерегулярной деформации геоида: сжатию экватора – растяжению оси и наоборот. Глобальная деформация геоида – геодинамика 2-го рода - на порядок повышает сейсмический потенциал планеты.

С энергопотоками из глубинных разломов связаны многие геофизические явления, в том числе оптические эффекты – свечения в атмосфере, как следствие ионизации воздуха. Вследствие ионизации при ЗТ происходит и возгорание горючих сред, взрывы газов и другие опасные явления.

При «мягких» тектонодеформациях потоки сбрасываемой породами энергии незначительны и не могут вызвать ЗТ, однако порождают слабую гравитационную динамику, которая, в свою очередь, приводит к вертикальной турбулизации атмосферы, циклонам, ураганам, смерчам, тайфунам, торнадо.

Атмосферные динамические процессы имеют генетическую общность с сейсмикой, поэтому атмо-геодинамические связи являются важной составляющей сейсмопрогноза.

1.3. Факторы возможного воздействия активных разломов на гражданские и промышленные объекты

Сегодня уже можно перечислить основные факторы воздействия активных разломов подземных пород на различного рода гражданские и промышленные объекты [5, 6].

1. Тектоно-деформационный фактор

Тектонические движения, предваряющие ЗТ за месяцы, сутки, часы деформируют грунты в зоне действия разломов. Это вызывает деформации и разрывы фундаментов, подземных коммуникаций, трубопроводов и т. п. Чернобыльская авария предварялась деформацией фундаментов 4-го энергоблока на протяжении 6-7 месяцев. Целый ряд ЛЗТ на территории Москвы произошли вскоре после разрыва подземных коммуникаций в этом месте, например, Лефортово 1995, Мичуринский пр. 1997 и пр.

2. Инерционно-динамический фактор сеймики

Малозначим даже в эпицентре в силу объективно малых амплитуд смещений почвы даже при относительно сильных ЗТ. Защита с большим запасом предусмотрена конструктивно.

3. Гравитационно-динамический фактор сеймики

Основной разрушающий фактор любых землетрясений. Ускорения в импульсе достигают нескольких единиц g. Разрушаются стены, перекрытия, смещаются свободные части конструкций, регулирующих элементов и т. п. Наиболее отчетливо этот фактор проявил себя при изучении Чернобыльского ЗТ. Именно гравитационно-динамический фактор и вибрация вызвали задержку аварийного ввода поглощающих элементов СУЗ в активную зону, а последующим после того еще более мощным энергетическим ударом были выброшены металлические блоки биозащиты вместе с разрушенными топливными каналами даже за пределы реакторного здания. Без конструктивных изменений

активная зона уязвима уже только из-за невозможности ввода в активную зону регулирующих стержней.

4. Ионизационно-барический фактор

Энергопоток из глубинного разлома при ЗТ оказывает ионизирующее воздействие на среды, в том числе, и на воздушную. Вследствие этого в герметичных полостях имеет место эффект некоторого повышения давления. Возможны резкие скачки давления в реакторе АЭС, парогенераторах, барабан-сепараторе, компенсаторах давления. По всей вероятности, резкое падение уровня воды в барабан-сепараторе перед землетрясением под 4-м блоком Чернобыльской АЭС было вызвано дополнительной неконтролируемой диссоциацией жидкой фазы перегретой воды под воздействием того же потока энергии эфира, который формирует и силовую динамику.

5. Ионизационно-термический фактор

Ионизирующее воздействие эфирного энергопотока несет опасность возгорания и взрыва легковоспламеняющихся газов, паров бензина, масел и т. д. Множество аварийных ситуаций на шахтах и подводных лодках с пожарами и взрывами были связаны именно с этим фактором тектонического воздействия. Ионизационно-тектонический фактор был выявлен и при целом ряде пожаров в одном и том же месте на предприятиях Сасово Рязанской области в 1991-92 гг. Были также изучены обстоятельства пожаров гостиницы «Россия» в 1977 и 1987 гг. Гостиница, расположенная на мощном древнем разломе, пересекающем Москву в меридиональном направлении, и впредь будет испытывать воздействие его «дыхания», если не принять меры по исключению легко воспламеняющихся веществ. Данный активный разлом был виновником и ряда других крупных пожаров в центре города в последнее время.

Пожары могут возникать и из-за электрического пробоя воздушных зазоров при ионизации атмосферы в силовых щитах, рубильниках, других высоковольтных схемах. Электрическое

сопротивление воздуха при тектонических излучениях понижается на порядки.

6. Ионизационно-электромагнитный фактор

Вследствие импульсной ионизации атмосферного воздуха плотными локальными энергопотоками неизбежны наводки в электрических линиях, контрольно-измерительных схемах, системах компьютерного регулирования и т. д. Вследствие ионизационного понижения электрического сопротивления воздуха возможен пробой высоковольтных схем, линий и т. п.

7. Хронометрический фактор

Одним из фундаментальных следствий неортодоксальной геофизической концепции является вывод об ускорении скорости протекания физических процессов в зоне плотных энергопотоков из тектонических разрывов при ЗТ даже незначительной мощности. Это должно приводить к интенсификации всех процессов – химических, биологических, физических, ядерных. Проходя через активную зону атомного реактора, плотный поток эфира неизбежно вызовет ускорение ядерного деления – скачкообразное увеличение реактивности активной зоны. В сочетании с гравитационной задержкой ввода регулирующих стержней данный фактор представляет собой особую опасность для реакторов АЭС.

8. Геопатогенный фактор

Мощные флуктуации геофизических полей, действуя на нервную систему и мозг человека, вызывают болезненную психофизическую реакцию, дискомфорт, головные боли, нарушение координации движений, что повышает вероятность ошибки операторов, диспетчеров и др. Люди, находящиеся над разломом во время мощного затяжного эфирного выброса задыхаются из-за ионизации воздуха в легких. Ионизация же самого организма сопровождается необратимыми процессами в тканях, последствия которых остаются на десятки лет.

Выводы

1. Геопатогенные зоны – поверхностные участки Земли, в которых проявляются аномальные с точки зрения повседневной практики явления, негативно влияющие на физическое и психическое состояние людей и/или создающие аварийные и катастрофические ситуации на объектах, используемых людьми – жилых помещениях, промышленных объектах, транспорте. Геопатогенные зоны распространены по всей поверхности Земли.

2. Уязвимость техносферы со стороны воздействия природных процессов на нее со временем возрастает, как по причине усложнения техноструктуры и появления новых все более опасных объектов и производств, так и из-за застраивания не пригодных территорий земной поверхности.

3. Существующие геологические концепции рассматривают Землю как остывающую, но, в целом, стабильную планету, для которой различные негативные явления рассматриваются как случайные. Причины аварий и катастроф рассматриваются в пределах системы «человек – техника» и не учитывают воздействия природных факторов». Такая постановка несет в себе огромный негативный потенциал, реализующийся в тысячах различных катастрофах, которые рассматриваются как случайные явления. Сюда относятся, в частности, аварии жилых и промышленных помещений, локальные и крупные землетрясения, аварии автотранспорта, катастрофы самолетов и судов и многое другое.

4. Сложившаяся практика ориентирована на ликвидацию последствий негативных явлений, а не на их предупреждение и предсказание, приводит к многочисленным человеческим жертвам и приносит многомиллиардные убытки. Такая практика связана, в первую очередь, с ложной концепцией стабильности геологической ситуации на земном шаре.

Глава 2. Эфиродинамическая картина мира

2.1. Краткое изложение эфиродинамической картины мира

Как известно, ***энергия не может существовать без материального носителя***. Не составляют исключения и различные земные излучения: раз они несут в себе энергию, значит, эта энергия имеет в своей основе материальную среду, обладающую определенными физическими параметрами. Представления о такой среде – эфире сопровождали всю историю естествознания, с древнейших времен и до начала XX столетия, когда эфир был «отменен» Специальной теорией относительности Эйнштейна без каких бы то ни было на то оснований*). Позже Общая теория относительности того же автора вынуждена была признать существование эфира в природе**).

*) **Эйнштейн А. Принцип относительности и его следствия (1910)**. Собрание научных трудов. М.: Наука, 1965. Т. 1, с. 145-146: «...нельзя создать удовлетворительную теорию, не отказавшись от существования некоей среды, заполняющей все пространство».

) **Эйнштейн А. Эфир и теория относительности (1920). Там же, с. 689: «...общая теория относительности наделяет пространство физическими свойствами; таким образом, в этом смысле эфир существует. Согласно общей теории относительности, пространство немислимо без эфира; действительно, в таком пространстве не только было бы невозможно распространение света, но не могли бы существовать масштабы и часы, и не было бы никаких пространственно-временных расстояний в физическом смысле слова».

Эйнштейн А. Об эфире (1924). Там же. М.: Наука, 1966. Т. 2, с.160: «...мы не можем в теоретической физике обойтись без эфира, т.е. континуума, наделенного физическими свойствами, ибо общая теория относительности, основных идей которой физики, вероятно, будут придерживаться всегда (?! – *В.А.*) исключает непосредственное дальное действие; каждая же теория близкого действия предполагает наличие непрерывных полей, а, следовательно, существование «эфира»».

В настоящее время установлено, что эфир – это тонкий газ, подчиняющийся всем законам обычной газовой механики [1, 2]. Установлены основные параметры эфира, как газа, в околоземном пространстве: его удельная масса равна $8,85 \cdot 10^{-12}$ кг/м³, давление составляет порядка 10^{37} Па, энергосодержание (энергия теплового движения атомов – молекул эфира) составляет соответственно 10^{37} Дж/м³. Определены параметры атома – молекулы эфира – его размеры, масса, скорость теплового движения, длина свободного пробега и т.д.

Поскольку в любой точке пространства, включая космос, существуют всевозможные силовые поля, распространение света и радиоволн, у которых должен быть материальный носитель, то отсюда следует, что эфир заполняет все мировое пространство. А поскольку экспериментально установлено, что комбинация силовых полей способна в вакууме «рождать» элементарные частицы вещества, то, следовательно, вакуум содержит в себе эфир, который является строительным материалом, как электромагнитных полей, так и элементарных частиц вещества, а далее – ядер атомов, их электронных оболочек, т.е. любого вещества. Таким образом, мировой эфир является строительным материалом для всех вещественных образований, а его движения воспринимаются как те или иные силовые поля взаимодействий.

Громадное давление эфира не воспринимается потому, что оно повсеместно уравновешено, подобно тому, как уравновешено давление атмосферы на организмы внутренним давлением, но

если возникают градиенты скоростей перемещения эфирных струй или градиенты температуры, то проявляющиеся в результате силы могут оказаться исключительно большими.

Во Вселенной осуществляется кругооборот эфира, при этом в спиральных галактиках осуществляется местный кругооборот эфира: от периферии к ядру в виде закрученного потока эфира (эфирный ветер), от ядра к периферии – в составе вещества звезд.

Единственной формой движения газа, способной удержать уплотненный газ в замкнутом пространстве, является вихревое замкнутое движение. Вероятнее всего, такие тороидальные вихри – протоны образуются в ядрах спиральных галактик, одной из которых является наша Галактика. Эфирные потоки, втекающие в ядро по двум спиральным рукавам со скоростью в десятки тысяч километров в секунду, хаотически перемешиваются между собой и дают начало тороидальным вихрям, аналогично тому, как это происходит с каплей чернил, падающей в стакан с водой: здесь образуются тороидальные вихри, которые затем начинают самопроизвольно делиться на более мелкие (рис. 2.1).

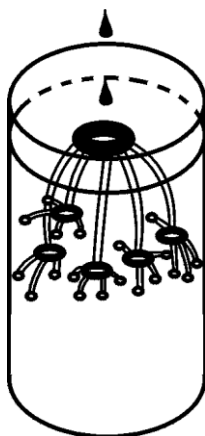


Рис. 2.1. Образование и деление тороидальных вихревых колец в жидкости при падении капли

Разница заключается в том, что тороидальные вихри эфира не только делятся, но еще и уплотняются, что невозможно в жидкости. Образуется протонно-водородный газ, который истекает из ядра (обнаружено обсерваторией Амбарцумяна в 50-х годах прошлого столетия), из него формируются звезды, которые перемещаются от ядра к периферии, где вещество, потеряв устойчивость, растворяется в эфире. Освободившийся эфир возвращается по спиральным рукавам к ядру. Этот поток эфира и является тем самым «эфирным ветром» (ether drift), который искал Майкельсон, но который был обнаружен не им, а профессором Кейсовской школы прикладной науки Д.К.Миллером.

Образовавшийся в результате тороидальный вихрь, имеющий форму бублика, удерживается от распада возникающим на его поверхности пограничным слоем того же газа. В пограничном слое происходит плавный переход от плотности газа в стенках тороида до плотности газа в свободном пространстве, там же происходит соответствующий переход температуры, вязкости, давлений и скоростей потоков газа, последние во внутренних слоях газового вихря значительно выше, чем во внешних. В пограничном слое происходит снижение вязкости газа, благодаря чему тороидальный вихрь может устойчиво существовать длительное время. Именно таким тороидальным вихрем эфира является основная частица микромира – протон, который может существовать много миллиардов лет, но не бесконечно, потому что вязкость эфира не нулевая и, в конце концов, энергия вращения вихря будет растрачена, и вихрь распадется (рис.2.2).

Эфирный тороид, так же как и любой газовый тороид, представляет собой как бы «трубу» с уплотненными стенками, замкнутую саму на себя, в стенках плотность эфира больше, чем внутри такой «трубы». Поскольку сечение внутренних стенок

тороида меньше, чем сечение внешних его стенок, то и скорость тороидального движения эфира во внутренней области тороида больше, чем в наружной. Избыток скорости может быть реализован только путем изменения направления движения эфирного потока: тороидальное движение частично преобразуется в кольцевое, а общее движение эфирного потока по периферии тороида становится винтовым.

В рассматриваемой концепции нейтрон оказывается тем же протоном, но окруженный пограничным слоем, который может образоваться только благодаря соседству других протонов, т.е. в ядре атома, вне атома пограничный слой рассасывается, и нейтрон вновь становится протоном.

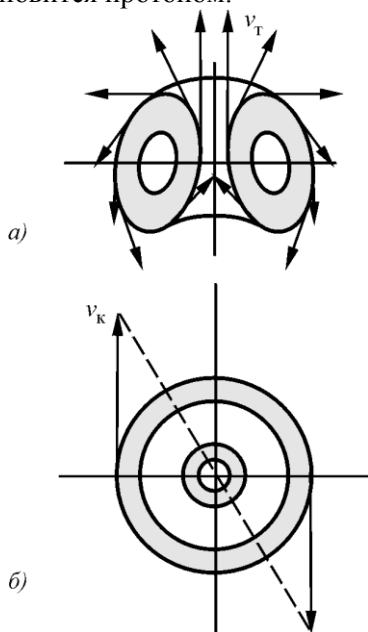


Рис. 2.2. Структура протона и распределение скоростей движения стенок тороидального вихря: а) тороидального; б) - кольцевого

Все сложные ядра состоят только из протонов и нейтронов, которые соединяются только антипараллельно, в результате чего образуется высокий градиент скоростей и, соответственно, снижение давления эфира в межнаклонном пространстве, так что внешнее давление эфира прижимает нуклоны друг к другу, в этом сущность сильного ядерного взаимодействия (рис. 2.3).

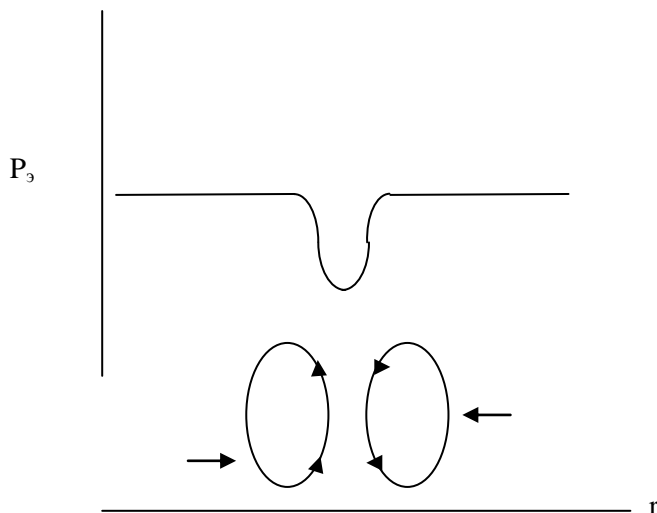


Рис. 2.3. Сущность сильного ядерного взаимодействия

Среди всех ядерных структур наибольшей энергией связи нуклонов друг с другом обладает альфа-частица, у которой она составляет 7,1 МэВ на нуклон (рис. 2.4). Все остальные ядра следует рассматривать как состоящие из альфа-частиц с

добавлением отдельных протонов или нейтронов. Поскольку энергия связи альфа-частиц на порядок меньше, чем нуклонов внутри альфа-частицы, то в любых ядерных реакциях, связанных с перестройкой ядерных структур вылетают альфа-частица. Таким образом, факт испускания альфа-частиц – ядер атомов гелия из Земли означает, что в тех местах, где такое испускание происходит интенсивно, в недрах земного шара происходят ядерные реакции, т.е. осуществляются «холодный синтез» или распад атомных ядер и соответственно преобразование веществ. Отсюда следует простой вывод: испускание гелия происходит в тех местах, где в глубине Земли происходят ядерные реакции и, соответственно, происходит трансмутация элементов – преобразование одних химических элементов в другие.

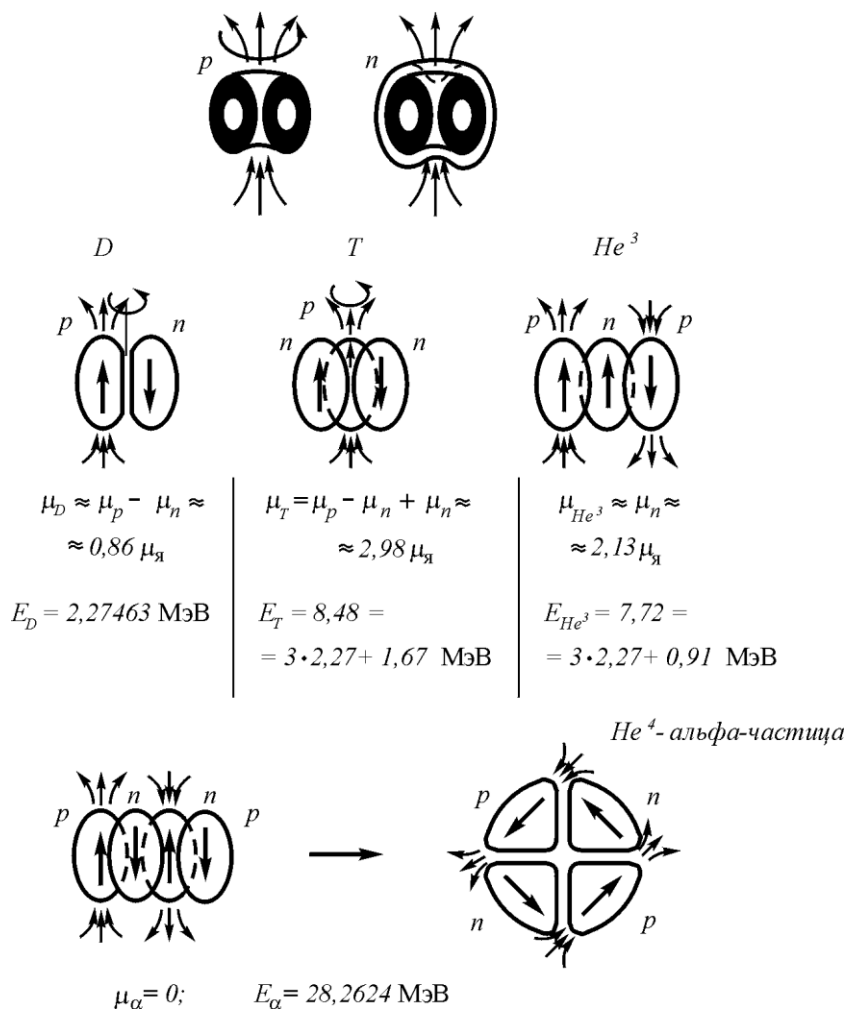


Рис. 2.4. Структура протона, нейтрона, дейтрона, тритона, ядра гелия-3 и ядра гелия-4 – альфа-частицы

Винтовое движение эфира в теле тороида распространяется и на внешний эфир, в котором тоже возникают винтовые струи эфира. Тороидальная составляющая скорости этих струй подчиняется закону Био-Савара, тому же, что и магнитное поле протона, кольцевая составляющая – теореме Гаусса, тому же, что и электрическое поле протона, отсюда и их трактовка (рис. 2.5).

Электрический заряд протона q определяется как циркуляция плотности ρ_3 эфира, движущегося по поверхности частицы S со скоростью $v_{\text{экв}}$ (скорость потока эфира на экваторе протона):

$$q = \rho_3 S v_{\text{экв}}.$$

Таким образом, электрический заряд в эфиродинамике приобретает чисто механический смысл.

Созданное протоном движение эфира во внешнем эфире частично проходит сквозь центральное отверстие протона, это поле скоростей воспринимается как поле положительного заряда протона, потому что в нем знак винтового движения тот же, что и у потоков эфира в самом протоне. Но часть потоков эфира замыкается во вне, образуя присоединенный тороидальный вихрь относительно большого размера, радиус которого на пять порядков больше радиуса протона. В этом присоединенном вихре знак винтового движения эфира противоположен знаку винтового движения эфира в самом протоне, поэтому это поле воспринимается как поле отрицательного заряда – электронов, которых на самом деле в атомах нет, есть сразу электронная оболочка, а не вращающиеся вокруг ядра электроны.

Из изложенного видно, что протон может находиться в одном из трех состояний: в виде собственно протона с окружающим его полем винтовых потоков эфира того же знака, что и винтовые потоки эфира в теле протона, это поле скоростей воспринимается как положительно заряженное электрическое поле протона; в виде нейтрона, у которого кольцевое движение замыкается в пограничном слое и поэтому нейтрон воспринимается как электрически нейтральная частица; в виде атома водорода, у

которого внешние потоки эфира замыкаются во вне и имеют знак винтового движения, противоположный знаку винтового движения потоков эфира в теле протона, этот присоединенный тороидальный вихрь воспринимается как отрицательно заряженная электронная оболочка атома (рис. 2.5).

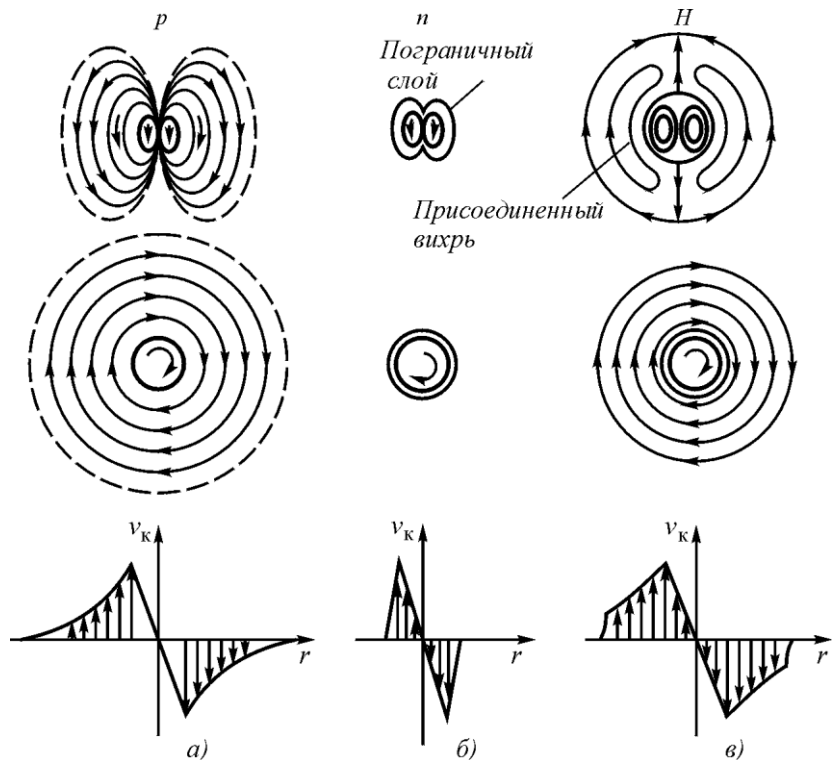


Рис. 2.5. Три устойчивых состояния протона: *а* – собственно протон; *б* – нейтрон; *в* – атом водорода

В любом газовом вихре происходит перераспределение скоростей между тепловым хаотическим движением молекул газа и упорядоченным движением молекул в газовой струе, поэтому температура стенок газовых вихрей всегда ниже температуры свободного газа. Поскольку все небесные тела состоят из тороидальных вихрей эфира – протонов и нейтронов, их эфиродинамическая температура всегда понижена, и вокруг небесных тел образуется градиент температуры эфира, а, поскольку в газе температура и давление пропорциональны друг другу, то возникает и градиент давления эфира. Второе тело, попавшее в этот градиент давления, начинает приталкиваться разностью давлений к первому телу, создавшему это градиент. То же происходит и с первым телом, попавшим в градиент давления второго тела. В этом сущность гравитационного взаимодействия тел (рис. 2.6).

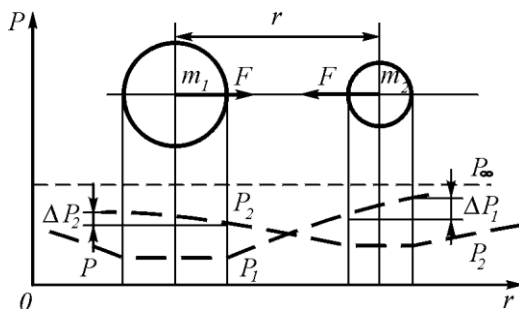


Рис. 2.6. Механизм гравитационного взаимодействия тел: изменение температуры и давления эфира вблизи гравитационной массы и гравитационное взаимодействие двух масс

Таким образом, все фундаментальные взаимодействия в эфиродинамике являются следствием тех или иных механических движений эфира, т. е. сводятся к чисто механическим понятиям.

2.2. Расширение Земли вследствие поглощения эфира

Гравитационное взаимодействие тел является не единственным следствием возникновения температурного и, как его следствие, градиента давления в эфире. Вторым следствием этого является то, что под действием того же градиента давлений эфир окружающего пространства начинает перемещаться в сторону протонов и поглощаться ими и электронной оболочкой.

Механизм накопления и удержания дополнительного количества эфира в вихревых структурах ядер и электронных оболочек атомов напоминает энергетическую накачку лазеров: энергия света или электрического поля накапливается электронными оболочками атомов до определенного предела, по достижении которого она сбрасывается во вне в виде электромагнитного излучения. При этом сброс энергии одним атомом провоцирует сброс энергии ближайшими к нему другими атомами. Процесс становится лавинообразным и прекращается до следующего накопления энергии. Если энергия от источника (внешней световой лампы или источника питания) поступает относительно небольшими порциями, то между выбросами излучений лазером образуются временные промежутки, если энергия поступает в достаточных количествах и непрерывно, то излучение становится непрерывным: одни атомы разряжаются, другие в это время заряжаются и наоборот. Нечто подобное происходит и с веществом Земли с той лишь разницей, что и массовая, и энергетическая накачка происходят за счет непрерывного поглощения атомами эфира окружающего их пространства.

В результате масса и размер протонов и нейтронов увеличивается, скорости вращения их снижаются, вся система становится неустойчивой и при накоплении некоторой критической массы происходит перераспределение эфира и

образование новых тороидальных вихрей, так образуются сложные составные ядра. Общий объем вещества в небесных телах увеличивается за счет поглощения ими эфира из окружающего пространства, все небесные тела увеличивают свою массу и свои размеры. То же самое происходит и с Землей.

Расчеты показывают, что скорость потоков эфира в небесное тело равна второй космической скорости, для Земли это 11,18 км/с. Зная плотность эфира, скорость его входа в Землю и площадь поверхности Земли нетрудно рассчитать ежесекундный прирост массы Земли: он составил $5,05 \cdot 10^7$ кг/с или в относительных единицах $8,45 \cdot 10^{-18} \text{ с}^{-1}$. Предполагая, что средняя плотность Земли остается неизменной, получается, что в настоящее время Земля в среднем расширяется по радиусу на 0,56 мм в год.

Проблема расширяющейся Земли была рассмотрена на ряде конгрессов, прошедших в Австралии. Один из исследователей этой проблемы В.Блинов выпустил книгу под названием «Растущая Земля» [3]. Им установлено, что все материки вместе с прилегающими к ним старыми донными породами по всем краям совпадают и из них можно образовать единую сферу, радиус которой будет примерно в 1,8 раз меньше, чем радиус современной Земли (рис. 2.7).

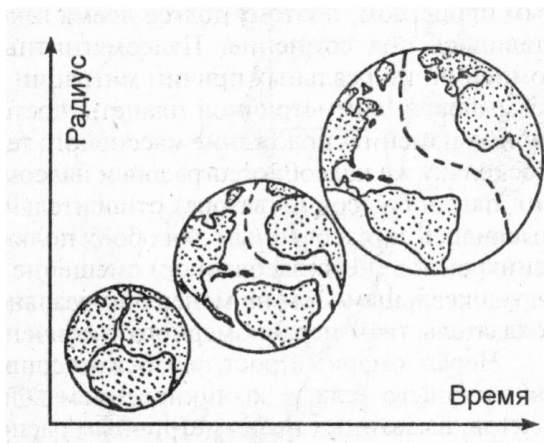


Рис. 2.7. Моделирование расширения Земли по В.Ф.Блинову

Этой же проблеме были посвящены и некоторые другие исследования [4, 5], а также конгрессы и симпозиумы в Сиднее, Австралия (см. литературу в [3]). Поскольку в Земле непрерывно образуется новое вещество, то оно должно где-то выходить наружу, так как поверхность Земли пропорциональна квадрату, а объем - кубу радиуса: новое вещество образуется по всему объему Земли, а ее поверхность, хоть и расширяется вместе с объемом, но не так быстро. Этот выход нового вещества происходит, по-видимому, в рифтовых хребтах, расположенных посредине дна океанов (рис. 2.8) [6].

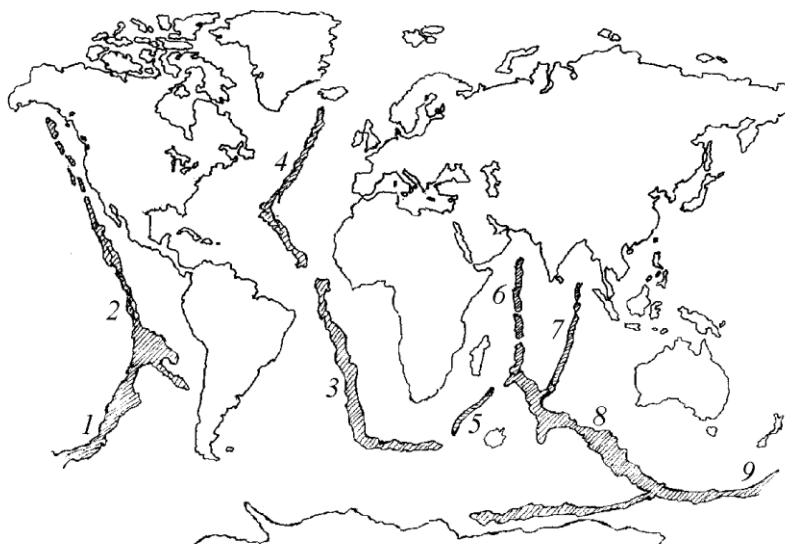


Рис. 2.8. Система океанических рифтовых хребтов Земли: 1, 7 – Восточно-Тихоокеанское поднятие; 2 – Северо-Атлантический хребет; 3 –

Южно-Атлантический хребет; 4 – Западно-Индийский хребет; 5 – Австрало-Антарктическое поднятие; 6, 8 – Южно-Тихоокеанское поднятие

Рифтовые хребты представляют собой подводные горные массивы высотой от поверхности дна от полутора до двух с половиной километров. Измерения возраста пород, выполненные французскими исследователями, показали, что на вершине хребтов возраст пород составляет 5 миллионов лет, у подножья – десять миллионов, далее к берегам возраст пород повышается до 200 миллионов лет, а материковые породы имеют возраст порядка 4,5-5,5 миллиардов лет. Отсюда сделан вывод о субдукции – подползании морского дна под все материки, кроме западного побережья Северной и Южной Америк. Здесь морское дно наползает на материк, в результате чего и образовались Кордильеры, на вершине хребтов которых находят явные следы бывшего морского дна.

Поглощение эфира протонами приводит к преобразованию ядер атомов, а значит, и вещества из одних форм в другие. При любых ядерных реакциях – преобразовании ядер атомов из одной структуры в другую должны выбрасываться альфа-частицы. Это связано с тем, что благодаря кольцевой структуре альфа-частицы, в которой последовательно друг к другу размещены два протона и два нейтрона, внутренняя энергия связей в альфа-частице составляет 28,3 Мэв, в то время как на энергию связей альфа-частиц друг с другом приходится на одну альфа-частицу всего от 1,75 до 6 МэВ. Конечно, при любых ядерных реакциях будут выбрасываться альфа-частицы. Но это и происходит с Землей, которая непрерывно источает из себя гелий в громадных количествах, и это истечение, свидетельствующее о наличии ядерных процессов в Земле, происходит неравномерно по поверхности, а также неравномерно и во времени. В свое время академик В.И.Вернадский предлагал использовать гелиевое излучение для прогнозирования геологических событий на Земле.

Как установлено исследованиями И.Н.Яницкого [7, 8], именно гелий выявляет разломы земной коры гораздо отчетливее, чем

любые другие геофизические методы. А на разломах возникают основные геопатогенные излучения, которые время от времени активизируются и создают опасные изменения гравитации, чреватые авариями.

Преобразование вещества в Земле сопровождается не только выбросом альфа-частиц, но и выбросом эфирных потоков. Проведенные эксперименты с обычными ковалентными химическими реакциями показали, что при ковалентных реакциях соединения происходят выбросы эфира с образованием «лептонной пены», состоящей из множества эфирных тороидальных вихрей [2].

Таким образом, уже на современном этапе эфиродинамика позволяет хотя бы в каком-то приближении понять причины тех процессов, которые происходили и продолжают происходить в Земле сегодня.

Из сказанного видно, что поглощение эфира Землей будет происходить всегда, а значит, всегда будут происходить в Земле ядерные реакции, преобразующие вещество из одних форм в другие, всегда будет образовываться новое вещество, а значит, всегда будут накапливаться напряжения в земной коре и происходить и землетрясения, и вулканические извержения.

Отсюда вывод: если нельзя предотвратить сами эти процессы, то возникает задача прогнозировать негативные события с тем, чтобы минимизировать возможные негативные результаты. Наглядный пример необходимости подобных прогнозов дают непредвиденные сходы селей, лавин, извержений вулканов и возникновения цунами. Последнее событие, происшедшее в декабре 2004 г. в Юго-Восточной Азии, унесло жизни более 300 тысяч людей. При возросшей численности населения Земли налаживание всемирной службы прогноза становится одной из главнейших задач прикладного естествознания. Эта служба должна опираться на все известные физические методы, среди которых одно из важных мест должны занять и эфиродинамические методы прогнозирования земных событий.

2.3. Эфирный ветер и его влияние на Землю

О том, что А.Майкельсон искал эфирный ветер и не нашел его, а это значит, что эфир в природе отсутствует, написано много. Гораздо меньше написано о том, что на самом деле последователи Майкельсона Э.Морли и Д.К.Миллер, профессор Кейсовской школы прикладной науки уже в 1905 г. обнаружили эфирный ветер, а детальное его исследование произвел Миллер в период с 1921 по 1925 гг.[9-13]. Сам Майкельсон вместе с помощниками Ф.Писом и Ф.Пирсоном вернулся к исследованиям эфирного ветра, и в 1929 г. ими были опубликованы статьи, в которых приведены положительные результаты их исследований: эфирный ветер ими также был обнаружен [14, 15]. Отрицательные результаты предыдущих исследований самого Майкельсона в 1881 и 1887 гг., а также других исследователей – Кеннеди, Иллингворта, Пикара, Стаэли, Таунса и Седархольма элементарно объясняются, во-первых, отсутствием у них представлений о природе эфира и приданием эфиру идеальных свойств, в частности, пренебрежением его вязкостью, во-вторых, допущенными ими в результате этого грубыми методическими и инструментальными ошибками. Однако с прояснением физической сущности эфира уже в последних десятилетиях 2-го столетия были на новых принципах построены приборы для обнаружения эфирного ветра и проведены соответствующие исследования, давшие положительные результаты. Особенно впечатляющие результаты уже в наше время получены харьковским исследователем эфирного ветра Ю.М.Галаевым [16].

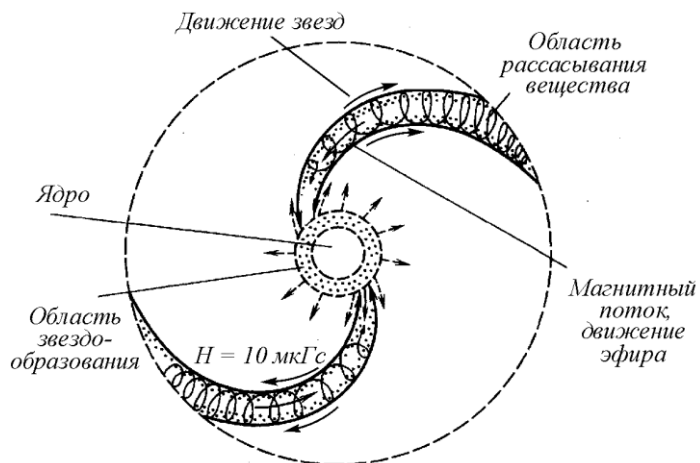
В соответствии с представлениями эфиродинамики [1, с. 481-556], в нашей Галактике, имеющей спиральную структуру, происходит непрерывный кругооборот эфира: из ядра к периферии в виде протонно-водородного газа и звезд, от периферии к ядру в виде эфирного ветра (рис. 2.9). Причиной движения эфира – эфирного ветра («ether drift») в спиральных

рукавах Галактики является разность давлений эфира между периферийными областями нашей Галактики и ее ядром. Причиной снижения давления эфира во внутриядерной области Галактики является факт образования протонов в ядре, что в свое время было обнаружено Бюраканской обсерваторией: из ядра Галактики во все стороны истекает протонно-водородный газ массой порядка 1,5 массы Солнца в год. Образование протонов происходит за счет соударения струй эфира, т.е. того самого эфирного ветра, хаотического перемешивания струй и образования в результате этого тороидальных вихревых структур.

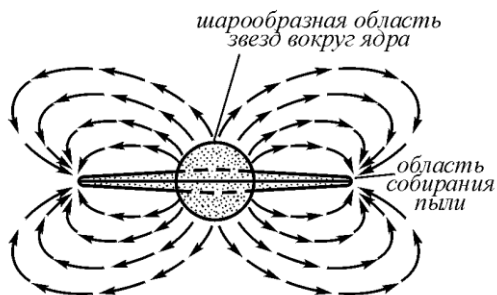
В отличие от вихрей в жидкости, эфирные вихри сжимаются давлением эфира, делятся, вновь сжимаются и вновь делятся до тех пор, пока их плотность не достигнет некоторой критической величины, тогда процесс останавливается. Поскольку плотность эфира в тороидах растет, то соответственно плотность эфира, а значит и давление в окружающем их пространстве уменьшается. Получившийся протонно-водородный газ расширяется и уходит из ядра, по дороге собираясь в облака, из которых формируются звезды. Образованные из протонно-водородного газа звезды движутся к периферии, протоны, составляющие основу вещества звезд, теряют свою энергию из-за вязкости окружающего их эфира и к концу пути теряют устойчивость и растворяются в эфире. Поскольку теперь уплотненный эфир переходит в свободное пространство, плотность, а значит и давление эфира здесь возрастает. Эта разность давлений между периферией и ядром заставляет эфир двигаться обратно к ядру (рис. 2.9).

Этот процесс, длящийся много миллиардов лет, может быть прерван лишь тогда, когда эфир Галактики будет отсосан новым центром вихреобразования, положившим начало образованию новой галактики.

Эфирный поток возвращается по спиральным рукавам и направление этого потока в том месте Галактики, где сейчас находится Солнечная система, практически перпендикулярно плоскости эклиптики и имеет северный апекс.



а)



б)

Рис. 2.9. Структура спиральной галактики: а – вид на плоскость; б – вид сбоку

Как установлено Ю.М.Галаевым [16], величина скорости потока меняется со временем и в определенное время года эфирный ветер исчезает, а затем на короткий период меняет свое направление на противоположное. Затем снова короткий перерыв, и северный апекс восстанавливается.

С позиций эфиродинамики такое изменение направления эфирного ветра объясняется, если учесть, что эфирный ветер имеет не одну, а две систематические составляющие – галактическую и солнечную. Солнечная составляющая эфирного ветра обязана своим происхождением Солнцу, работающему как эфиродинамический центробежный насос. Земля, как и все планеты Солнечной системы, вращаясь вокруг Солнца, попадает не только в общегалактический поток эфира, но и в местные потоки эфира, создаваемые Солнцем как центробежным насосом. В одной части эклиптики эти потоки суммируются, в другой части – вычитаются. Судя по данным Галаева, скорости потоков эфира, выдуваемые Солнцем в районе Земли, меньше скорости общегалактического потока (рис. 2.10).

В результате имеет место изменение направления эфирного ветра на поверхности земли в течение года, поскольку на одной стороне орбиты обе составляющие суммируются, а на противоположной вычитаются.

Обдув эфирным ветром земного шара привел ко многим последствиям для Земли. Это геоидная форма Земли, несколько грушевидная, вытянутая к северу, это смещение материков к северу, образование Северного ледовитого океана на севере и Антарктиды на юге, «ревушие сороковые» широты, в которых бури возникают в зимнее для этого южного полушария время и многое другое. Но на ламинарные потоки эфирного ветра накладываются и другие, которые приходят из космоса, в первую очередь, конечно, со стороны Солнца.

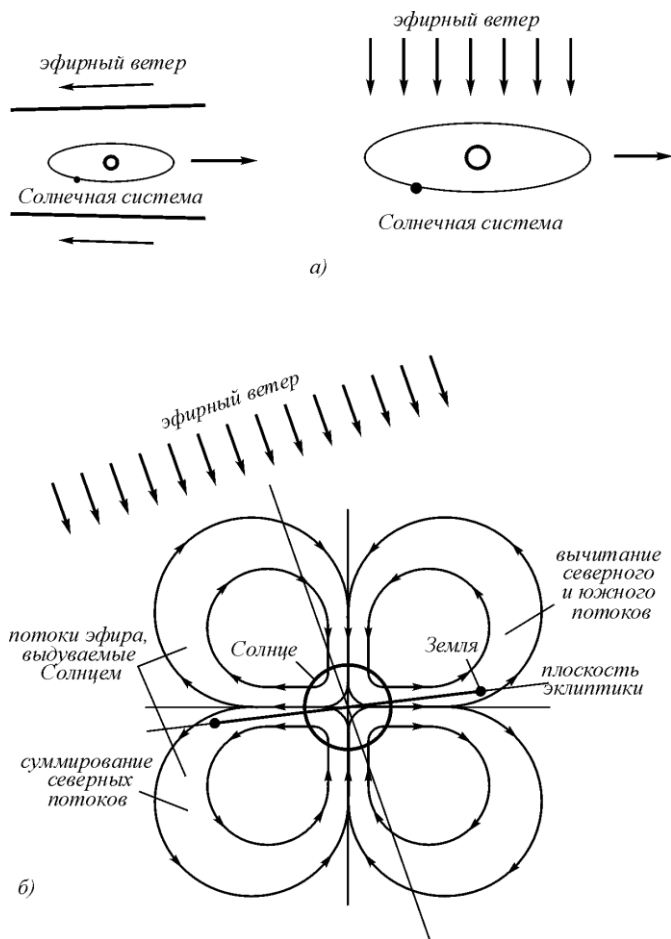


Рис. 2.10. Направление эфирного ветра относительно орбиты Земли: а – в начале образования Солнечной

системы и в настоящее время; b – годовые перемещения Земли относительно потоков эфира, создаваемых Солнцем

Потоки эфира, текущие в спиральном рукаве нашей Галактики, омывают Солнечную систему и соответственно Землю. На то, что пространство в районе Солнечной системы не совсем изотропно, обращали внимание многие исследователи. Так, А.А.Шпитальная [17] указывает на резкую несимметрию активности Солнца: на его северной стороне вспышки происходят, примерно в 1,5 раза чаще, чем на южной стороне. Известны высказывания о том, что в направлении созвездия Льва имеется анизотропность реликтового излучения/

Анизотропность пространства прослеживается и на уровне Земли. На Земле вулканическая деятельность в Северном полушарии значительно более интенсивна, чем в Южном. В Северном полушарии сосредоточена основная часть материков. На Земле имеется глобальная климатическая разница Северного и Южного полушарий: наличие бурных сороковых широт, наличие океана в районе Северного полюса и ледового материка в районе Южного полюса, пониженная по сравнению с северными областями температура районов Южного полюса и многое другое свидетельствуют о пространственной асимметрии земных глобальных процессов.

Многие из перечисленных явлений получают простое объяснение, если учесть обдув Земли эфирным ветром (рис. 2.11).

Факт наличия эфирного ветра экспериментально подтвержден работами Миллера и его группы в 1905–1907 и далее в 1921–1925 гг., а позже – в 1929 г. Майкельсоном, Писом и Пирсоном, о чем существуют соответствующие отчеты этих групп. В работе [9] приведены статьи, в которых изложены результаты проведенных этими группами экспериментов, а также показаны принципиальные грубейшие методические и инструментальные ошибки, допущенные другими группами (Кеннеди, Иллингвортом, Пиккарот, Стаэли, Таунсом, Седархольмом), не

получившими никаких результатов, объявившими вместо анализа своих ошибок об отсутствии в природе эфирного ветра и самого эфира как таковых.

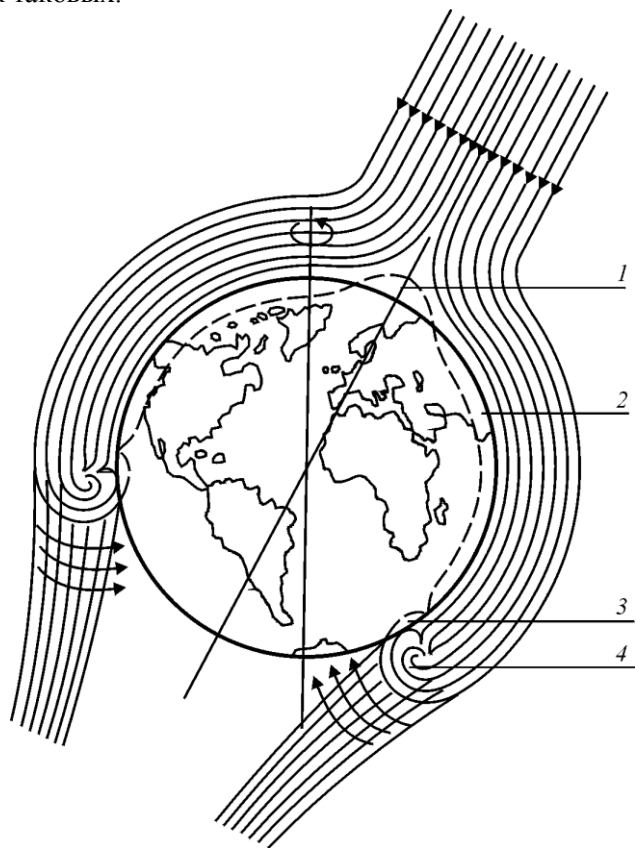


Рис. 2.11. Обтекание Земли эфирным ветром: 1- зона повышенного давления эфира; 2 — зона пониженного давления эфира; 3 — зона захвата влаги из океана; 4 —

присоединенный тороидальный вихрь эфира, захватывающий зимой воздух атмосферы.

В результате работ Миллера, поставившего серию экспериментов с интерферометром, унаследованным им от Майкельсона и Морли, выяснилось, что имеется четкая зависимость скорости эфирного ветра от высоты, причем на поверхности Земли, как это и было показано в 1881 и 1887 гг. Майкельсоном и Морли, относительная скорость эфирного ветра мала и на высоте 250 м над уровнем моря составляет примерно 3 км/с, а на высоте 1860 м – от 8 до 10 км/с. Таким образом, относительная скорость эфирного ветра нарастает с высотой. Можно полагать, что скорость эфирного ветра в пространстве составляет 50–60 км/с. После обработки данных Миллер нашел, что направление эфирного ветра таково, как если бы Земля в своем движении в неподвижном эфире перемещалась по направлению к звезде созвездия Дракона (склонение $+65^\circ$, прямое восхождение 262°). Вероятная погрешность в экспериментах Миллера не превышала 2° . Эти координаты почти совпадают с координатами полюса эклиптики.

Это полностью соответствует теории пограничного слоя потока газа, обтекающего шар (рис. 2.12) [18, с. 227–232].

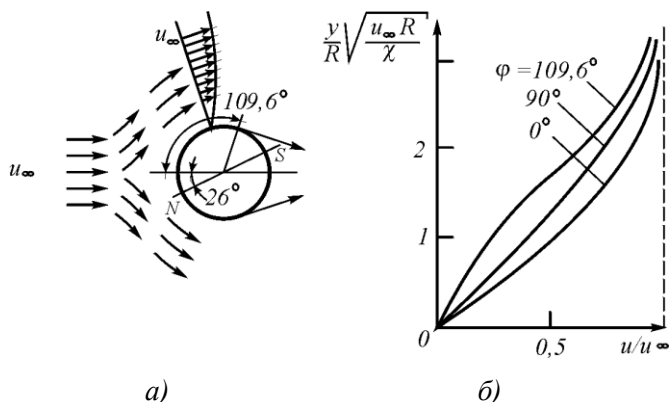


Рис. 2.12. Обтекание шара газовым потоком: а – направление потоков; б – эпюра изменения относительной скорости потока с увеличением расстояния от поверхности шара

При обтекании шара газ образует пограничный слой, причем ближайшие к поверхности тела слои движутся вместе с шаром, а отдаленные имеют некоторую промежуточную скорость, при этом, начиная с некоторого значения, скорость газа соответствует его скорости в свободном пространстве. Иначе говоря, пограничный слой имеет определенную толщину, зависящую от параметров и газа, и шара.

В точках с координатами относительно центральной оси газового потока $\varphi_{\text{отр}} = 109,6^\circ$ пограничный слой отрывается. Начиная с этой координаты газ должен быть неподвижен относительно шара на различном от него расстоянии вплоть до оторвавшегося и проходящего на некотором расстоянии от шара пограничного слоя.

Если шар обдувается потоком газа, то на поверхности шара со стороны этого потока давление будет различным [18. с. 277–285]. В лобовой части, находящейся под прямым воздействием удара потока, давление газа будет повышено. На Земле это соответствует области Северного Ледовитого океана, материки сюда проникнуть не могут, так как повышенное давление эфира в

этой области будет их отодвигать. Далее эфирный поток обтекает шар, образуется градиент скоростей в пограничном слое, а, следовательно, пониженное давление. На Земле это приведет к тому, что из областей более высокого давления в Южном полушарии материи постепенно сместятся в область пониженного давления в Северном полушарии, которое окажется несколько вытянутым по сравнению с Южным полушарием. В результате Земля должна принять форму некоторого подобия груши, что и имеет место на самом деле: Северное полушарие вытянуто по сравнению с Южным на 400 м, такая форма Земли получила название геоида (рис. 2.11)

Обтекание земного шара эфирным потоком приводит в районе Южного полюса к возникновению присоединенного вихря тороидальной формы. Ось этого тороида будет иметь постоянное галактическое направление, а сами потоки эфира вихря будут вовлекать в свое движение антарктические воздушные массы атмосферы.

Образование тороидального присоединенного вихря подтверждено моделированием (рис. 2.13).

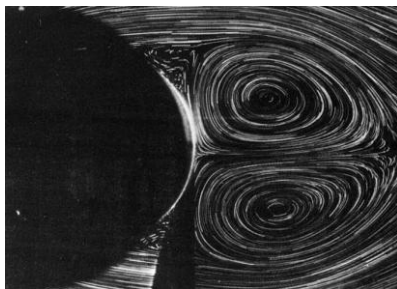


Рис. 2.13. Обтекание шара потоками газа при $Re = 500$

Воздушные массы, попавшие в зону эфирного присоединенного вихря, будут циркулировать, проходить над океаном, где они будут набирать влагу, а затем, поднимаясь в стратосферу и охлаждаясь, будут нагнетать туда воздух, повышая давление, и выбрасывать влагу в виде снега уже на сам ледовый материк. Однако это происходит только зимой. Объяснением этому может служить то обстоятельство, что зимой воздух нижних слоев атмосферы холоднее, а, следовательно, и плотнее.

Плотность воздуха при одном и том же давлении тем выше, чем ниже температура:

$$\rho_v = \rho_{v0} T_0/T$$

и при атмосферном давлении и летом при температуре 0°C составляет 1,2928 кг/м³, зимой же при –60°C составляет 1,656 кг/м³, т.е. в 1,28 раза больше. Поскольку число молекул воздуха в единице объема увеличивается, то и суммарная сила, воздействующая на него со стороны проникающих в этот объем потоков эфира пропорционально увеличивается. Воздух начинает захватываться присоединенным эфирным вихрем, развивается тороидальный воздушный вихрь, и этот процесс нарастает лавинно. Это соответствует действительности, так как в Антарктиде всегда стоит устойчивый антициклон, а зимой практически все время идет снег, наращивая ледяные массы, которые постепенно сползают к океану и откалываются, образуя айсберги. В северной части Антарктиды господствуют западные ветры часто ураганной силы [19].

В тех местах, где присоединенный вихрь эфира наиболее близко касается поверхности океана, возникают турбулентности, что приводит к волнению водных масс, находящихся в этом районе. Здесь дуют устойчивые западные ветры, что объясняется проявлением сил Кориолиса, вызываемых относительным перемещением эфира и вращением Земли. Это и есть «ревушие сороковые», которые активно проявляют себя в зимний период.

Летом все успокаивается, что говорит о том, что с повышением температуры воздуха и соответственно с уменьшением его плотности воздушные массы уже не захватываются эфирными потоками с такой силой, чтобы образовать устойчивый вихрь.

Подобное явление отсутствует на планетах с пониженным давлением атмосферы, например на Марсе, но может иметь место у планет с большой плотностью атмосферы при пониженной температуре.

В сочетании с поглощением эфира Землей, приводящим к ее расширению, наращиванию массы, замедлению вращения, спредингу (раздвиганию) материков друг от друга, образованию системы рифтовых хребтов, раздвиганию океанского дна и его субдукции (подползанию) под материковые плиты, общая картина причин строения Земли становится более понятной.

Из изложенного выше вытекают следствия, носящие прикладной характер.

1. В настоящее время обнаружено, что оптические и радиолокационные высокоточные измерения положений планет и искусственных спутников Земли дают несовместимые результаты. Расхождение в результатах измерений дает величины, существенно большие, чем это следует из суммирования предельных погрешностей обоих методов. Представляется, что причиной является не учет влияния эфирного ветра, искажающего значения дальностей, полученных радиолокационным методом (рис. 2.14).

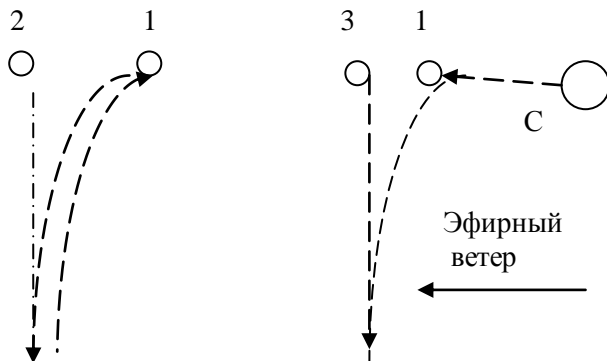




Рис. 2.14. Различные изображения спутника: 1 – истинное положение; 2 – радиолокационное изображение; 3 – оптическое изображение; 4 – радиолокатор; 5 – приемник оптического изображения; С – Солнце.

2. Считается, что Земля меняет скорость своего вращения, и эти вариации скорости имеют как суточную, так и годовую периодичность. Эти выводы сделаны на основе астрономических наблюдений. На самом деле имеет место снос фотонов света в результате обдува Земли эфирными потоками. Поскольку земной шар в разное время суток и в разное время года ориентируется относительно галактических и солнечных потоков эфира по-разному, то и снос света будет разным. Сама же Земля вращается равномерно, постепенно замедляя свое вращение из-за увеличения массы со временем вследствие поглощения эфира.

3. Все влияния, оказываемые Солнцем на земные процессы, происходят посредством промежуточной среды – эфира. Учитывая, что все процессы имеют инерционность, можно утверждать, что и любые процессы на Земле будут иметь запаздывания относительно изменений параметров эфира в околоземном пространстве, вызванные процессами на Солнце или иными воздействиями других космических тел. По предварительным данным, запас времени в таких случаях может составлять несколько месяцев, а возможно, и больше. Это значит, что исследования и регулярные наблюдения за эфирным ветром и параметрами эфира в околоземном пространстве могут использоваться в качестве элементов прогноза для предотвращения или хотя бы минимизации негативных процессов, которые могут вызвать на Земле космические влияния. Можно с уверенностью утверждать, что если бы имелся

прогноз наводнений в Европе в августе 2002 г., то руководители стран успели бы принять необходимые меры для предотвращения того ущерба, которое они понесли в результате полной неожиданности происшедшего. Таким образом, необходимость исследования состояния эфирных потоков и эфирного ветра, его скорости и направления в околоземном пространстве приобретает стратегическое значение.

4. Можно также считать вполне вероятным, что сильные и протяженные во времени возмущения в околоземном эфире могут серьезно повлиять на климатические особенности, например, на те, которые уже наблюдаются в 2002 г., когда бури, ураганы и ливни обрушились на Европу и в то же время в Индии, ожидавшей обычные муссонные ливни, наступила засуха. Можно также предполагать, что перемагничивание слоев пород, обнаруженное геологами в ряд районов, является следствием не перемагничивания всей Земли, а лишь местных изменений, связанных с подобными же возмущениями эфирных потоков.

Выводы

1. В настоящее время развита эфиродинамическая концепция устройства физического мира, основанная на представлениях о существовании в природе газоподобного эфира, являющегося строительным материалом для всех вещественных образований от элементарных частиц вещества до Вселенной в целом, те или иные формы движения которого обуславливают все виды физических взаимодействий вещества и всех видов физических явлений. Эфиродинамическая концепция позволяет выяснить внутренний механизм любых конкретных физических явлений и, тем самым, определить их физические причины. Эфиродинамическая концепция позволяет рассматривать негативные явления, включая аварии и катастрофы в рамках системы «человек – техника – природа».

2. В соответствии с эфиродинамическими представлениями все небесные тела, в том числе и Земля непрерывно поглощают эфир из окружающего пространства, наращивая тем самым свою

массу, которая в ее недрах трансформируется в вещество. Это значит, что такие процессы будут существовать практически вечно, по крайней мере, до тех пор, пока существует Земля как планета и что, следовательно, концепция геологической стабильности Земли должна быть заменена на концепцию динамического развития Земли.

3. На форму Земного шара и на процессы, происходящие на Земле, существенное влияние оказывают эфиродинамические процессы, происходящие в окружающем Землю пространстве, в частности, эфирный ветер, составляющие которого имеют галактическое и солнечное происхождение. Регулярное исследование эфирного ветра и его вариаций в околоземном пространстве позволит дополнить существующие методы прогнозирования геопатогенных явлений новыми эффективными методами.

Глава 3. Некоторые особенности строения Земли и эфродинамика

3.1. Из истории представлений о строении Земли.

Согласно гидростатической модели академика О.Ю.Шмидта [1] продолжавшаяся какое-то время аккреция несортированного вещества планеты при достижении критического радиуса привела к эффекту грандиозного обрушения и уплотнения (схлопывания) этого вещества, в результате чего произошел динамический разогрев вплоть до расплавления. После этого в теле планеты началась гравитационная дифференциация вещества, и у Протоземли образовалась горячая атмосфера. Далее следуют различные варианты зонной плавки. Непременным во всех вариантах считалось одно: с момента динамического разогрева развитие Земли шло только по линии потери исходной энергии, к остыванию и уплотнению.

В результате этих процессов у Земли сформировалась твердая кора, покрывающие ее теплые морские бассейны и углекисло-азотная атмосфера. А далее, около 3 млрд. лет назад, массовое образование простейших структур земноводного БИОСа начало синтезировать из связанных форм молекулярный кислород, что и определило все ускоряющееся развитие всего живого. Венцом творения всего около миллиона лет назад стал человек разумный.

Выдвинутая еще в 1906 г. американским ученым Г.Ф.Ридом гипотеза сжатия – схрупчивания – упругой отдачи в породах как причине землетрясения (ЗТ), стала основной сейсмологической парадигмой на целый век [2]. Принципиально эта гипотеза опиралась на идею стационарности Земли в целом.

Далеко не все ученые первой половины 20-го века разделяли представления о стабильности платформ. Уже в начале века существовало представление о том, что реки на платформах текут

по разломам, разделяющим консолидированные блоки земной коры. Структура «колотого льда» составляющих платформу блоков определяет характер залегания пород осадочного чехла и составляет основу учения о фациях. Академик Н.С.Шатский внес особый вклад в описание морфоструктур Русской платформы (авлакогены, диапиры, малоамплитудные субвертикальные разломы и др.). Инструментально эти долгоживущие геодинамические системы стали картироваться только в середине 80-х годов.

Громадную роль в развитии новых знаний о Земле сыграли результаты исследований по поиску урановых руд (1947-1963) с помощью определения гелия, обладающего высокой проницаемостью. Детальные исследования даже на урановых месторождениях каждый раз показывали, что максимальные концентрации гелия связаны не с локальными, даже очень богатыми рудами, а с обрамляющими их унаследованными **активными разломами**. Причем активный (раскрытый в настоящее время) характер разломов однозначно оценивался по зияющим в них отдельным трещинам, по их водогазообильности и по самым поздним формам частичного минерального заполнения.

В результате была показана закономерная связь аномалий гелия с глубинными долгоживущими разломами и косвенная связь с находящимися в тех же разломах эндогенными рудами. Фазой – носителем гелия являются жильно-трещинные воды и растворенные в них газы глубинного происхождения, среди которых на первом месте стоит азот, затем – водород. Таким образом, гелий становится универсальным индикатором глубинных, проницаемых (что значит – современных) активных разломов. На этом основании в 1963 г. ВИМС – Всесоюзный институт минерального сырья начал региональную гелиевую съемку, оказавшуюся одним из наиболее эффективных способов структурного геологического картирования. В 1969 г. закономерная связь испускания гелия с геологическими разломами была зарегистрирована в качестве научного открытия

№ 68 «Закономерность распределения концентраций гелия в земной коре» с приоритетом от 30 декабря 1968 г. [3].

В комплексных (на базе гелия) исследованиях, начатых в 1976 г. и продолжавшихся три года было показано следующее:

1. физика землетрясений не та, которая предполагалась ранее, исходя из представлений о лавинно-неустойчивом трещинообразования и дилатансно-диффузионной моделей очага, основанной на схрупчивании (т.е. усиливающихся в ходе возрастающих динамических нагрузок акустических шумов и форшоковых тресков) пород любого состава в области твердой земной коры (примерно до 50 км глубины);

2. механизм землетрясений, основанных на тех же представлениях, не тот;

3. принимавшийся за предвестник землетрясений «образ» связан с малоизвестным геодинамическим процессом возмущения всех геофизических полей и сред с выходом на патологию. Оказалось, что этот «образ» универсального глубинного процесса, происходящего, в том числе, и в асейсмичных условиях.

В начале 90-х годов объем информации о принципиально ином строении Земли достиг критического значения. Благодаря параллельным исследованиям Е.В.Барковского (ИФЗ), И.П.Копылова (МЭИ), Н.С.Шаповаловой (Гидрометцентр), Б.У.Родионова (МИФИ) и других стало понятно, что Земля является принципиально иной по организации и энергетике системой. В это же время И.Л.Гуфельд (ИФЗ) совместно со специалистами НПО «Луч» Минатома РФ экспериментально показал, что при повышенных температуре и давлении водород и гелий растворяются не только в урановых рудах, но и во всех кристаллических формах минералов и пород, преобразуя их в метастабильные энергонасыщенные системы (преобразования по схеме «физической взрывчатки»). Тем самым эти авторы на новом уровне воспроизвели результаты экспериментов Э.К.Герлинга (Радиевый институт), Л.Л.Шохина (ИГЕМ), В.В.Чердынцева (ГИН), К.П.Флоренского (ГЕОХИ) и

А.Ю.Намиота (Нефтяной институт), производившихся в 1930-1960-х годах, на которые в угаре американских псевдооткрытий никто не обратил внимания.

Важную роль в информационном взрыве сыграла Международная научная конференция «Геофизика и современный Мир», проведенная 9-13 августа 1993 г. в МГУ. В сборнике тезисов оказалось около 20 сообщений, в которых Земля характеризовалась уже совсем не как «мертвая каменная твердь». В январе 1998 г. прошло совещание на тему «Тектоника и геодинамика: общие и региональные аспекты» (ГИН, ГЕОС МГУ). Особый интерес представляет доклад Н.И.Павленковой (ИФЗ) «Сейсмические модели земной коры и верхней мантии и их геолого-геофизическая трактовка».

Во второй половине 20-го столетия некоторыми исследователями разработаны физические и математические модели геопатогенных явлений.

В работах Игоря Колесникова (Русское физическое общество) изложен механизм циклического сброса магнитоэлектрической энергии планеты в виде нелинейных и дискретных процессов, обусловленных «квантованностью» угла нутации оси вращения земли. Концепция Колесникова удовлетворительно сопрягается с электромагнитной моделью фазово-импульсного собственно полевого пространства Земли профессора МЭИ Игоря Копылова. Из последней следует наличие особых квантовых токов, замыкающихся в области тектонических разломов, В области таких разломов предполагается перекоммутация теллурических токов и сброс энергии в виде излучений и уединенных волн-плазмOIDов.

Подобных теоретических поисков много, например, модель электрического взаимодействия Земли с верхней ионосферой построена Львом Похмельных. По его экспериментальным данным электричество вообще играет ведущую роль во взаимосвязях геофизических и атмосферных процессов.

Теоретические исследования подтверждаются экспериментальными наблюдениями. Сотрудник ЦНИИМаш Комического

Центра имени Королева Андрей Невский количественно описал физику радиопазузы, возникающей при вхождении космического аппарата в плотные слои атмосферы. Образующийся при этом потенциал оценивается в миллиарды вольт; сила тока определяется массой тела. Аналогичные эффекты показаны и для метеоритов, что приводит к электроразрядным взрывам огромной мощности. Например, для Тунгусского метеорита расчетная мощность взрыва составила порядка 20 мегатонн тротила. Гигантские потенциалы возникают также при подземных атомных взрывах, причем в физике очага землетрясений и атомных взрывов, по данным специалиста ОИФЗ РАН Иосифа Гуфельда, тоже много общего.

В 80-х годах инструментальные многоканальные космические исследования окружающей среды приобрели массовый характер. Возможность сканирования земной поверхности распространилась на большую часть Земли. Хотя такого рода наблюдения по существу были случайными и чаще выполнялись в рамках малоинформативных и даже псевдонаучных программ, но даже в них не могли остаться незамеченными непонятные «аномальные» явления. С учетом того, что подобные явления регистрировались наземными и авиационными (высота 10-12 км) радиолокационными, радиорелейными и другими средствами наблюдений, массовый многоканальный характер исследований перевел регистрацию аномалий из случайной в закономерную. Оставалось только учиться интерпретировать такого рода факты и находить их связи с первопричинами, а не отмахиваться от поступающей информации, как это случилось со знаменитой фразой космонавта Владимира Ковалёнка в 1977 году. Во время полета космонавт сообщил на Землю «Вижу на поверхности океана бугры и впадины», на что из ЦУПа ему ответили: «Володя, ты устал, отдохни!..»

Главным мешающим фактором в получении информации, являлась вездесущая секретность, например, факт прогибания протонного слоя ионосферы, зарегистрированный до момента Чернобыльской катастрофы, стал известен только через 6 лет, а

секретные ранее сейсмограммы, зарегистрировавшие опережающее взрыв 4-го реактора землетрясение, были обнаружены и преданы гласности лишь через 9 лет.

Тем не менее, в результате проведенных за последние 20 лет 20-го столетия многочисленных, хотя и разрозненных исследований качественно изменились представления о планете Земля:

- выяснилось, что Земля является предельно энергонасыщенной системой, умеющей аккумулировать и сбрасывать энергию разными способами и в разных масштабах;

- открытие газового-гелиевого дыхания Земли подтвердило протекание «холодного» синтеза химических элементов в недрах Земли за счет поглощения энергии втекающего в нее эфира из окружающего космического пространства;

- сейсмика, как феномен природы, оказалась прямым следствием фундаментальных эволюционных процессов планеты и генетически с ними связана, как в плане механизма реализации землетрясений, так и их энергетики.

Постепенно выясняется, что над поверхностью Земли наличествуют не только изотропные электромагнитные и гравитационные поля, как это ранее предполагалось, но и целый ряд структурированных прямоугольными ячейками-сетками полевых образований неизвестной природы и происхождения. Эти энергетические сети определяются пока только с помощью биолокации, физический механизм которой современная ортодоксальная наука объяснить не в состоянии. А поскольку методы биолокации продолжают оставаться достаточно субъективными, то и доверие к ним со стороны научных кругов оставляет желать лучшего, и это одна из основных причин поверхностного исследования слабых полевых структур, всевозможных полос, линий сетей, зон и других образований. Для науки оказалось совершенно неожиданным существование прямоугольной глобальной решетчатой сети (РС), ориентированной по странам света, со сторонами, направленными на север-юг с шагом около 2 м и восток-запад с

шагом около 2,5 м. Решетки образуют энергетические плоскости, идущие от поверхности вверх в космос, отображают очень слабые флуктуации гравитационного поля и сопровождающие их электромагнитные процессы между землей и космосом.

Имея причудливую внутреннюю структуру и разную восходящую или нисходящую энергетическую интенсивность, полосы РС условно разделены на «положительные», «отрицательные» и «нейтральные». Сложная суперпозиция полей и узлов РС образует диагональные сетки и зоны, которые, как предполагается, являются геопатогенными. Это относится к узлам прямоугольных сеток Э.Хартмана, Ф.Пейро, Э.Витмана, к диагональным сеткам М.Кури и др. Эти зоны непрерывно подпитываются энергетикой эфирных потоков, поступающих в Землю из космоса.

3.2. Эфиродинамический механизм «кристаллической структуры» Земли

Понятия о структуре Земли за последние 30 лет изменяются коренным образом. Представление об аморфной, во многом однородной слоистой структуре, образованной конденсацией первичного пылевого облака, постепенно заменяется на видение Земли как определенного кристаллического образования с гранями и узлами, геоэнергетическими линиями и процессами, протекающими под воздействиями геофизических и космических факторов.

Сегодня исследователи изображают кристаллическую модель Земли в виде икосаэдра-додекаэдра, фигуры, состоящей из 12-ти правильных пятиугольников и 20-ти треугольников. О такой фигуре Земли, образованной как бы 12-ю кусками кожи, писал еще Платон (рис. 3.1).

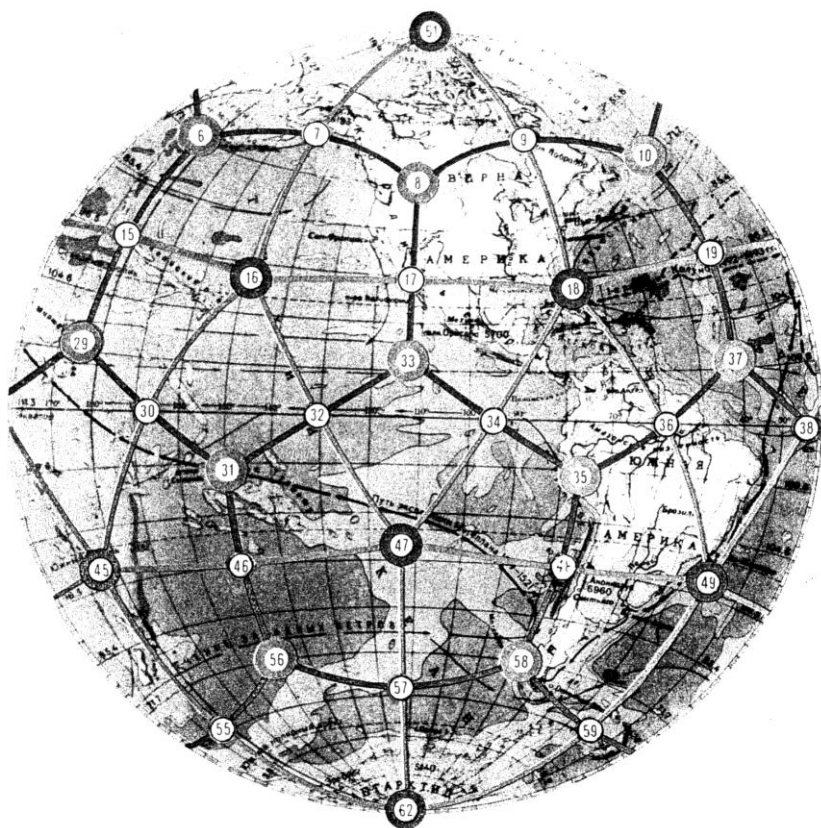


Рис. 3.1а. Каркасное строение Земли: западное полушарие (по Гончарову, Морозову и Макарову)

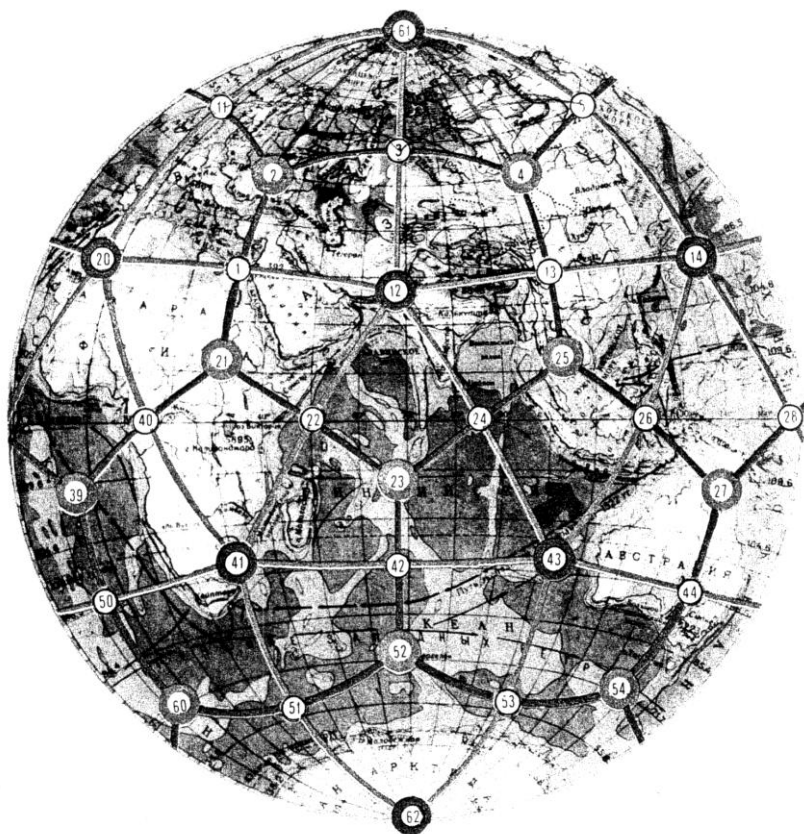


Рис. 3.1б. Каркасное строение Земли: восточное полушарие (по Гончарову, Морозову и Макарову)

Некоторые исследователи [4, 5] сопоставили геологические особенности Земли и очаги геофизических аномалий сначала с додекаэдром (многогранником из двенадцати пятиугольников), а потом и с икосаэдром (многогранником из двадцати треугольников). Они определили, что когда два ребра многогранника совпадают с тянущимся вдоль Атлантики знаменитыми Срединно-Атлантическим подводным хребтом, то остальные срединно-океанические хребты и гигантские нарушения земной коры совпадают с другими ребрами додекаэдра. Но если увеличить число граней в гипотетическом кристалле Земли и если совместить с осью глобуса икосаэдр, то с его ребрами совпадут те хребты и разломы, которые не совпадали с гранями додекаэдра. Все это недвусмысленно говорит о том, что тектоническое строение земной коры очень близко к этим двум многогранникам.

Исследования показали, что практически вся вулканическая и сейсмическая активность Земли сосредоточена на стыках плит, а значит, на ребрах этих многогранников. Магнитное поле тоже вписывается в их конфигурацию. Более того, в узлах этой системы расположены все мировые центры максимального и минимального атмосферного давления, а также постоянные районы зарождения ураганов. И что удивительно, постоянные ветры предпочитают дуть вдоль ребер системы. И не любопытно ли, что районы, получающие максимум солнечной радиации, тоже облюбовали узлы системы. Самые большие «солнечные зайчики» блещут в узлах 1, 17 и 41.

В узлах такого гигантского каркаса располагаются центры мировой религии и культуры, области необычной фауны и флоры, крупнейшие залежи полезных ископаемых и т. д. Следует подчеркнуть, что именно в узлах пятиугольников находятся «точки» Сандерсена, наиболее ярким представителем

которых является, например, «Бермудский треугольник», в последнем неоднократно фиксировались исчезновения кораблей и самолетов, и отметить, что точки пересечения основных фигур каркаса совпадают с океанскими хребтами, планетарными разломами, зонами активных подъемов и опускания земной коры, так же как и с центрами мировых геомагнитных аномалий, минимального и максимального атмосферного давления. А это, скорее всего, означает, что в узлах кристаллических решеток происходят различные энергетические и вибрационные флуктуации, сопровождающиеся образованием совокупности различных полей, которые и обуславливают их геофизическую выделенность и, в частности, аномальные процессы, образующие геопатогенные зоны.

На планете также отмечены пять вершин правильного пятиугольника – одиозные места геофизических аномалий: знаменитый Бермудский треугольник, так называемое Дьяволово море близ Японии, район в Алжире, район на Индостане и пятый – в Тихом океане недалеко от побережья Северной Америки.

В северном полушарии свои пять «точек дьявола», в южном свои, смещенные на 36^0 по долготе относительно северных. И один, и другой пятиугольники лежат в плоскостях, параллельной экваториальной, на широте 28^0 . Каждая из вершин обоих пятиугольников оставила в человеческой памяти множество необъяснимых трагедий: здесь пропадали корабли и самолеты, исчезали караваны, возникали тайфуны и цунами, затормаживались стрелки часов.

В аномальных зонах выделяется не только гелий, но также метан и много других аэрозолей. Земля сбрасывает избыточную энергию (накопившийся избыточный эфир) в различных формах. В одних местах происходят выбросы эфира, в других – поглощение, то есть Земля дышит. В местах выбросов меняются гравитация, параметры электростатического и электромагнитного полей, ход процессов, их форма и скорость протекания. Эти выбросы наблюдаются в моменты ускорения и замедления

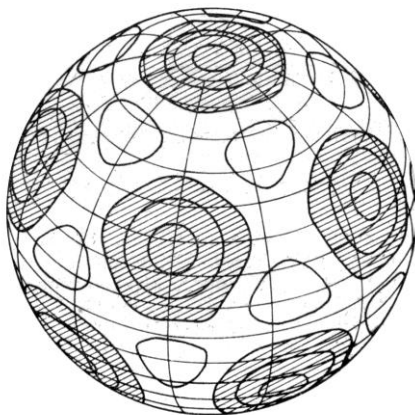
вращения Земли (на самом деле, при изменении ориентации Земли относительно обдувающего ее эфирного ветра) [6].

Эфиродинамический подход позволяет, хотя бы в первом приближении, представить механизм происхождения «кристаллической структуры» нашей планеты. Разумеется, в этом направлении должны быть проведены серьезные исследования, пока можно говорить лишь о предположении, о некоторой предварительной эфиродинамической модели геопатогенных явлений.

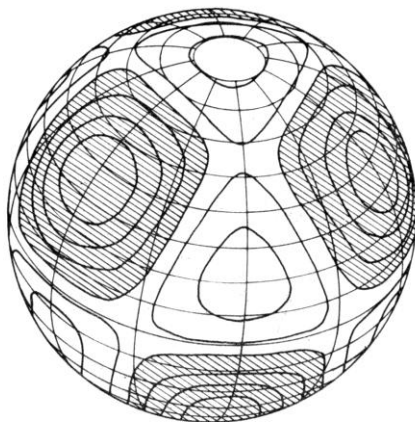
Втекание эфира в тело Земли сопровождается появлением на ее поверхности и в глубине различного рода турбулентностей. Это связано с тем, что эфир обладает вязкостью, хотя и относительно небольшой, но вполне определенной, в породах плотность и скорость потоков эфира различна, поэтому возникновение турбулентностей неизбежно. При этом возникают устойчивые крупные турбулентные структуры, дробящиеся на более мелкие, которые, в свою очередь, дробятся на еще более мелкие. В работе Д.Джозефа [7] приведены результаты расчетов Ф.Х.Буссе по конвекции жидкости в сферическом слое, в которых показано, что одностороннее устойчивое движение жидкости внутрь сферы приводит к появлению на ее поверхности правильных геометрических фигур типа треугольников, квадратов и пятиугольников. Буссе показано, что уравнения конвекции в сферическом слое могут иметь несколько стационарных решений. Некоторые результаты исследований Буссе показаны на рис. 3.2.

Таким образом, проясняется механизм появления стационарных пятиугольных и треугольных фигур энергетических потоков на поверхности Земли: вероятнее всего, это потоки эфира, имеющие вихревую структуру, и они вызваны поглощением окружающего планету эфира всей ее массой. Эти крупные ячейки дробятся на все более мелкие, вплоть до ячеек, с размерами в единицы метров. Таким образом, имеет место иерархия вложенных друг в друга эфирных структур. Каждая такая структура представляет собой деформированный тороид,

поскольку тороиды одного иерархического уровня соседствуют друг с другом, и они вложены в структуру тороидов старшего иерархического уровня; сам эфир это сжимаемый газ, и степень сжатия эфира у тороидов разная в разных точках пространства, а, кроме того, эфирные тороиды находятся не в свободном простран-



а)



б)

Рис. 3.2. Конвекция в пограничном сферическом слое по Буссе (1975): а) при образовании в каждой полусфере 6-и главных геометрических фигур – пятиугольников и 10 промежуточных фигур – треугольников; б) при образовании в каждой полусфере 3-х главных фигур – квадратов и 4-х промежуточных фигур – треугольников
нстве, а, в основном, в теле Земли, наружу выходит только их малая часть.

Учитывая, что слабо сжатый эфир это весьма разреженный газ, в котором отношение длины свободного пробега амеров к его размерам на 20 порядков превышает такое же отношение для молекул воздуха, можно полагать, что такие решения могут одновременно сосуществовать, образуявая каждое свою сеть. Возможно, именно этим и объясняется сосуществование на поверхности Земли нескольких сетей – прямоугольных сетей Э.Хартмана, Ф.Пейро, Э.Витмана, диагональных сетей М.Кури и др.

3.3. Солнечные пятна и земное эхо солнечных бурь

Одним из важнейших факторов, влияющих на состояние природной среды на Земле, на состояние земной природы и техники, а также на человека является состояние солнечной активности, имеющее одиннадцатилетнюю цикличность. Нарастание солнечной активности происходит в среднем первые 4 года цикла, падение, соответственно, 6-7 лет. В настоящее время мы находимся на пике 23 цикла солнечной активности, который начался в 1996-97 годах и завершится в 2006-07 годах.

С высокой солнечной активностью связано повышение геомагнитной активности. Возмущения магнитного поля Земли оказывают отрицательное воздействие на организм человека, что ведет к нарушению внимания и ошибкам операторов всех

уровней. А следствием этого вполне могут стать техногенные аварии разных видов.

Сильные возмущения геомагнитного поля нарушают нормальную работу спутниковой связи, систем распределения электроэнергии, усиливают коррозию нефтепроводов, усложняют магнитную разведку полезных ископаемых, нарушают линии связи, особенно в высоких широтах, что создает проблемы связи с самолетами и судами.

О роли солнечных пятен в земных событиях написано несколько книг, одна из них А.Л.Чижевского «Эхо солнечных бурь» [8]. В этой книге приведены исследования автора о влиянии активности Солнца на многие земные события, весьма негативные для живущих на Земле людей. Это извержения вулканов, землетрясения, неурожаи, эпидемии и т.п. Чижевским показано, что сам факт корреляции многих таких событий между собой и с активностью Солнца показывает, что все они связаны общей причиной, которой является активность Солнца и которая сама существенно зависит от расположения вокруг него планет Солнечной системы.

Возникает вопрос, какова природа солнечных пятен и почему они воздействуют на земную природу и на людей.

Как известно, солнечные пятна бывают двух видов – двойные, когда на поверхности Солнца образуются сразу два пятна, соответствующие магнитным полюсам одно северному, второе южному, этих большинство, более 60%, и одиночные, соответствующие одному из магнитных полюсов, этих соответственно меньше. Обращает внимание то, что в районе солнечных полюсов в пределах окружности радиусом в 20° и в районе солнечного экватора в полосе $\pm 20^\circ$, пятна не появляются никогда. С позиций эфиродинамики это объясняется тем, что и в районе полюса, и в районе экватора градиенты скорости потоков эфира малы, а в области между входящими и выходящими потоками градиенты скорости большие, что способствует вихреобразованию эфира именно в этой области. Но линейным вихрям, тем более, винтовым, нужно замкнуться, и они

замыкаются в тороидальные образования, захватывая своими потоками солнечное вещество (рис. 3.3).

Когда такие тороиды оказываются на поверхности Солнца, то у них может быть два устойчивых состояния. Первое устойчивое состояние то, при котором плоскость тороида оказывается параллельной поверхности Солнца. Тогда за солнечное пятно принимается центральная часть тороида (рис. 3.3б).

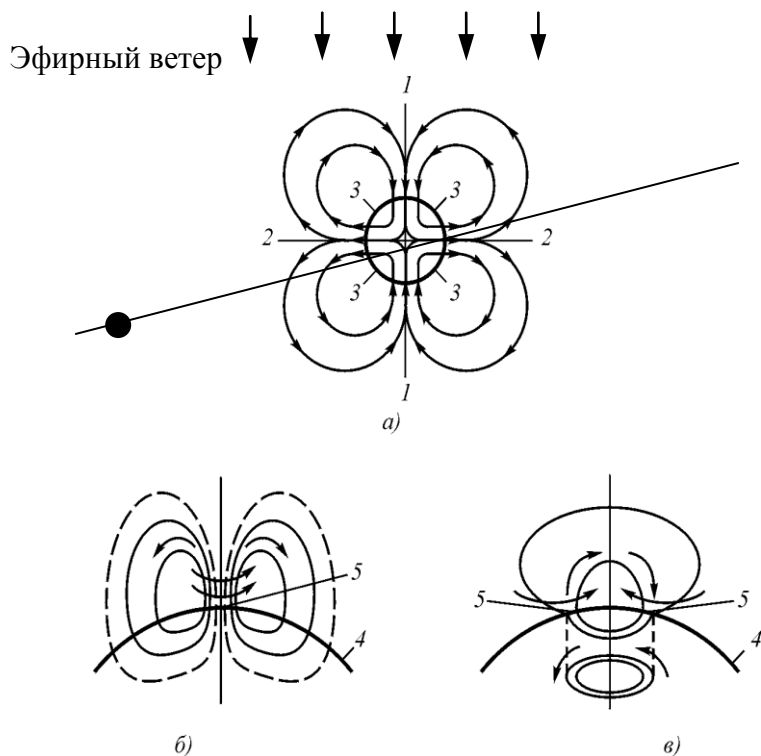


Рис. 3.3. Образование пятен на Солнце: *а* – Солнце как центробежный насос, перекачивающий эфир; *б* – потоки эфира в районе униполярного пятна; *в* – потоки эфира в районе биполярного пятна. *1* – направление подсоса эфира; *2* – выдувание эфира по экватору Солнца; *3* – область максимальных градиентов эфирных потоков и область возникновения солнечных пятен; *4* – поверхность Солнца; *5* – области наблюдаемых солнечных пятен. Наклонная линия – плоскость эклиптики, черная точка – Земля.

Второе устойчивое состояние то, при котором плоскость сечения тороида оказывается перпендикулярной к поверхности Солнца, тогда на поверхности образуются два пятна, вращающиеся в противоположные стороны, одно из которых испускает поток эфира, а второе его же поглощает (рис. 3.3.в).

Те части тороида, которые находятся вне поверхности Солнца, не несут в себе вещества, и поэтому не видны. Но можно предположить, что вокруг одиночных солнечных пятен есть кольцевые зоны, которые можно попытаться увидеть, так как в них, хотя и с меньшими скоростями, все же существует движение солнечного вещества.

Как установлено многочисленными наблюдениями [8, с. 76], солнечные пятна следует рассматривать как вихри, подобные смерчам на море с воронкообразными расширениями на вершине. Скорость движения вещества достигает огромных величин. Достигшие вершины вихря охлажденные газы двигаются по спирали быстро увеличивающихся радиусов. То, что мы видим в форме пятна, есть лишь вершина, конец вихря, отголосок грандиозных процессов, протекающих в областях, недоступных нашему исследованию. Как пишет Чижевский, несомненно, существует причина, заставляющая газы из недр Солнца течь наверх. Там, в нижних ярусах солнечного шара, скрывается космическая сила, приводящая в движение весь этот сложный и громадный смерч, носящий скромное название солнечного пятна.

В 1903 г. Г. Хейл доказал, что пятна представляют собой колоссальные магниты. Когда один из полюсов, южный или северный, такового магнита обращен к нам, тогда другой находится где-либо в недрах Солнца (32-35% от общего числа пятен). Но есть биполярные пятна, оба полюса которых мы можем наблюдать (60% от общего числа пятен) и, наконец, мультиполярные пятна (1-2%), состоящие из группы обращенных к нам полюсов. Но есть еще и так называемые «невидимые пятна», области поверхности Солнца, где пятен еще нет, но они там скоро возникнут.

Эти и другие известные сегодня данные о солнечных пятнах, полностью соответствуют эфиродинамическим представлениям об их природе [9, с. 524-525].

Чижевский отмечает, что периодичность образования пятен на Солнце составляет в среднем 11 лет, но с индивидуальными отклонениями от 11 лет в ту или иную сторону. Но в периодах солнечной активности прослеживаются и другие периоды, и существует обоснованное мнение о том, что эти периоды коррелируются с периодами обращения планет вокруг Солнца и, поскольку планеты движутся по эллипсоидальным орбитам, то при приближении к Солнцу они оказывают на него возмущающее действие, имеющее гравитационную природу.

В деталях на периодической кривой наблюдаются резкие подъемы и спады, сдвиги и перебои.

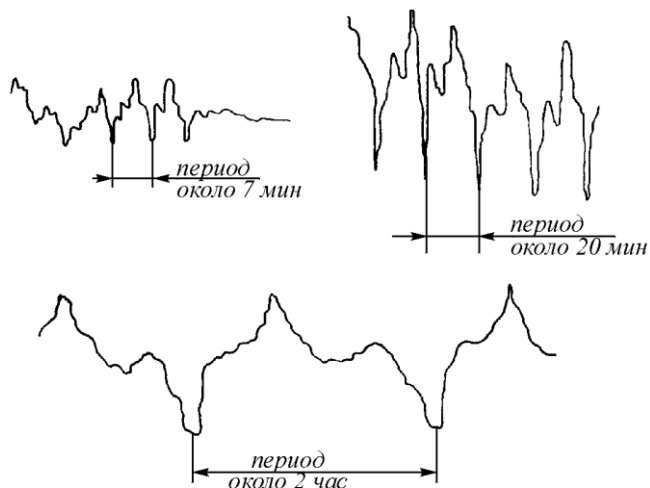


Рис. 3.4. Типовые вариации эфирного ветра, обнаруженные при измерениях отклонений лазерного луча (бывают вариации и со значительно более короткими периодами)

В.Ацюковским обнаружены на лазерном приборе, регистрирующем эфирный ветер, многочисленные периодические отклонения лазерного луча от плавной кривой (рис. 3.4) [9, с. 533; 10]. Испускание в результате внутренних возмущений Солнцем тороидальных и фотонообразных структур, зафиксированных автором на записях колебаний лазерного луча, по достижении их Земной поверхности, приводит к колебаниям величин и направлений эфирных потоков на поверхности Земли. Это же является причиной так называемых магнитных бурь и возмущений.

Эти периодические отклонения имеют почти одинаковую форму, незначительно отличаются друг от друга по амплитуде (в 2-3 раза), но существенно различаются периодами – от долей минуты до нескольких часов. Это значит, что помимо основных составляющих эфирного ветра, носящих одна галактическое, а вторая – солнечное происхождение, существуют еще разнообразные выбросы, структура которых напоминает структуру фотонов больших размеров. Принципиально такие выбросы могут явиться результатом прохождения поверхностных волн по поверхности тех же эфирных тороидов.

Периодическое действие Солнца на Землю обычно приписывается пятнам, но оно может происходить и от солнечной атмосферы, состояние которой подвержено тем же периодам (протуберанцы, факелы, флоккулы, волокна, четки, гранулы, солнечная корона), а также от состояния солнечного ветра – потока микрочастиц, выбрасываемых Солнцем.

Такие винтовые потоки, выходящие из тела Земли могут активизироваться под воздействием дополнительных внешних факторов, например, поступающих из космоса. Исследования отклонений лазерного луча от его нормального положения показали, что на ламинарные потоки эфирного ветра накладываются периодические колебания (рис. 3.4), которые свидетельствуют о перемещениях в космосе вихревых структур. Вероятно, генератором таких структур является Солнце, и это непосредственно связано с возникновением на поверхности Солнца солнечных пятен – вихревых образований эфира. Эти вихревые структуры могут явиться активизаторами вихревых процессов на Земле, проявляющихся как в виде атмосферных вихрей – циклонов и смерчей, так и в виде активизации эфирных потоков в тех областях, на которые они попадают.

Здесь следует отметить одно немаловажное обстоятельство. Как показано в работе [9, с. 139], при образовании газовых вихрей – воздушных или эфирных (не жидкостных!) происходит их самопроизвольное сжатие давлением окружающей среды. Это приводит к уменьшению диаметра и уплотнению тела вихря.

При этом сохраняется момент количества движения, и энергия вращения тела вихря возрастает пропорционально квадрату отношения начального и конечного диаметров. Поэтому слабый сначала вихрь набирает свою энергию за счет сжатия его давлением внешней среды и становится достаточно сильным. Этим же может быть объяснено и тот экспериментальный факт, что возбуждавшаяся активная зона охватывает не весь разлом, а его небольшую часть, правда, эта активная зона начинает перемещаться по разлому, иногда блуждая сначала в одном, а затем в обратном направлении, постепенно ослабляясь, как и полагается при диффузии всякого газового вихря.

3.4. Земля – Луна – Земля

С древнейших времен известно о влиянии Луны и, в частности, лунных фаз и периодов склонения Луны на земные события. Практически у всех народов помимо Солнечных существовали Лунные календари, рекомендующие проведение сельскохозяйственных работ в определенные сроки, связанные с положением и фазами Луны. В этих календарях указывалось не только время восхода Луны, но и захода, когда она опускается за горизонт и начинается лунная ночь – самое благоприятное время для посадок, гармоничного развития семейных отношений и всего, что касается здоровья человека и природы в целом. Следование этим срокам позволяло получить более высокие урожаи, нежели при их невыполнении, а также сохранять здоровье свое и природы. Рекомендации лунных календарей основаны на астрологическом подходе к природе, который проверен многовековым опытом многих народов и подтвержден результатами современных исследований [11].

Однако гораздо меньше известно о физических причинах, вызывающих все эти явления, хотя с влиянием положения Луны на сроки и высоту приливов и отливов в океанах и морях наука в первом приближении разобралась.

В некоторых работах сделаны попытки установить связь между высотой положения Луны и некоторыми народными приметами, например, определять по дате цветения черемухи похолодания и дождей в ближайшие дни или по погоде на Самсонов день (10 июля или 27 июня по старому календарю) сохранения погоды на последующие 40 дней [12, 13].

Выяснилось, что эти сроки жестко привязаны к положению Луны на небосводе («высокая» или «низкая» Луна) и влияние ее связано, в первую очередь, с оказанием приливообразующих действий Луны на земную атмосферу. Но все ли это?

Почему именно полная Луна, т.е. положение Луны относительно Земли, когда ее сторона, обращенная к Земле, полностью освещена, оказывает негативное влияние на психику, о чем тоже хорошо известно? Почему именно эта сторона вся изрыта астроблемами, размеры которых доходят до тысячи километров и которые обрамлены кольцевыми горами высотой до 14 км, в то время как противоположная сторона Луны почти гладкая? Почему вообще Луна повернута к Земле только одной стороной и, как объясняется в астрономии, связано с тем, что Луна вращается вокруг своей оси так, что период ее оборота в точности совпадает с периодом ее вращения вокруг Земли? Это, конечно, так, но почему?

На последний вопрос есть простой физический ответ: потому что массы пород внутри Луны распределены неравномерно или ее форма не совсем шарообразная..

В самом деле, в центре тяжести Луны, как и в любом спутнике, свободно вращающемся вокруг Земли, сила притяжения Земли полностью уравновешена центробежной силой. Но та часть Луны, которая находится ближе к Земле, чем центр тяжести, движется по меньшему радиусу, следовательно, сила притяжения Земли здесь будет больше, а центробежная сила будет меньше, и эта часть Луны будет притягиваться к Земле. На противоположной стороне все наоборот, там радиус больше, центробежная сила больше, а притяжение Земли меньше. Та часть отталкивается от Земли. Это возможно либо в том случае,

если между этими частями есть не полностью заполненное пространство или более легкие породы, т. е. если Луна внутри имеет гантелеобразное распределение масс (рис. 3.5), либо, что более вероятно, если форма Луны несколько эллипсовидная.

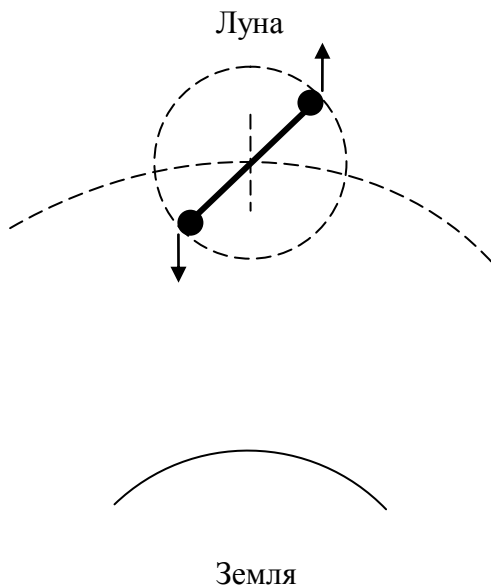


Рис. 3.5. Силы, действующие на спутник, имеющий гантелеобразное распределение масс

Это означает, что Луна, независимо от истории своего происхождения, – оторвавшись от Земли или прибыв извне, имея первоначальное вращение, начнет постепенно замедлять вращение вокруг своей оси, затем, прекратив вращение вокруг оси, будет колебаться вокруг некоторого равновесного положения, постепенно успокаиваясь. И даже сегодня, если бы удалось с высокой точностью сопоставить между собой амплитуды затухающих колебаний Луны вокруг равновесного положения, можно было бы не только определить

демпфирующую составляющую колебаний, но и, экстраполируя назад, определить момент выхода Луны на свою орбиту. Поэтому совпадение периода вращения Луны вокруг своей оси с периодом ее вращения вокруг Земли является не причиной того, что ее одна сторона всегда повернута к Земле, а следствием ее строения.

Значительно хуже дело обстоит с выявлением причин влияния Луны на земные события, особенно на их негативную часть.

Безусловно, важнейшее значение играет влияние притяжения Луны на океаны и моря. Сюда же можно отнести и приливообразующее влияние Луны на земную атмосферу. Но причем тут лунные астроблемы и освещенность Луны Солнцем? Тем не менее, здесь можно также высказать некоторые предположения.

Сам факт того, что подавляющая часть лунных астроблем находится на ближайшей к нам стороне, говорит о том, что земное притяжение способствует вырыву эфирных струй именно на этой стороне, например, вследствие притяжения Землей уплотненных масс эфира по типу того, как Луна притягивает к себе земную атмосферу. Но это же значит, что и Луна, в свою очередь, будет стимулировать вырыв таких же струй из Земли, а это означает определенную возможность прогнозирования подобных событий на Земле, что можно и нужно использовать в практике прогнозирования наземных событий.

Освещенная сторона Луны отражает к нам солнечный свет, но точно также она будет отражать и любые фотонообразные структуры, которые посылаются Солнцем во все стороны и существование которых обнаруживается наблюдениями за отклонениями лазерного луча от нейтрального положения (рис. 3.4). Но эти же вихревые эфирные структуры, созданные Солнцем, попадая на Луну и частично поглощаясь ею, будут стимулировать развитие эфиродинамических процессов в ее теле, т.е. вырывов эфирных потоков, которые могут достигать поверхности Земли.

Таким образом, при разработке методов прогнозов негативных явлений на Земле следует учесть и многовековой астрологический опыт древних народов, разумеется, критически его переработав.

Выводы

1. В настоящее время в геологии господствует концепция, в основе которой лежат представления о стационарности Земли как планеты. Эта концепция рассматривает геопатогенные явления на Земле – крупные и локальные землетрясения как случайные события, а аварии и катастрофы рассматриваются в системе «человек – техника» без учета влияния природных факторов.

На самом деле Земля является непрерывно развивающейся природной системой, в которой геопатогенные явления происходят и будут происходить непрерывно, и именно они являются основными причинами негативных явлений, приводящих к массовому ухудшению здоровья людей и болезням, связанным с ослаблением их организмов, а также к авариям и катастрофам, приводящим к многочисленным жертвам.

2. В результате проведенных за последние 20 лет исследований выяснилось, что Земля непрерывно аккумулирует энергию и регулярно ее сбрасывает, открытие газового-гелиевого дыхания Земли подтвердило протекание «холодного» синтеза химических элементов в недрах Земли, а сейсмика оказалась прямым следствием фундаментальных эволюционных процессов планеты.

3. На поверхности Земли существует глобальная решетчатая сеть, ориентированная по странам света, со сторонами, направленными на север-юг с шагом около 2 м и восток-запад с шагом около 2,5 м, а также и другие решетки, образующие энергетические плоскости, идущие от поверхности вверх в

космос, на пересечении граней которых возникают геопатогенные зоны.

4. За последние 30 лет представление об аморфной, во многом однородной слоистой структуре Земли, образованной конденсацией первичного пылевого облака, постепенно заменяется на видение Земли как определенного кристаллического образования с гранями и узлами, геоэнергетическими линиями и процессами, протекающими под воздействиями геофизических и космических факторов.

5. Одним из важнейших факторов, влияющих на состояние природной среды на Земле, на состояние земной природы и техники, а также на человека является состояние солнечной активности, имеющее в среднем одиннадцатилетнюю цикличность, в частности, появление на поверхности Солнца солнечных пятен. Эфиродинамический подход позволяет уточнить природу солнечных пятен и понять механизм их влияния на земные процессы. Солнечные пятна следует рассматривать и как магниты и как вихри, подобные смерчам на море с воронкообразными расширениями на вершине. Предположительно, периодичность и интенсивность солнечных пятен коррелируется с периодами обращения вокруг Солнца планет солнечной системы, в первую очередь, тяжелых планет – Юпитера и Сатурна.

6. Помимо влияния солнечных пятен на земные события, существуют и другие космические и солнечные факторы, оказывающие влияние на активизацию и протекание геопатогенных событий на поверхности Земли, такими факторами являются, в частности, положение и фазы Луны. Все подобные факторы целесообразно учитывать при разработке методов прогнозирования появления на Земле негативных геопатогенных явлений.

Глава 4. Физика геопатогенных излучений

4.1. Эфиродинамическая сущность геопатогенного излучения

По степени интенсивности эфиродинамические геопатогенные явления сегодня целесообразно условно разделить на следующие группы:

- постоянно действующие относительно слабые локальные излучения, приводящие к появлению геопатогенных зон – областей воздействия на живые организмы, большая часть таких зон имеет размеры доли и единицы метров;

- кратковременные (от единиц часов до нескольких суток) относительно сильные локальные излучения, приводящие к полтергейстам – смещению предметов, появлению воды в помещениях, самовозгоранию предметов, холодным языкам «пламени», бьющим прямо из стен и т. п., размеры зон составляют единицы и десятки метров;

- кратковременные (от единиц часов до нескольких суток) сильные локальные излучения, приводящие к появлению сил, достаточных для аварийного снижения самолетов и затопления судов, размеры таких зон составляют от сотен метров до десятков и даже сотен километров;

- кратковременные мощные выбросы эфира с захватом поверхностного грунта, приводящие к появлению астроблем на земной поверхности и образованию и выбросу в космос комет;

- постоянное накопление в земных породах эфира преобразующегося в новое вещество, в результате чего увеличивается масса и размеры всей Земли, приводящее к появлению нового вещества во всей массе Земли, включая литосферу, и, как следствие, к механическим напряжениям в породах, крупным и локальным землетрясениям и вулканическим извержениям, и, кроме того, регулярно приводящее к быстрым (в

течение секунд и минут) выбросам эфирных потоков, сопровождающихся разрушением зданий и сооружений.

Исходя из изложенного выше, могут быть высказаны предположения о физической сущности различных видов геопатогенных излучений. Геопатогенные излучения во всех случаях представляют собой винтовые потоки эфира, более или менее уплотненного.

Просматриваются два механизма излучения винтовых эфирных потоков – путем вовлечения в движение свободного эфира и путем выброса струй эфира из вещества.

Первый вариант – вовлечение в движение свободного эфира происходит за счет вязкости эфира, вследствие чего винтовые потоки эфира в веществе приводят в движение прилегающие слои свободного эфира. Это может происходить либо в разломах, либо на границах поверхностных вихрей, образовавшихся в результате поглощения эфира из окружающего пространства (сетки Хартмана и др.). На пересечении горизонтальных вихревых потоков, образующих грани сетей, вертикальные винтовые потоки эфира будут более интенсивными. Эти вихревые потоки сжимаются давлением окружающего эфира, поэтому они локализуются на поверхности в местах пересечений граней сетей. Это, видимо, зависит и от характера и структуры подстилающих грунтов.

Как установлено, слабые локальные геопатогенные зоны возникают в узлах сетей, т.е. на пересечении линий сетей. Это может быть объяснено тем, что в этих узлах интенсивность движения и плотность эфирных потоков возрастает, и создаются условия для выброса струй эфира во внешнее пространство. Это и есть, вероятно, механизм образования слабых локальных геопатогенных зон. Относительно же того, почему именно геологические неоднородности являются основными источниками геопатогенного излучения, сегодня тоже можно высказать некоторые предположения.

Особенностью винтовых потоков свободного эфира является то, что эти потоки замыкаются в тороиды (рис. 4.1). Обратный

поток эфира распространяется на большой площади, поэтому там скорости малы, и воздействие на окружающую природу и предметы здесь не ощущается.

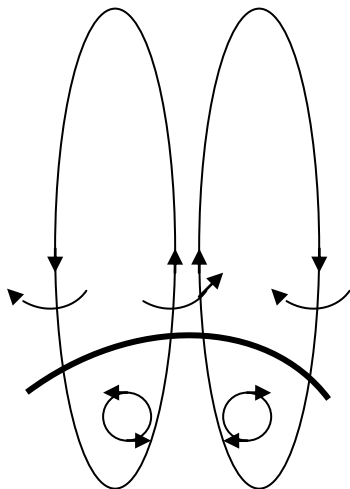


Рис. 4.1. Образование винтовых потоков свободного эфира в геопатогенных зонах

Второй вариант – выброс уплотненного эфира из вещества происходит по типу лазерного излучения с той разницей, что в породах Земли накачка энергии происходит за счет поглощения электронными оболочками и нуклонами эфира окружающего пространства.

Накопление массы электронными оболочками и нуклонами не влияет на их химические свойства, поскольку момент количества движения при увеличении их массы сохраняется, а значит, сохраняются значения спина, электрического заряда и магнитного момента. Частично накапливаемый эфир излучается, и это тоже проявляется как геопатогенная зона, но если

накопление эфира происходит быстрее, чем его рассеивание, то по мере накопления массы эфира состояние вещества становится все более нестабильным, и, начиная с какого-то момента, происходит взрывной выброс накопленного эфира, причем выброс эфира из одной части вещества стимулирует выброс эфира и из других его частей. Наибольшая вероятность такого выброса – в местах продолжения вглубь уже существующих разломов, так как именно здесь находится слабое место в породах. Некоторую аналогию можно увидеть при расколе любых кристаллов: в момент раскола в этом месте всегда возникает свечение, что свидетельствует о подобном же выбросе эфира во внешнее пространство.

Нельзя считать, что такой выброс всегда развивается мгновенно. Сегодня уже выяснено, что если геопатогенное излучение разрушить, то его восстановление происходит не мгновенно, а в течение нескольких минут. Это дает основание полагать, что процессы образования винтовых геопатогенных потоков тоже не происходят мгновенно, и на это уходит определенное время, возможно, от единиц минут до нескольких суток. В свою очередь, отсюда вытекает возможность, хотя бы в принципе, организации контроля за развитием таких процессов.

В отличие от струй свободного эфира, в которых плотность эфира несущественно отличается от плотности эфира в свободном околоземном пространстве и составляет порядка 10^{-11} кг/м³, струи эфира, выброшенные из вещества, имеют плотность значительно более высокую, вполне соизмеримую с плотностью эфира в электронных оболочках, т.е. порядка единиц кг/м³, соответственно будет выше и их удельная энергетика.

Струи уплотненного эфира не замыкаются сами на себя, а уходят в космос на значительные расстояния. Конечно, такие вихри по мере удаления от источников постепенно деформируются, расширяются, теряют интенсивность и, в конце концов, рассеиваются в окружающем Землю пространстве, но это может произойти на расстояниях, измеряемых сотнями тысяч километров. Если же образование таких струй носит лавинный

(взрывной) характер, то процесс развивается иначе, с замыканием эфирного потока в тороидальную структуру, которая есть начальная стадия образования кометы.

Все геологические породы имеют значение диэлектрической проницаемости больше единицы. Это означает, что соответственно во столько раз в них уплотняются эфирные потоки и во столько же раз они имеют меньшее сопротивление для эфирных потоков, чем вакуум. Поэтому тороидальные эфирные потоки, в основном, замыкаются внутри сплошных пород. Однако там, где имеется разлом, часть потока тороидов попадает в его пространство и вызывает винтовое движение примыкающих слоев эфира, возникают винтовые потоки эфира, направленные из тела Земли в свободное пространство. Эти потоки способны свободно пронизывать любые диэлектрические материалы, но не металлические, потому что на поверхности металлов свободные электроны образуют достаточно плотную поверхность (поверхность Ферми), обладающую высоким эфиродинамическим сопротивлением, такие поверхности эфирные потоки огибают.

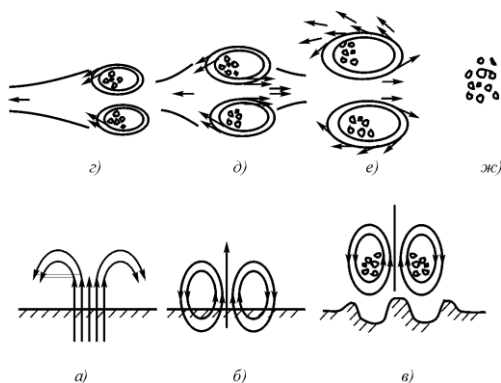
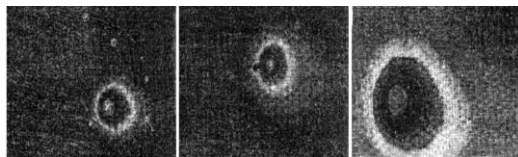


Рис. 4.2. Образование кометы: *а)* начальный этап; *б)* формирование
в) выход кометы в космос; *г)* образование заднего «хвоста»; *д)*
образование переднего «хвоста»; *е)* разброс вещества; *ж)* метеорный
поток, оставшийся после кометы



а)



б)



в)



г)



д)

Рис. 4.3. Фотографии комет: *а* – комета Хиякутаки, 1996 г., отчетливо видна тороидальная структура; *б* – комета Икея–Секи, 1965 г., у кометы веретенообразный задний «хвост»; *в* – комета Икея, 1963 г., задний «хвост» расширен и расщеплен; *г* – комета Арэнда–Ролана, 1957г., у кометы появился передний острый «хвост»; *д* – комета Маркоса, 1957 г., вещество рассеивается, комета близка к гибели

Однако известны случаи, когда эфирные струи вырываются из Земли там, где нет никаких разломов. Внешне этот процесс выглядит как мощная точечная вспышка, которая расширяется по площади, а затем гаснет. При достаточно мощном эфирном вырыве из Земли в свободное пространство образуется тороид с захватом поверхностных пород. Далее тороид улетает в космос, унося с собой вырванную породу и все, что встречается на его пути. Образовалась комета (рис. 4.2) [1, с. 536-547; 2].

Фотографии комет вполне подтверждают изложенный механизм их создания. Видно, что кометы – это тороидальные образования. Широкий задний хвост и узкий передний свидетельствуют о рассеивании тороидами набранного кометами вещества, а вовсе не об испарении льдов, о чем говорит официальная наука. Образовавшийся на месте гибели комет рой

метеоров также подтверждает вышеизложенное, также как и численные оценки количества и распределение комет в Солнечной системе.

Кометы (рис. 4.3) рождаются всеми планетами Солнечной системы, по-видимому, достаточно часто, на Земле чаще это происходит в океане, чем на суше. Во-первых, поверхность океанов в два раза больше, чем поверхность суши. Во-вторых, дно океанов тоньше, а диэлектрическая проницаемость воды высока, так что условия и для прохождения эфирных струй, и для образования вихревых тороидов здесь лучше. Имеются многочисленные свидетельства моряков о том, как из воды вырываются и уходят вверх некие НЛО серого цвета и блюдцеобразной формы. Не будущие ли это кометы? И не потому ли ядра большинства комет, с которыми встречается Земля, состоят из льда? Но есть свидетельства и другого рода, когда под водой на большой глубине видны крупные замкнутые вихревые образования. Может быть, это тоже тороиды, но у них

не хватило энергии для дальнейшего передвижения, и они застряли в воде? И не тем же явлением, но малой мощности, можно объяснить появление кругов на полях в Англии, о которых много писали газеты?

На суше подобные случаи тоже бывали. Подобных образований на Земле многие десятки. На Севере имеется множество круглых озер, в которые не впадают реки. В городе Сасово Рязанской области 12 апреля 1991 г. ночью образовалась воронка диаметром в 28 м и глубиной около 4 м. При этом исчезло 1800 т породы, а в окрестных домах были выдавлены наружу окна и двери (рис. 4.4) [3, 4].

Таких образований по всему земному шару многие тысячи, но крупных – диаметром порядка 100-200 км не более полутора сотен. Луна сплошь покрыта такими астроблемами, причем есть астроблемы («цирки») диаметром порядка тысячи километров, в центре которых имеются пологие горки высотой в несколько километров, а обрамляют их кольцевые валы из гор высотой до 14 км.

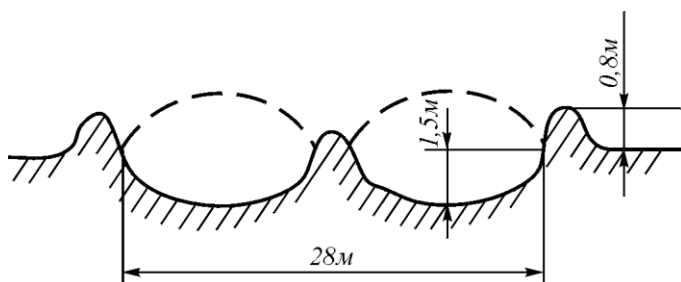


Рис. 4.4. Структура Сасовской воронки

Свидетельством тому является также, например, Пучеж-Катунская астроблема (рис. 4.5) [5], образовавшаяся порядка 175 млн лет тому назад, общий диаметр которой составляет 80 км, в которой, по данным гравиметрических съемок и сейсмического профилирования, имеется кольцевой желоб, имеющий внешний диаметр 40–42 км и глубину до 1,6 км в восточном секторе и до 1,9 км – в западном.

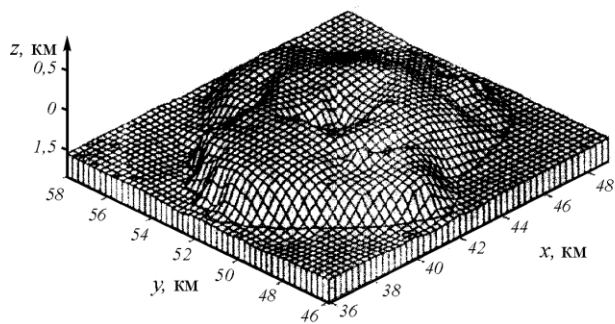
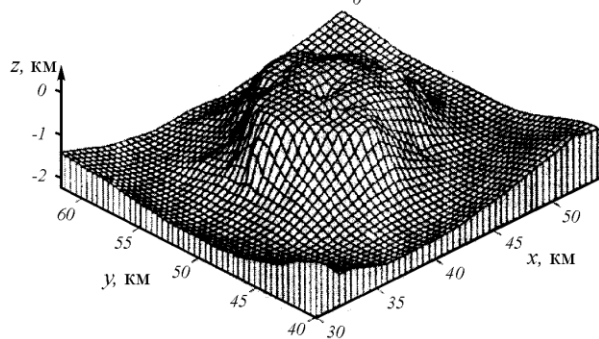
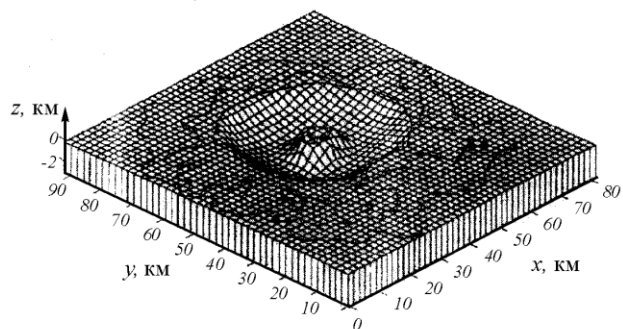


Рис. 4.5. Рельеф поверхности истинного дна Пучеж-Катунской импактной структуры: *а* – астроблемы в целом; *б* – центрального поднятия; *в* – свода центрального поднятия выше изогипсы 0,5 км. Соотношение вертикального и горизонтального масштабов 1: 3

В нем существует центральное поднятие, известное под названием «Воротиловский выступ», которое имеет диаметр в сводовой части 8–10 км, в основании 12–14 км и возвышается над дном кольцевого желоба на 1,6–1,9 км, причем крутизна склонов в его основании оценивается в 35°–40°. Вершинная часть поднятия представляет собой плоский кольцевой свод с перепадом высот до 200 м, в центре которого есть впадина размером 3х5 км и глубиной до 525 м [5].

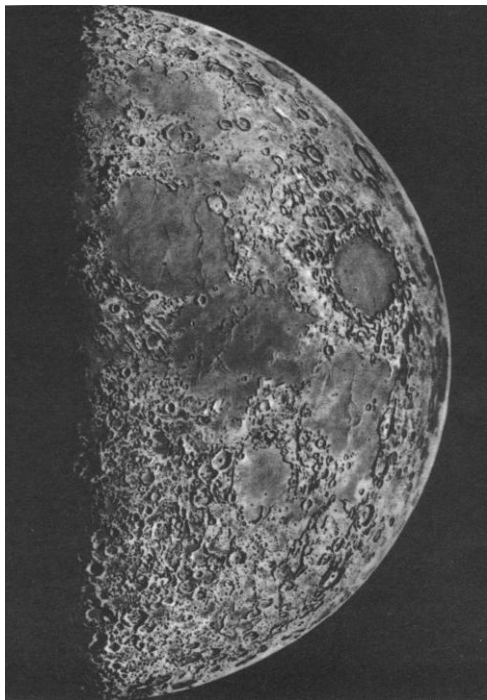


Рис. 4.6. Поверхность Луны в первой четверти

А что же можно сказать о Луне (рис. 4.6), на поверхности которой существуют сотни «астроблем», имеющих диаметр многие десятки и сотни километров? Все они имеют кольцевые

валы, частично разрушенные вследствие больших перепадов температур (днем $+110^{\circ}\text{C}$, ночью -120°C), у многих из них сохранилась центральная горка, свидетельствующая об относительной молодости этих образований: перепад дневных и ночных температур не успел их разрушить (рис. 4.6).

Подобное явление на Луне в районе кратера Альфонс наблюдал в ноябре 1958 г. известный астроном Н.А.Козырев. Он уверенно отнес это явление к вулканическому извержению, но оно не могло быть таковым хотя бы в силу своей кратковременности. Подобные явления неоднократно наблюдались на Марсе в виде ярчайшей вспышки атомно-водородного уровня светимости с расширением светового пятна до нескольких десятков и даже сотен километров в течение долей или нескольких минут. Но на самом деле, такие явления могут быть на всех планетах, они и бывали, о чем свидетельствует наличие большого числа астроблем на их поверхностях (рис. 4.7, 4.8)[6].



Рис. 4.7. Участок поверхности Меркурия шириной в 500 км



Рис. 4.8. Поверхность Меркурия: на ней видно большое количество астроблем

Почему разломы испускают гелий в больших количествах?

Ответ относительно прост: испускание гелия свидетельствует о

том, что в области разломов проходят низкотемпературные ядерные реакции, а поскольку энергия связей нуклонов в альфа-частицах значительно выше, чем энергия связей тех же нуклонов, но находящихся в соседних альфа-частицах, то разрушаются не связи в альфа-частицах, а связи между альфа-частицами. Здесь может быть приведено сравнение с каменной стеной, в которой камни скреплены между собой слабым цементным раствором. При разрушении такой стены камни останутся целыми, разрушение пройдет через цементные швы.

Каков же механизм, запускающий ядерную реакцию, приводящую к трансмутации элементов в земной коре? Здесь можно высказать предположение о двух таких механизмах.

Во-первых, поглощение эфира Землей происходит не одинаково разными породами, имеющими различную диэлектрическую проницаемость, что приводит к разным скоростям эфирных струй в местах соприкосновения пород. Градиент скоростей эфирных струй приводит к возникновению

турбулентностей, которые развиваются в вихри. Вихри сжимаются внешним давлением эфира, уменьшаются в размерах при одновременном увеличении скоростей потоков эфира уже в самих вихрях и возникновению в стенках этих вихрей высоких градиентов скоростей, способных разрушить ядерные связи между альфа-частицами.

Во-вторых, накопление эфира в электронных оболочках томов и молекул и в нуклонах ядер делает их неустойчивыми, способными после достижения некоторой критической величины накопления выбросить избыток эфира в окружающее пространство. Этот избыток уже имеет скорость, соизмеримую со скоростью эфирных потоков в электронных оболочках и в ядрах. Кроме того, выброс избытка эфира в межнуклонное пространство сразу делает межнуклонные связи менее устойчивыми, но разрушаются только более слабые связи между альфа-частицами.

Так или иначе, но излучение гелия в определенных местах непосредственно свидетельствует о присутствии в этих местах на

некоторой глубине ядерных преобразований и, соответственно, о трансмутации элементов и веществ.

4.2. Механизм воздействия геопатогенного излучения на косное и живое вещество

В основе всех движений воздуха в атмосфере лежит его внутренняя тепловая энергия, т.е. кинетическая энергия теплового движения его молекул. Скорость звука в газе $v_{зв}$ связана со средней скоростью теплового движения его молекул v_T простым соотношением:

$$v_{зв} = 0,8 v_T$$

Для воздуха при температуре 20^0C скорость звука составляет 330 м/с, а средняя скорость теплового движения молекул – 412 м/с. Именно это тепловое движение молекул создает давление воздуха, которое на уровне земли составляет 760 мм рт. ст. или 10^5 Па, а энергосодержание теплового движения молекул воздуха, заключенного в одном кубическом метре объема составляет 10^5 Дж/м³.

Никакое самопроизвольное движение воздуха (ветры, ураганы) при этих условиях не может превысить скорость звука, их максимальная скорость всегда в несколько раз меньше, потому что в них хаотическое тепловое движение молекул воздуха преобразуется в упорядоченное движение массы газа, энергия которого отбирается у энергии теплового движения. Общий баланс энергии всегда сохраняется.

Плотность воздуха составляет, примерно, 1 кг/м³. В ураганах движение воздуха создает на препятствия давление такой величины, что выкорчевывает деревья и разрушает постройки.

Но в эфире параметры другие: плотность эфира в околоземном пространстве составляет $8,85 \cdot 10^{-12} \text{ кг/м}^3$, зато скорость звука составляет $4,34 \cdot 10^{23} \text{ м/с}$, поэтому давление в эфире составляет порядка 10^{37} Па , т.е. на 32 порядка больше, чем давление воздуха. Это давление никак нами не ощущается по той же причине, что и давление воздуха: внешние и внутренние давления уравновешены. Ощущаются только градиенты давлений, которые создаются движениями воздуха или эфира. А поскольку плотность эфира на 11 порядков меньше, чем плотность воздуха, то и прямое давление эфирных потоков на препятствия, как правило, не ощущается.

Другое дело, градиенты давлений, возникающие при боковом воздействии потока газа – воздуха или эфира на препятствие. Ураганный ветер сносит крыши не потому, что он на них давит своей массой, а потому, что поток воздуха тормозится о крышу, что уменьшает давление на величину пропорциональную квадрату разности скорости у препятствия (крыши) и в свободном пространстве:

$$\Delta P = -\rho \frac{(\Delta v)^2}{2}.$$

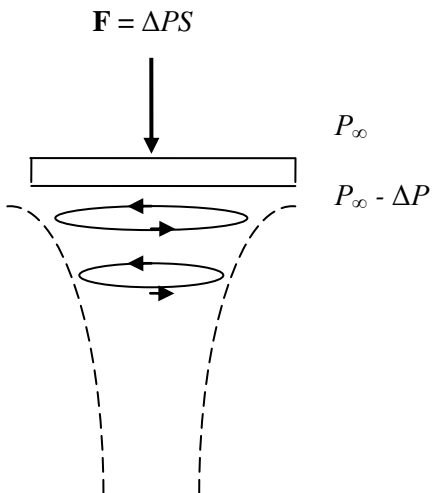
Скорость ветра в ураганах достигает до 30 м/с, т.е. почти 0,1 от скорости звука. При этом на 1 м^2 поверхности препятствия действует боковое давление в 450 Н, или, что то же самое, сила порядка 45 кг. Понятно, что на крышу площадью в 20 квадратных метров будет действовать сила в 1 тонну величиной. Она и срывает крышу.

В эфире плотность эфира составляет на 11 порядков величину меньшую. Но скорость в 0,1 скорости звука в эфире составляет уже величину в 10^{21} м/с . А тогда боковая сила, действующая на каждый квадратный метр поверхности, составит уже не 45 кг, а $10^{26} \text{ - } 10^{27} \text{ кг}$, т.е. многие миллиарды миллиардов тонн. Конечно, это предельные величины, и в реальных природных эфирных

вихрях таких скоростей и соответственно таких сил не бывает. Но все же...

Боковая сила всегда направлена перпендикулярно обдуваемой поверхности. Поэтому эфирный вихрь, выходящий из земли, создаст на поверхности препятствия силу, направленную к центру Земли, и предмет, попавший в зону действия такого вихря, самолет или корабль получит ускорение вниз, к поверхности Земли или ко дну моря, что будет для него эффектом увеличения гравитационных сил, хотя их природа совершенно другая (рис. 4.9).

Следует отметить, что такая сила при боковом обдуве будет действовать на металлические предметы с большей силой, чем на предметы не металлические. У металлов существует так называемая «поверхность Ферми», состоящая из электронов, тоже вихрей эфира, но достаточно плотных, поэтому внешние эфирные потоки не проникают внутрь металла, а скользят вдоль их поверхности, несколько затормаживаясь. Торможение эфирного потока в вихре, выходящего из земли, вблизи металлической поверхности и создает градиент скорости эфира; с нижней стороны – со стороны вихря давление эфира уменьшается, а на верхней стороне сохраняется полное статическое давление. Создается разность давлений эфира и соответственно сила, действующая на весь предмет и перемещающая его вниз.



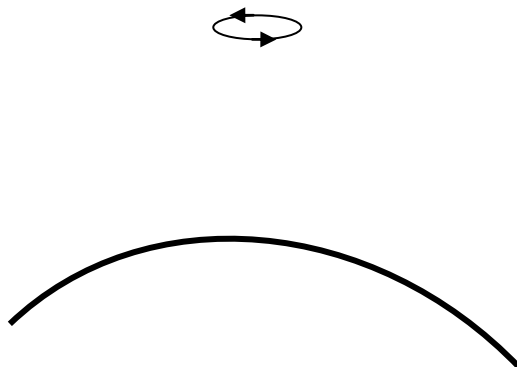


Рис. 4.9. Направление силы градиентного потока эфирного вихря при взаимодействии с металлической поверхностью

Подобным же образом может быть объяснен и факт перемещения предметов при полтергейстах. В полтергейстах, кроме того, эфирные вихри собирают молекулы воды, всегда содержащейся в воздухе, в капли, а капли в поток или в лужи подобно тому, как в стакане чая при помешивании ложечкой чайники собираются на дне в центр стакана.

У изоляционных материалов поверхность Ферми отсутствует, здесь эфирный поток проникает внутрь изолятора и воздействует на молекулы, сдвигая их по-разному, в зависимости от их миделя, т. е. площади поперечного сечения. Здесь основную роль начинают играть не только силы бокового обдува, разворачивающие молекулы, но и силы лобового сопротивления молекул. И те, и другие силы сдвигают предмет, деформируют его внутреннюю структуру и при больших значениях могут разрушить его.

Этим можно объяснить воздействие градиентных эфирных потоков на живые организмы, которые состоят из воды и

различных веществ. Разные молекулы испытывают разные силы, поэтому напрягаются межмолекулярные связи, изменяется ход химических процессов в организмах, меняется структура биополей, ощущение не из приятных. А при значительных градиентах скоростей эфирных потоков силы становятся соизмеримыми с силами межмолекулярного, химического и даже ядерного взаимодействий. Эти силы способны раздробить организм на молекулы, на атомы и даже на нуклоны. Организмы исчезают, трупов не остается...

На основе эфиродинамических представлений может быть объяснен и механизм свечения воздуха, его ионизации и, как следствие, поджига горючих газов.

Любой поток эфира всегда закручен, потому что в его основе лежит винтовое движение эфира в протонах и электронных оболочках атомов. Под воздействием градиентов скоростей винтового потока эфира молекулы азота и кислорода возбуждаются, ионизируются и начинают светиться. В принципе, это свечение относительно холодное, но при высокой интенсивности эфирного потока температура может подняться, тогда горючие газы воспламенятся, и произойдет взрыв.

Таким образом, эфиродинамический подход к геопатогенным явлениям позволяет, хотя бы в принципе, понять их механизм, а значит, и более сознательно подойти к методам их обнаружения и прогнозирования, а далее — к нейтрализации или, хотя бы, минимизации возможных негативных последствий.

Выводы

1. Природа геопатогенных излучений — вихревые потоки эфира, вырывающиеся из глубин Земли. Эти потоки взаимодействуют с телами, в основном, путем создания градиентов скоростей в струях эфира, что создает градиенты давлений и соответствующие силы.

2. По степени интенсивности эфиродинамические энергетические процессы сегодня целесообразно условно разделить на следующие группы:

- постоянно действующие относительно слабые локальные излучения, приводящие к появлению геопатогенных зон – областей воздействия на живые организмы, большая часть зон имеет размеры доли и единицы метров;

- кратковременные (от единиц часов до нескольких суток) относительно сильные локальные излучения, приводящие к полтергейстам – смещению предметов, появлению воды в помещениях, самовозгоранию предметов, холодным языкам «пламени», бьющим прямо из стен и т. п., размеры зон составляют единицы и десятки метров;

- кратковременные (от единиц часов до нескольких суток) сильные локальные излучения, приводящие к появлению сил, достаточных для аварийного снижения самолетов и затопления судов, размеры таких зон составляют десятые доли и единицы километров;

- кратковременные мощные выбросы эфира с захватом поверхностного грунта, приводящие к появлению астроблем на земной поверхности и образованию и выбросу в космос комет;

- постоянное накопление в земных породах эфира преобразующегося в новое вещество, в результате чего увеличивается масса и размеры всей Земли, кроме того, регулярно приводящее к быстрым (в течение секунд и минут) выбросам эфирных потоков, сопровождающихся землетрясениями и разрушением зданий и сооружений.

3. Эфирные потоки, вырывающиеся из-под земной поверхности, преобразуются в тороидальные структуры, захватывающие поверхностные породы и улетающие вместе с ними в космос, это и есть рождение комет, сопровождающееся появлением астроблем на поверхности планет.

Глава 5. Обнаружение и нейтрализация геопатогенных зон

5.1. Некоторые методы обнаружения геопатогенных зон

Как обнаружить геопатогенные зоны?

Сегодня уже созданы приборы, позволяющие это сделать. Но приборов мало, а геопатогенных зон много. Поэтому в разных случаях следует использовать те способы, которые позволяют решить задачу наиболее простым и в то же время эффективным способом.

Из известных сегодня способов обнаружения зон геопатогенного излучения целесообразно выделить четыре – гелиевый, биолокационный, магнитнодифференциальный и лазерный. Первые два можно считать широко апробированными, последние два – только опробованными, для их применения нужно создавать соответствующие полевые приборы.

Гелиевый способ обнаружения геопатогенных зон

Гелиевый способ обнаружения геопатогенных зон в свое время предложил академик В.И.Вернадский, который завещал «изучать гелий и дыхание Земли». И.Н.Яницким, кандидатом геологоминералогических наук, руководителем Центра инструментальных наблюдений за окружающей средой и геофизических прогнозов, проведены многолетние исследования этой проблемы. Им установлено, что именно гелий выявляет разломы земной коры гораздо отчетливей, чем любые другие геофизические методы. А атмосферные процессы в значительной степени определяются динамикой земной коры [1, 2].

Здесь возникает несколько вопросов: почему вообще возникают разломы в земной коре, почему при этом выделяется

именно гелий и, наконец, как это связано с прогнозом землетрясений.

Ответ на первый вопрос заключается в том, что Земля, как и все небесные тела непрерывно поглощает эфир из окружающего ее пространства [3, с.467-476]. Этот эфир частично поглощается эфирными вихрями – протонами, устойчивость структуры которых ограничена. Накопленный ими избыток массы после определенного значения сбрасывается, при благоприятных условиях из таких избытков формируются новые нуклоны, образуется новое вещество.

Свидетельством тому, что в недрах Земли непрерывно образуется новое вещество, является установленный факт расширения Земли и выделение нового вещества в мировой системе рифтовых хребтов. Это значит, что в земных глубинах идут ядерные реакции, о чем и свидетельствует выделение гелия, ядрами атомов которого являются альфа-частицы, состоящие из четырех нуклонов – двух протонов и двух нейтронов.

Альфа-частицы выделяются из ядер атомов потому, что энергия связи нуклонов внутри альфа-частицы на порядок больше, чем энергия связи нуклонов между альфа-частицами. В самом деле, если энергия связи нуклонов в альфа-частице составляет 28,3 МэВ, т.е. 7,1 МэВ на нуклон, то энергия связи альфа-частиц друг с другом составляет порядка 1,5 МэВ на нуклон, эти связи слабее и разрушаются легче.

Накопление вещества в массе Земли, вызванное поглощением эфира, приводит как к механическим напряжениям, т.е. к напряжениям электронных оболочек атомов, в свою очередь передающим напряжения ядрам атомов, так и к разрушениям межатомных и межмолекулярных связей. Это и вызывает появление разломов, сдвиг пород, землетрясения, а также извержения вулканов. А поскольку поглощение эфира небесными телами будет происходить до тех пор, пока существует вещество, то это значит, что все эти явления будут существовать всегда, и никаких надежд на то, что они однажды прекратятся, нет. Следовательно, задача заключается в том, чтобы о них знать,

прогнозировать и, по возможности, минимизировать негативные результаты их действий.

Биолокационный способ обнаружения геопатогенных зон.

Проще всего для обнаружения локальных геопатогенных зон воспользоваться методом биолокации, доступным практически каждому, но требующим небольшой тренировки. Сущность метода заключается в том, что поиск зон производится с помощью так называемых «рамок», под которыми подразумеваются изогнутые под прямым углом металлические проволоки, лучше всего – вязальные спицы диаметром 2 мм и длиной 40 см с заостренным одним концом. 1/3 длины спицы изгибается под прямым углом к остальной части. Короткой частью с заостренным концом спица вставляется в корпус обычной стержневой авторучки вместо стержня. Длинный конец нужно затупить в целях безопасности. Рамка готова (рис.2) [4].

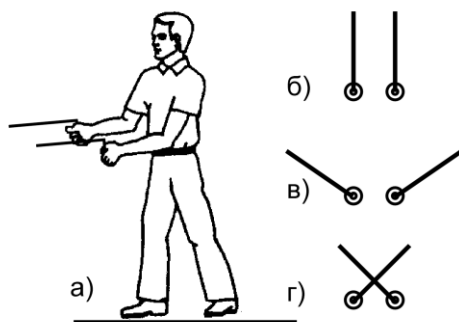


Рис.1

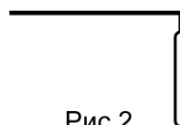


Рис.2

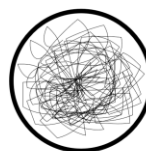


Рис.3

Рис. 5.1. Обнаружение геопатогенных зон оператором с помощью проволочных рамок

Оператор берет в каждую руку по рамке, наклоняет их немного вперед так, чтобы они были параллельны друг другу (рис. 1а, б), и обходит площадку или помещение.

Проверку чувствительности оператора можно произвести, поднося рамки к стене. Примерно, за 30–40 см от стены рамки начнут расходиться (рис. 1в).

Над геопатогенной зоной рамки сами пересекутся без какого бы то ни было желания оператора (рис. 1г).

При выходе из зоны рамки вновь становятся параллельными.

У людей со слабым собственным биополем рамки не работают, потому что угол отклонения рамок прямо зависит как от напряженности поля зоны, так и от напряженности собственного биополя оператора. Однако потенциальными способностями к биолокации обладает подавляющее большинство людей, но для работы с рамками требуется небольшая тренировка. Этим могут овладеть практически все желающие.

Вариантом биолокационного способа является обнаружение зон с помощью маятника – металлического предмета, подвешенного на шелковой нити.

Оператор держит в руке нить длиной 40-50 см, на которой подвешен металлический предмет, лучше всего – золотое кольцо. Успокоив маятник над местом, свободным от зоны, оператор медленно перемещает руку на исследуемое место. Если он попадает на геопатогенное излучение, маятник начинает совершать круговые движения, что свидетельствует о наличии в этом месте геопатогенной зоны, а также о том, что излучение имеет вихревую структуру: металлический предмет, имеющий высокое эфиродинамическое сопротивление, испытывает ускоряющую силу со стороны круговых эфирных потоков, которые и заставляют маятник совершать круговые движения.

Биолокационный способ обнаружения геопатогенных зон – один из самых простых и доступных способов, но он имеет существенный недостаток – субъективность. Этот недостаток связан, во-первых, с тем, что не у всех людей рамка или маятник работают, так как здесь необходимо, чтобы сам оператор обладал

достаточно сильным собственным биополем, а, во-вторых, чтобы оператор прошел хотя бы минимальный курс обучения или тренировки. Биолокационный способ, кроме того, вызывает недоверие у скептиков, которые усматривают в нем элементы недобросовестности и антинаучности.

Тем не менее, способ может быть рекомендован для обнаружения зон относительно небольших размеров в квартирах, служебных и рабочих помещениях. Учитывая, что таких зон абсолютное большинство, а их отрицательное влияние на людей вполне ощутимо, целесообразно готовить операторов-биолокационщиков и применять биолокационный способ, независимо от предвзятости скептиков.

Для повышения достоверности исследований целесообразно проводить исследования двумя- тремя независимыми операторами и сопоставлять результаты их исследований, что, несомненно, повысит их достоверность и степень доверия к ним.

Магнитнодифференциальный способ обнаружения геопатогенных зон.

Магнитнодифференциальный способ обнаружения геопатогенных зон основан на том, что магнитное поле Земли в местах геопатогенного излучения искажается как по магнитуде (величине), так и по направлению. Учитывая, что границы геопатогенных зон в горизонтальной плоскости достаточно четко выражены, может быть рекомендован способ выявления разности показаний двух датчиков магнитного поля в разнесенных на 1-1,5 метра точках. При этом не играет роли, отличается ли магнитное поле Земли в этих точках только по магнитуде, только по направлению или по обоим параметрам вместе. Здесь важен факт неодинаковости магнитного поля в этих точках.

Данный способ может быть использован там же, где и биолокационный способ, но он более дорогой, в этом его недостаток. Основным его преимуществом является то, что это

способ приборный, его показания не зависят от способностей оператора.

Устройство может быть рекомендовано как переносный прибор для выявления локальных геопатогенных зон в квартирах, рабочих и служебных помещениях, на производствах и т. п.

Лазерный способ обнаружения геопатогенных зон

Лазерный способ определения эфирных потоков разработан В.А.Ацюковским и опробован в лабораторных условиях при исследованиях эфирного ветра [5]. Способ основан на том, что лазерный луч изгибается под воздействием давления на него эфирного потока подобно тому, как изгибается консольно закрепленная балка под действием ветровой нагрузки. Отклонение конца луча лазера пропорционально плотности эфирного потока и квадрату скорости потока и квадрату длины лазерного луча (рис. 5.2)..

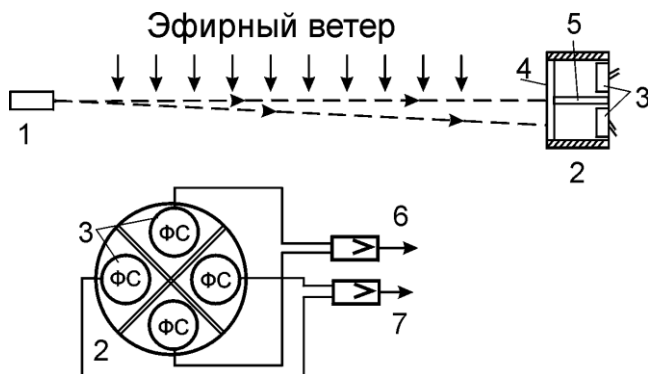


Рис. 5.2. Схема измерения скорости эфирного ветра с помощью лазерного луча: 1 – лазер; 2 – детектор; 3 – фотосопротивления; 4 – матовое стекло; 5 – непроводящая перегородка; 6 – усилитель сигнала

вертикального отклонения луча; 7 – усилитель сигнала горизонтального отклонения луча.

Отклонение пятна лазерного луча от его невозмущенного положения фиксируется двумя парами фотодиодов или фотосопротивлений, включенных соответственно в две мостовые электронные схемы. Одна пара фотодиодов (фотосопротивлений) расположена горизонтально и фиксирует отклонение луча в горизонтальной плоскости, вторая пара расположена вертикально и фиксирует отклонение луча в вертикальной плоскости.

Для повышения чувствительности прибора путем увеличения длины лазерного луча может быть использовано отражение луча от зеркал с поверхностным отражением.

Способ может быть рекомендован для измерения направления и скорости эфирных потоков и их изменений в шахтах, на поверхности земли, на воде и под водой, в воздухе и в космосе как на неподвижных основаниях, так и на подвижных объектах самого разного назначения.

Данное устройство фиксирует смещение эфира в двух направлениях – горизонтальном и вертикальном, поэтому для определения направления и скорости потоков эфира необходимо два прибора, расположенных в горизонтальной плоскости перпендикулярно друг к другу. Запись показаний отклонений лазерного луча от нейтрального положения может происходить непрерывно и автоматически и обрабатываться непрерывно, если к этому есть необходимость.

Гравиинерциальная геофизическая система ГГС

Для краткосрочного (3 мин. – 1 сут.) инструментального прогноза ЗТ на основе новых представлений о физике очага Е.В.Барковским (ИФЗ) разработана Гравиинерциальная геофизическая система (ГГС). Данная контрольно-измерительная система позволяет со 100% вероятностью «не пропустить» предвестник ЗТ, реализующийся в радиусе 50-60 км от точки

наблюдений. Зарегистрированы десятки предвестников близких, а также далеких сейсмических событий.

Система включает в себя два накломера, сейсмогравиметр, сейсмометр, геофизический интегратор, барограф, термовариометр, пульт управления и регистрационный узел.

Назначение системы:

- прогноз близких (до 50 км) землетрясений в различных геофизических полях, контроль и регистрация их краткосрочных предвестников (гравитационных возмущений, гравиимпульсов и сейсмогравитационных колебаний);

- регистрация дальних, близких и местных землетрясений в широком диапазоне частот, а также микроземлетрясений, микросейсм, атомных взрывов и т.п.;

- комплексные исследования в эпицентральной зоне «неузнанных» землетрясений с целью идентификаций;

- выявление тектонических разломов активных в данную эпоху;

- прогнозирование иных стихийных бедствий (ураганов, смерчей, циклонов, наводнений, засух оползней и т.п.) на основе контроля геологической среды;

- регистрация геодинамических процессов (земных приливов, подвижек земной коры, оползней, карстовых провалов и т.п.);

- исследования в зоне проектируемого строительства крупных инженерных сооружений с целью определения пригодности площадки под застройку по геодинамическим и сеймотектоническим признакам.

5.2. Некоторые методы нейтрализации геопатогенных излучений

Выбор места расположения ответственных объектов

Выбор рационального жилого помещения, в котором человек проводит большую часть жизни, является первоочередным

условием обеспечения безопасности жизни. От того, в каком конкретном месте расположены служебное и рабочее помещение, квартира, дом, дача или коттедж, зависит самочувствие и здоровье человека. Человек повсюду окружен невидимыми глазу пучками энергетических излучений, которые оказывают на него воздействие. Такие излучения были описаны индийцами еще четыре тысячи лет тому назад, однако их природа так до сих пор и не была выяснена, и только теперь, с появлением эфиродинамики появилась возможность в этом разобраться.

Вся поверхность Земли делится на «больные» и «здоровые» зоны. Энергетические линии шириной до 20 см и шагом в 2-2,5 м расположены с Севера на Юг и с Востока на запад (сетка Хартмана) и повернутая по отношению к ней на 45^0 вторая группа линий с шагом 3-4 м (сетка Харри). На пересечении этих линий возникают усиления энергетики и образуются «больные участки», опасные для здоровья человека.

Вода прерывает излучение этих сетей: над водоемами излучений нет.

Зоны вокруг церквей, как правило, всегда действуют на людей положительно. Церкви никогда не строились на геопатогенных зонах, видимо, строители умели их определять. Но возможно и другое объяснение: церкви благодаря особенностям своей архитектуры нейтрализуют излучение геопатогенных зон, и это открывает дополнительные возможности для исследований этого физического феномена. К сожалению, у официальной науки до исследования геопатогенных зон руки не дошли до сих пор.

При выборе площадок для строительства особо важных объектов типа АЭС, химических, нефтеперерабатывающих, металлургических комбинатов или стартовых площадок необходимо произвести геологическое картирование подземных разломов гелиевым методом. Независимо от этого площадки должны быть обследованы несколькими независимыми операторами-биолокационщиками, каждым из которых должны быть составлены независимо друг от друга планы площадки с

отметками зон для последующего сопоставления их друг с другом и принятия решения. Если к этому времени будет разработан магнитный дифференциальный прибор, то его показания должны быть также зафиксированы подобным же образом и использованы при сопоставлении замеров.

Нейтрализация геопатогенных излучений

Уничтожить источник геопатогенного излучения, находящийся глубоко в земле, практически невозможно, для этого нет реальных средств, но в этом и нет особой необходимости, потому что в большинстве случаев вредят не сами источники, а их излучение.

Абсолютное большинство геопатогенных зон излучает слабое постоянное излучение, и именно это излучение присутствует в большинстве квартир, рабочих и служебных помещений, нанося вред здоровью миллионов людей на всем земном шаре.

Самый простой способ борьбы с влиянием геопатогенных зон – переставить спальные и рабочие места в места, где таких зон нет. Принципиально это возможно, поскольку большинство зон имеет небольшие размеры в единицы и доли метра. Но реально сделать это трудно, так как и квартиры, и офисы, и рабочие места на предприятиях уже организованы, перестановки крайне нежелательны, а часто и невозможны.

Некоторыми изобретателями разработаны различные нейтрализаторы геопатогенного излучения, изготовлены, а в ряде случаев и испытаны их макетные образцы. Это, как правило, плоские металлические структуры в виде спиралей, решеток, зеркал, пирамид или некоторых кристаллических минералов размером в несколько сантиметров. Проверка эффективности таких нейтрализаторов показала, что они реально снижают интенсивность геопатогенного излучения, но не полностью. Кроме того, большинство из них сложны в изготовлении и дороги, их продажная цена составляет от одной до нескольких

тысяч рублей. Это, в первую очередь, связано со сложностью их изготовления.

Следует отметить, что общей и основной ошибкой этих изобретений является то, что все они предполагают регулярность структуры. В результате одна регулярная структура (геопатогенное вихревое излучение эфира) модулируется другой регулярной структурой (нейтрализатором), что приводит к созданию на его выходе третьей регулярной структуры – преобразованного вихря, интенсивность которого меньше, чем до входа в нейтрализатор, но как таковая сохраняется.

Поэтому задача состоит в том, чтобы создать иррегулярную структуру нейтрализатора, которая не позволила бы на его выходе организовать новую регулярную структуру эфирного потока. Этим требованиям удовлетворяет обычная спутанная изолированная металлическая проволока, обычно применяемая для намотки трансформаторов. В спутанном клубке такой проволоки остается достаточно пустых промежутков, сквозь которые эфирный поток будет проникать. В то же время в нем достаточно металлических поверхностей, около которых эфирный поток тормозится, что преобразует элементарные ламинарные потоки излучения в градиентные потоки, образующие микровихри тороидальной структуры. Эти микровихри будут разлетаться во все стороны, разрушая основной вихрь и, тем самым, нейтрализуя геопатогенное излучение [4].

Исследования действия таких нейтрализаторов, выполненных из 100 метров тонкой изолированной проволоки диаметром от 0,1 до 0,2 мм и сплюснутых в лепешку диаметром 5-8 см, показали, что геопатогенное излучение исчезает немедленно после того, как на полу или на земле размещен такой нейтрализатор. Но это излучение исчезает над нейтрализатором и некоторое время сохраняется под ним, что еще раз подтверждает, что источником такого слабого геопатогенного излучения является не космос, а тело земли.

Если такой нейтрализатор положить на зону и тут же его убрать, то зона восстановится примерно через пять минут; если его подержать на зоне час, то восстановление произойдет только через сутки-двое. При этом зона под нейтрализатором тоже исчезает. Если нейтрализатор лежит все время, то зона больше не появляется, по крайней мере, все то время, пока нейтрализатор находится на месте. Но если его убрать, зона через некоторое время восстановится.

Учитывая эффективность такого нейтрализатора, его абсолютную пассивность и поэтому безвредность, а также его исключительную дешевизну (в ручном исполнении его продажная цена составляет 50 рублей, при серийном изготовлении она может быть существенно меньше), целесообразно провести с подобным нейтрализатором официальные испытания и рекомендовать его к серийному производству.

Для лучшей сохранности проволоку целесообразно запечатывать в любой изолятор (бумага, картон, цемент, керамика, бетон, пластмасса и т.п.), после чего нейтрализатор готов к использованию.

Нейтрализатор может быть использован непосредственно в помещении при размещении его на полу – под ковром, под кроватью, под столом или под стулом, в этом случае проволока может быть запечатана в плотный бумажный конверт. Однако лучше всего нейтрализатор размещать в подвалах домов, тогда его целесообразно запечатывать в бетонную, пластмассовую или керамическую лепешку.

Предположительно, подобные нейтрализаторы могут существенно обезопасить автодорожное движение на так называемых «проклятых» участках. В этом случае на дороге нужно укладывать нейтрализаторы через каждые два метра по обочинам и по центру дороги, закатывая проволоку прямо в асфальт. Для дорожных нейтрализаторов целесообразно применять трансформаторную покрытую лаком проволоку диаметром 0.4-0.5 мм длиной метров 100-150, сматывая ее в

хаотический комок и затем расплющивая в лепешку диаметром 10-15 см. толщиной не более одного сантиметра. Общее число нейтрализаторов на километр дороги составит от 2-х до 5 тысяч в зависимости от ширины полотна. То же самое может быть рекомендовано и для шахт, здесь целесообразно крепить нейтрализаторы не только на полу, но и на стенах и на потолке штолен. Это, во всяком случае, может уберечь шахты от возникновения самопроизвольных пожаров.

Оценка эффективности дорожных нейтрализаторов может быть, к сожалению, произведена лишь на основе статистики аварий, которые после установки нейтрализаторов должны либо прекратиться совсем, либо существенно сократиться.

Борьба с полтергейстами в помещениях может быть произведена аналогичным способом с той лишь разницей, что в каждой комнате целесообразно разместить по несколько штук комнатных нейтрализаторов на полу и на стенах с шагом между ними по 1-1,5 метра. Поскольку полтергейсты – явления временные, то по истечении некоторого времени (ориентировочно, 2-3 недели) все нейтрализаторы можно будет снять до следующего раза, которого может и не быть.

В уже построенных особо опасных объектах вокруг них и в подвальных помещениях целесообразно укладывать нейтрализаторы по типу автодорожных. В случае эфирного выброса эти нейтрализаторы могут его существенно ослабить или даже ликвидировать совсем. При этом, в отличие от квартир, нейтрализаторы нужно жестко закреплять на полу, лучше всего, в подвалах.

Организация наблюдений за предвестниками землетрясений.

Изложенные выше предложения не дают гарантий не появления сильных локальных землетрясений, поэтому необходимы как исследования в зоне проектируемого строительства с целью определения пригодности территорий по

геодинамическим и сейсмотектоническим признакам и исследования застроенных территорий промышленных зон и жилых кварталов с целью выявления возможных тектонических разрывов под ними и определения степени их активности, так и оснащение неблагоприятных в геодинамическом отношении территорий крупных городов специальными геофизическими приборами слежения за состоянием геологической среды.

Выводы

1. В настоящее время создано несколько методов обнаружения геопатогенных излучений:

- гелиевый способ, основанный на исследовании излучений гелия из глубин Земли и позволяющий обнаруживать подземные разломы, являющиеся главным источником эфиродинамических выбросов и землетрясений, приводящих к катастрофам;

- биолокационный, дифференциальный магнитный и лазерный способы, позволяющие обнаруживать слабые геопатогенные излучения, наносящие вред здоровью людей;

Эти методы не являются совершенными и над ними, также как и над другими методами обнаружения геопатогенных излучений, нужно продолжать исследовательские работы.

2. Разработаны методики минимизации негативных последствий от геопатогенных природных явлений:

- рекомендации по обследованию и выбору строительных площадок для особо ответственных гражданских, промышленных и военных объектов;

- рекомендации по нейтрализации геопатогенных излучений с помощью проволочных нейтрализаторов хаотической структуры;

- рекомендации по правилам поведения экипажей самолетов и судов, попавших в геопатогенные зоны.

Эти методики носят предварительный характер, работу над ними необходимо продолжить.

Заключение

Из изложенного материала следует, что одной из главных причин массового ухудшения здоровья людей, а также причиной множества аварий и катастроф являются геопатогенные явления, происходящие на территории всего земного шара. Эти явления связаны с эфиродинамическими явлениями, в первую очередь, с непрерывным поглощением эфира Землей (как и всеми небесными телами) из окружающего космического пространства. Это значит, что подобные явления будут сопровождать всю историю Земли и не прекратятся никогда. Отсюда вытекает необходимость проведения исследований как в области выявления конкретных причин каждого из негативных событий, так и в определении корреляции подобных явлений с геологическими, атмосферными и космическими факторами, а расследовании всевозможных аварий и катастроф следует вести не в системе *«человек – машина»*, а в системе *«природа - машина – человек»*.

Особое значение необходимо придать теоретическому обоснованию физической сущности геопатогенных явлений на основе эфиродинамических представлений об устройстве физического мира. Это значит, что современная фундаментальная наука обязана пересмотреть свое отношение к существованию в природе мировой физической среды – эфира, признать его существование и вплотную заняться изучением всех процессов, так или иначе связанных с эфиром и имеющих эфиродинамическую природу. В физической теории эфиродинамическое направление должно стать приоритетным.

В настоящее время появились первые представления об эфиродинамической сущности геопатогенных явлений и выработаны некоторые рекомендации по обнаружению

геопатогенных зон, по прогнозированию геопатогенных явлений и по минимизации и даже предотвращению нежелательных следствий подобных явлений. Однако этого явно недостаточно. Поэтому необходимо проведение научно-исследовательских работ, имеющих целью как сбор необходимой информации и исследование геопатогенных явлений, так и создание инструментальной базы и разработку создания необходимой методологии по прогнозированию геопатогенных явлений, по минимизации и предотвращению нежелательных последствий.

На базе новой теории – эфиродинамики необходимо произвести соответствующие исследования во всех тех областях, к которым эфиродинамические процессы могут иметь отношение, такими областями являются, в первую очередь, космические и геологические процессы. Результатом теоретических и прикладных исследований должно стать уточнение отдельных положений ряда нормативных документов или даже пересмотр некоторых из них. Это относится, в первую очередь, к СНиПам (Строительным нормам и правилам), включая правила выбора строительных площадок для особо ответственных объектов, к правилам прокладки трасс для кораблей и самолетов, к инструкциям экипажей при возникновении чрезвычайных ситуаций и к ряду других.

Учитывая актуальность проблемы, необходимо создание ***Федерального Центра геофизических прогнозов и безопасности*** для обеспечения безопасной и безаварийной деятельности всех отраслей народного хозяйства страны, для предотвращения реализации проектов, представляющих прямую опасность не только экологии, но и всей жизни на Земле. Под патронажем такого ***Центра*** должны находиться объекты всех отраслей народного хозяйства как на стадии выбора площадок для будущих строящихся объектов, так и построенных и эксплуатируемых объектах. К таким объектам относятся:

– жилищно-коммунальный комплекс, включая жилые здания, тепловые, электрические и телефонные сети и системы;

- объекты энергетики – АЭС, ГЭС, ТЭЦ, плотины, водохранилища и др.;
- объекты промышленности – заводы химической промышленности, нефтеперерабатывающие заводы, шахты и др.;
- транспортные магистрали – автомобильные и железные дороги, авиация гражданская и военная и аэродромы; морской флот гражданский и военный и порты.

Под патронажем *Центра* необходимо наладить повсеместный сбор статистики отказов и сбоев аппаратуры и механизмов подвижных объектов гражданской и военной техники – автотранспорта, авиации и морского транспорта, разработать методологию и методики прогнозирования геопатогенных явлений, а также меры по минимизации и предотвращению их негативных последствий.

Уже сейчас необходимо наладить статистику даже незначительных отказов и сбоев работы аппаратуры и механизмов всех судов, находящихся в опасных и сейсмически неустойчивых районах, в частности, в Севастопольской бухте и в районах, примыкающих к Крымскому полуострову, а также в районах Мирового океана с указанием времени отказа механизмов и приборов и местоположения судна с целью выявления зависимости отказов и сбоев от местоположения судна и других факторов, а также корреляции выявленных отказов и сбоев механизмов и аппаратуры различных судов друг с другом.

Необходимо создание специальных геофизических приборов для кораблей и подводных лодок, которые могли бы сигнализировать экипажу о заходе в активизировавшиеся тектонические зоны. Перечисленные меры не снимают актуальности создания координирующего *Центра*.

И уже сегодня, до создания такого *Центра*, необходимо при анализе аварийных происшествий учитывать возможность влияния природных факторов – метео и эфиродинамическую обстановку, сейсмические и микросейсмические режимы территории на день совершения аварии.

Следует напомнить о том, что в 1991 г. Научным Советом по прикладной геофизике при Президиуме Академии Наук № 85/10296 от 23.12.91 г. были разработаны следующие рекомендации:

1) ввести в нормативы дорогостоящих геофизических, структурно-геологических и инженерно-геологических работ опережающие гелиометрические исследования регионального и детального масштабов;

2) государственным структурам по науке и технологиям обеспечить постепенное (в течение 5 лет) введение гелиометрии в обязательный перечень изыскательских работ, связанных с проектированием, строительством и функционированием народно-хозяйственных объектов, включая службы городского хозяйства;

3) выполнить редакцию СНиПов и других нормативных документов на изыскания и строительство для приведения их в соответствие с реальным состоянием объектов;

4) академическим и учебным организациям общенаучного, геологического, строительного профиля включить в программы информацию с уточнением структуры и динамики Земли, исходя из наличия в ней второго радиоактивного слоя;

5) предусмотреть разработку приборов-анализаторов гелия (типа ИНГЕМ) новых поколений с обеспечением их массового производства.

К сожалению, эти рекомендации, как и многие другие, до настоящего времени не выполнены.

Сегодня также можно высказать некоторые предварительные рекомендации по прогнозированию и предотвращению негативных последствий геопатогенных земных излучений.

Меры по теоретическому осмыслению физической сущности геопатогенных явлений.

Всем научно-исследовательским учреждениям и институтам страны необходимо произвести уточнение своих концепций, так

или иначе связанных с природоведением, с учетом существования в природе газоподобного эфира и соответственно рассматривать физику подведомственных им явлений, при необходимости вводя соответствующие коррективы.

Меры по прогнозированию геопатогенных явлений

1. Подведомственным научным учреждениям Академии наук, специализирующимся в области прикладной геофизики и соответствующим отраслевым научным учреждениям необходимо принять к исполнению рекомендации Научного Совета по прикладной геофизике при Президиуме Академии Наук № 85/10296 от 23.12.91 г.

2. Необходимо произвести опытно-конструкторскую разработку приборов-анализаторов гелия, дифференциальных магнитометров, лазерных измерителей эфирного дрейфа, пассивных проволочных нейтрализаторов с учетом их дальнейшего серийного производства.

3. Необходимо наладить разработку комплексных методик прогнозирования геопатогенных явлений с учетом геофизической, магнитной и эфиродинамической обстановки на поверхности Земли и в околоземном пространстве.

Меры по предотвращению негативных последствий геопатогенных излучений.

1. **Постоянно действующие геопатогенные зоны в жилых и служебных помещениях, а также на производствах и промышленных объектах.** Рекомендуется наладить обследование помещений и объектов подготовленными группами операторов-биолокационщиков, проводящих в исследуемых объектах исследования по наличию геопатогенных зон и укладывающих в них пассивные проволочные нейтрализаторы геопатогенных зон.

2. **Автодороги.** Следует произвести статистический анализ аварийных происшествий и выявить места повторяющихся

аварий. На выявленных местах следует произвести раскладку пассивных проволочных нейтрализаторов геопатогенных зон, либо зарывая их в землю по обочинам, либо монтируя их непосредственно в асфальтовое или бетонное покрытие, исходя из расчета один нейтрализатор на 4-6 кв. м полотна дороги..

3. Шахты. Во избежание поджига горючих газов в шахтах целесообразно разместить пассивные проволочные нейтрализаторы, закрепляя их на полу, стенках штолен и потолке, исходя из расчета один нейтрализатор на 4-6 кв. м площади пола, стен и потолка.

4. Авиация. Необходимо оснастить летательные аппараты приборами, индицирующими заход в геопатогенную зону, например, лазерными измерителями эфирного дрейфа, а инструкции экипажей должны быть дополнены правилами поведения в случае попадания в зону. Маршруты самолетов должны выбираться с учетом геофизической обстановки, складывающейся на маршруте.

5. Надводный и подводный флот. Все надводные и подводные морские суда нужно оборудовать приборами, индицирующими заход в геопатогенные зоны, например, лазерными измерителями эфирного дрейфа, а инструкции экипажей должны быть дополнены правилами поведения в случае попадания в зону. Маршруты судов должны выбираться с учетом геофизической обстановки, складывающейся на маршруте.

Разумеется, приведенные рекомендации не являются исчерпывающими, они будут изменяться и дополняться по мере развертывания работ по прогнозированию и предотвращению геопатогенных излучений Земли. Эти рекомендации ни в коей мере не отменяют, а всего лишь дополняют используемые в настоящее время меры по прогнозированию патогенных природных явлений и минимизации их негативных последствий.

Рекомендуемые способы обнаружения и нейтрализации геопатогенных излучений Земли

№	Зона	Периодичность	Негативное воздействие	Способ обнаружения	Способ нейтрализации*
1.	Геопатогенные зоны малой мощности в квартирах и служебных помещениях	Постоянное и спонтанное	Ухудшение здоровья людей	Биолокация; дифференциальный магнитометр	Размещение проволочных нейтрализаторов в подвалах или в самих помещениях
2.	Патогенные излучения средней и высокой мощности в жилых массивах и производственных помещениях	Спонтанное	Разрушение зданий	Исследования геологической обстановки на трассах, контроль за магнитным полем	Размещение проволочных нейтрализаторов в подвалах или в самих помещениях
3.	Патогенные излучения на автодорогах	Периодическое	Повышение аварийности	Биолокация; дифференциальный магнитометр	Укладка проволочных нейтрализаторов по обочинам дорог и на дорогах
4.	Патогенное излучение в шахтах	Спонтанное	Аварии, обрушения, пожары	Контроль за изменением магнитного поля и отклонением лазерного луча от центра	Укладка проволочных нейтрализаторов на полу, стенах и потолке туннеля.
5.	Патогенное излучение на трассах самолетов и кораблей	Относительно редкие	Катастрофы и исчезновения	Исследования геологической обстановки на трассах, контроль за изменениями магнитного поля Земли; установка на борт лазерного датчика	Изменение маршрута и времени вылета самолета или выхода судна из порта; изменение курса при движении.

* Во всех случаях целесообразно геологическое картирование зон.

Приложение 1. Геопатогенные явления на поверхности Земли

1.1. Крест Москвы

На территории Москвы полтора десятилетия тому назад сделан космический снимок, на котором проявились странные полосы, ориентированные с Ю-Ю-З на С-С-В [1]. Спектрозональный снимок отразил небольшую вспышку тектонической активности земных недр, причем в условиях антициклона. Темные полосы чередовались светлыми, ширина их составила порядка 1 км. При анализе выявленных образований стало ясно, что они совпадают с древнейшими разломами кристаллического фундамента. Самая мощная полоса протянулась с юга на север, прямо через исторический центр города.

Изучение взаимосвязи подобных полос с сохранившимися письменными летописями на территории Москвы показало, что небывалой мощи ураганы, грозы, землетрясения и пожары гигантских масштабов были топографически приурочены к районам Кремля, Варварки, Ильинки, Зарядья, Замоскворечья, Китай-города, нынешней Лубянки, Старой и Новой площадей. Геологически определено, что с запада на восток центр Москвы пересекает мощнейший древний разлом, а с Ю-Ю-З на С-С-В такой же гигантский разлом, тоже через центр города на вышеуказанных территориях, образуя крест. Именно по этим разломам из недр планеты поступает поток энергии, который и формирует бурные атмосферные процессы.

Летописание в Москве установилось сравнительно поздно. Следует помнить, что в огне пожаров гибли книги и летописи, сохранилось их сотые доли процента.

В Троицкой летописи за 1280 г. в Москве отмечены небывалые ураганы и грозы («много людей изби гром»). В XIII веке на 40 лет установилась экстремальная эпоха. «Бушуют бури, во время которых гибнет множество людей и скота (1280, 1299,

1300). Ураганные порывы ветра поднимают в воздух многие дворы и уносят их вместе с людьми и всем бытом» Свирепствуют пожары. «3 мая 1331 г. сгорел Кремль». В 1337 г. в Москве «все погоре и тогда же наиде дождь силен». 1365 г.: «загорелся город Москва... от Чертопорью погорел посад весь и Кремль и Заречье». Подобное же случилось 21 июля 1389 г., в 1396 г.

В периоды таких тектонических проявлений в Москве стояли полярные сияния: «от полунощи и до свети явились огненные столпы, а конец их вверху яки кровь». Москва при этом опять дотла сгорала (1401). Часто в те же годы и на тех же местах случались землетрясения: «Тоя же осени, 1446 г., октября 1 день, в час ночи той потрясся град Москва, Кремль и посад и храмы поколебашася».

На том холме, где исстари строилась Москва, на кресте разломов экстремальные явления протекали весьма бурно. «1460 г. 13 июля в 6 час дня с запада появилась очень грозная и темная туча и началась необычайно сильная буря. Буря разрушила много зданий... от страшной бури, порывов ветра, раскатов грома и молнии тряслась земля». Такое же случилось и в 1469 г. 30 августа – сильная буря с градом и грозой: «горящие головни и бересту добре далече носило за много верст». Москва вновь сгорела вся.

Бурная активность недр проявилась землетрясением в 1471 г. На другой год 20 июля «буря была вельми велика, огонь метало за семь дворов более. С церковей и хором слетали крыши». Пожар. Тектоника просто разбушевалась: 1474 г., весной был «трус в граде Москве... Во время землетрясения рухнула почти достроенная церковь Св. Богородицы. Потряслись все храмы, и колебалась земля». Зимой и осенью возникли полярные сияния. Буря 1477 г. 1 сентября с грозой: «был гром великий зело». От ударов молнии упали «глава церкви и шея и земля поколебалась от гремения страшного».

В 1481-1486 гг. Москва горела ежегодно, в 1493 г. страшные пожары 15 апреля, 6, 16 и 28 июля во время сильного ветра сгорела большая часть города. В 1495 и 1507 гг. горели «люди и

животы нечисленно». То же случилось в 1530 г. Особенным выдался пожар 21 июня 1547 г. во время бури: «бысть буря велика и потече огонь якоже молния». Три года в городе стояли полярные сияния. Бури с пожарами 1565 г. – Неглинка, 1566 г. – взошла туча темна и стала красная как огненная»; 1584, 1591, 1594, 1599 гг.: «в Китае-городе выгорели все дворы и лавки во всех рядах без остатку и на городке кровли. И не избыть в Китае-городе ничто от того пожару, ни един дом».

Необычна буря 1604 г., причем «на Москве среди лета выпал снег велики и мороз был...». Полярное сияние в феврале 1626 г., а затем пожары. Бури и пожары 1631, 1633, 1649 гг.: «Большой пожар, в результате которого не осталось в Белом городе ни единого кола». Это в каменном-то городе! Нетрудно заметить, что напастям подвержена не часть города к западу от Кремля, но к востоку – на разломах. Здесь в узле разломов скачкообразно вздыбливаются атмосферные процессы, тучи вдруг становятся кровавыми, ионизируется среда, даже сполохи сияний «вверху, яки кровь». А ведь пожар в Морфлоте, на Софийской набережной напротив Кремля, в гостинице «Россия», пожар в здании Самарского УВД и во многих других местах – того же характера процесс ионизации среды, воспламенения от излучений в местах разломов, резкое повышение температуры до «плавления меди колоколов в 170 пуд мгновенно», причем горит камень, лестничные пролеты, в Кремле камни в стене накалялись докрасна. Огонь распространялся мгновенно и по спирали.

Огненные явления: багровый туман, столбы пламени, шары огня, огненные языки, полыхающие по гребням гор отмечены и в XX в. При землетрясениях в Токио, Таншане (КНР), в Чили, Ташкенте и т. д. Второй важный момент – это внезапное расширение полосы вдоль разломов на несколько километров, по которому катится вал смерча и урагана.

Таким образом, хотя сегодня московские разломы притихли, чуть «засветились» в ширину на 1 км, но при локальных обострениях геодинамики способны захватить полосу в 3-4 км шириной, что и подтверждает история. Причем бури с любых

направлений стягиваются в центр города. По южному краю Москвы имеется крупный субширотный разлом, а к северо-западу от центра столицы отслезены еще три светящихся разлома. В геокатастрофической зоне расположены: Кремль, гостиница «Россия», Дума, комплекс зданий ФСБ, Правление ЦБ России, Олимпийский комплекс, Белый дом, Мэрия, посольства, заводы ЗИЛ, «Серп и Молот» и сотни других, опасные производства, институты лаборатории, Останкинский Телецентр, Башня, больницы, школы, жилые здания...

А ведь цикл – эпоха катаклизмов на носу. «Затрясется Земля» и как будет работать служба спасения, коли пламя будет метать за версту, а люди, машины и лестницы будут крутиться в воздухе и выпадать в окрестных озерах и лесах».

Очень важный момент. Недра небезразличны к ядерным установкам, энергетическим и электронным системам, трубопроводам и многому другому. Имеется надежное свидетельство людей, куда умнее сегодняшнего человечества: «У нас это установленный факт, что магнетизм Земли производит ветер, бурю и дождь... и существует сильнейшая связь между магнетизмом земли, переменам погоды и человеком». Добавим – и к изделиям его рук. В Москве «чернобылей» много, но хватит одного.

Законов, причин, периодов и циклов таких явлений наука пока не знает. Мы наблюдаем следствия. **Они были и грядут обязательно и внезапно.** Страшнее, что их нет сейчас, и мы к этому психологически не готовы.

1.2. Сейсмологическая ситуация Московского региона и ее воздействие на инфраструктуру города

Москва расположена на ступени по поверхности кристаллического фундамента, проходящего в широтном направлении через центр города. Абсолютная глубина поверхности фундамента севернее ступени составляет 1,4-1,6 км, южнее доходит до 2.5 км. Ступень ограничена серией широтных глубинных (до 40 км) зон разломов. Выделены глубинные

разломы С-З – Ю-В простираются, которые совместно с широтными образуют ряд «узлов» разломов. Наиболее крупные из них выделены под центром Москвы и Хорошевским районом. Зарегистрировано 5 местных землетрясений, эпицентры которых располагаются в Хорошевском районе. Зафиксированы десятки местных московских землетрясений, ряд из них привел к серьезным разрушениям и повреждениям зданий, когда их эпицентры находились под ними [2-9].

За последние десятилетия на территории г. Москвы зарегистрировано 8000 случаев деформаций инженерных сооружений, сопровождавшихся разрушениями зданий и человеческими жертвами. Из этого числа 1400 случаев деформации вызвано природными факторами, которые связаны с медленными оседаниями земной поверхности, составляющими от 1 до 14 мм в год.

В результате последних исследований, проведенных Е.В.Барковским, установлена взаимосвязь поверхностных деформаций с глубинными разломами г. Москвы.

В последнее время на территории г. Москвы наметилось увеличение сейсмотектонической активности, проявившейся в ряде опасных, хотя и локальных землетрясений.

В отдельные годы регистрировалось до 15 сейсмопроявлений. Примерно треть из них, когда эпицентры оказывались под застройкой, привели к разрушению или повреждению зданий и коммуникаций:

- повторное (после 1933 г.) сильное разрушение жилого дома по ул. Осипенко в 1967 году с многочисленными жертвами;
- разрыв новой теплоцентрали в Очаково в 1986 г.;
- ш. Энтузиастов в 1987 г.;
- Б.Полянка в 1988 г.;
- Старомонетный пер. разрушение дома № 36 в 1991 г.;
- сильное землетрясение 1990 г. в районе Матвеевское, сотрясавшее 12 секунд Юго-запад Москвы и повторившееся через несколько минут;

– два опасных толчка 1987 и 1992 гг. под одним и тем же домом № 140 по Каширскому шоссе со значительными разрушениями внутри дома;

– сильный сейсмоудар под соседним домом № 146 в 1993 г., приведший к многочисленным повреждениям внутри него;

– серия толчков в Лефортово, сбрасывавшая людей с диванов в марте 1995 г, заставившая покинуть свои дома сотни жильцов до полуночи.

Церковно-исторические хроники зафиксировали в 1474 г. разрушение Успенского собора Московского Кремля, по-видимому, местным землетрясением («И бе трус великий»).

Настораживает тот факт, что достаточно сильные толчки стали проявляться с очень малым для Москвы временным интервалом: целый рой (8) землетрясений в 21-24 часа 2 марта 1995г. в районе Лефортово, сбрасывавших людей с кроватей и заставивший жителей трех домов ночевать на улице, и серия локальных сейсмоударов 6 июня 1995 г. в районе Театральной пл. и пл. Революции. Оба эти района расположены над узлами разломов, часть из которых прослеживается почти до поверхности земли. В этих же зонах наблюдаются резкие изменения рельефа фундамента от 1 до 2,5 км. По данным гравиметрии оба района расположены на гравитационной ступени.

Местные землетрясения техногенного и «взрывного» типов, интенсивность последних из которых в локальной зоне в ряде случаев достигает 6-9 баллов, могут приводить к «взрывным» разрушениям домов, просадкам поверхности земли, обрушению пород в карстовых областях, особенно при расположении их в пределах зон глубинных региональных разломов земной коры.

Деформация грунтов, залегающих в основании зданий и сооружений старой Москвы, обусловлены также подземными коммуникациями, создавшимися на протяжении всей древней истории Москвы.

Возникновение сильного сейсмического события, в результате которого интенсивность сейсмических колебаний на территории превысит 5-7 баллов, может привести к

катастрофическим последствиям, по количеству жертв, превышающим Чернобыльскую аварию, а по количеству разрушений соизмеримым с последним землетрясением в Японии. Объектами наибольшей опасности являются здания старой застройки центра г. Москвы, ослабленные трещинами.

Город Москва, как промышленный мегаполис с большой плотностью и численностью населения, насыщенный пожароопасными и токсичными производствами, включающий атомные исследовательские реакторы и другие опасные производства, следует относить к особо ответственным объектам.

Ниже приведен перечень зарегистрированных и изученных землетрясений на территории г. Москвы и региона в 80-х–90-х гг.

1967 г.

1. 12.1967, 21²⁵. Эпицентр: ул. Осипенко, 77. Полное разрушение двух подъездов жилого дома, многочисленные жертвы. Повреждение соседних зданий. Повторное землетрясение. Первое ЗТ в этом же месте было в 1933 г, когда был разрушен хлебный магазин.

1984 г.

1 ноября (точная дата утеряна) 1984, 2¹⁵. Эпицентр: северная окраина г. Подольска. Авария на заводе ПХМЗ, разрыв коммуникаций в микрорайоне и т.п. Гул, вибрация, свечение.

1987 г.

1.20.01.1987, 16⁰⁰. Эпицентр: шоссе Энтузиастов. Сильное землетрясение на фоне циклона. Разрушение коммуникаций, выбило окна, в зданиях появились трещины, автотранспорт на шоссе разметало в стороны. Регистрограммы ГГС утеряны.

2. Июнь 1987, 1 час ночи. Эпицентр: Каширское шоссе, д. № 140. Сильный толчок вскоре после грозы. Подбросило и разрушило лестничные марши, оконные блоки и др. Паника, люди выбегали наружу.

1988 г.

1. 25.07.1988, 23⁰⁵. Эпицентр: Б. Полянка. Разрушен спортивный корпус школы № 583. Зарегистрировано: с/ст. «Москва», ГГС Барковского. Гул, свечение, удар.

1990 г.

1. 24.04.1990, 16¹⁰. Толчок. Эпицентр неизвестен. Зарегистрировано ГГС.

2. 06.1990, 11¹⁵. Эпицентр: Юго-Запад Москвы, р-н Матвеевское-Очаково-Ленинский проспект – два землетрясения на расстоянии друг от друга 14 км. Сильные сотрясения ощущались почти по всему городу. В Матвеевском падали статуэтки со шкафов и др. предметы. Люди выбегали или с первых этажей выпрыгивали в окна наружу. Автомобили на дорогах притормаживали из-за «раскачки». Сильный гул, заглушавший шум улицы, вибрация, удары.

3 8.06.1990, 11¹¹⁻²¹. Рой землетрясений между М.Ярославцем и Москвой. Зарегистрировано ГГС, с/ст. «Обнинск», «Земля».

1991 г.

1. 12.03.1991, 12⁵⁰. Локальное землетрясение. Эпицентр не определен. Зарегистрировано ГГС.

2. 08.04.1991, 10⁰³. Слабое землетрясение. Эпицентр неизвестен. Зарегистрировано ГСС.

3. 12.04.1991, 01³². Эпицентр: г. Сасово, Рязанской области. Многочисленные разрушения, аварии, разрыв коммуникаций. Сильная вибрация, гул, свечение. В земле образовалась воронка, исчезло 1800 тонн породы. Одновременно в 7 км образовалась вторая воронка выброса грунта.

4. 16.05.1991, 22²¹. Эпицентр: Старомонетный пер., 36. Сильное разрушение здания. Гул, свечение, удар. Зарегистрировано с/ст. «Москва, ГГС.

5. Лето 1991. Серия землетрясений здесь же. Вибрация, паника, люди выбегали наружу на ул. Охотный ряд.

6. 30.07.1991, время «сбито». Серия толчков, эпицентр не известен. Зарегистрировано ГГС.

1992 г.

1. 04.01.1992, 02⁰⁰. Сейсмопроявление. Эпицентр неизвестен. Зарегистрировано ГГС.

2. 31.01-01.02.1992, 21³⁰-04³⁰. Серия толчков. Эпицентр неизвестен. Зарегистрировано ГГС,

3. 08-09.02.1992, 22⁰⁰-01⁰⁰. Серия толчков в районе Белорусского вокзала. Вибрация, звуки выстрелов, паника среди жителей. Зарегистрировано ГГС.

4. 01.04.1992, 12⁴². Толчок. Эпицентр не определен. Зарегистрировано ГГС.

5. 23.04.1992, 11⁴⁰. Близкое землетрясение. Эпицентр не установлен. Зарегистрировано ГГС.

6. 24.04.1992, 11²⁴. Землетрясение. Эпицентр не определен. Зарегистрировано ГГС.

7. Июнь 1992, 2 часа ночи. Эпицентр: Каширское шоссе д. № 140. Сильный толчок вскоре после грозы. Разрушены внутренние стены. Окна и т.п. Свечение, гул, паника. Люди из соседних домов выбегали наружу. Зарегистрировано ГГС.

8. 26.08.1992, 15⁴⁵. Толчок. Эпицентр не определен. Зарегистрировано ГГС.

9. 27.08.1992, 12²⁵. Толчок. Эпицентр не определен. Зарегистрировано ГГС.

10. 9-18.12.1992. Серия землетрясений, толчков в течение нескольких ночей в районе Якиманки. Служители церкви ночью выбегали из храма. Паника. Зарегистрировано ГГС.

1993 г.

1. 01.1993, 21³⁰. Эпицентр: ул. Красная Пресня, д. № 9/5. Взрывное разрушение дома. Природа процесса до конца не выяснена. Продуктов «взрыва» не обнаружено, газа в здании не было. Зарегистрировано ГГС, лабораторией Рыкова.

2. 31.03.1993, 1⁰⁰. Эпицентр: ул. Миклухо-Маклая. Сильный толчок. Разрушено здание магазина. Свечение, звук выстрела из пушки. Регистрации не было.

3. 31.03.1993, 16⁰⁰. Эпицентр: Каширское шоссе – Ясеновская улица. Сильным толчком разрушило подземные коммуникации. Зарегистрировано ГГС.

4. 09.04.1993, 19⁰⁰-23⁰⁰. Эпицентр не определен. Серия (до 5) толчков. Зарегистрировано ГГС.

5. 05.05.1993, 20³⁵. Сильный толчок. Эпицентр не определен. Зарегистрировано ГГС.

6. 13.07.1993. 20²⁰. Эпицентр: Каширское шоссе, д. №№ 140, 142, 146. Сильный толчок после грозы, свечение, повреждение здания № 146, разрушен мусоропровод, есть пострадавшие. Зарегистрировано ГГС.

7. 24.07.1993, 18⁰⁰. Сейсмопроцесс, резкий всплеск микросейсм. Эпицентр не известен. ГГС.

8. 02.09.1993, 13⁴⁵. Сильные удары. Эпицентр неизвестен. Зарегистрировано ГСС.

1994 г.

1. 17.02.1994, 5⁰⁰. Эпицентр: Алтуфьевское шоссе. Разрушено кафе «Минутка». Сильный гул, свечение, удар. Записей с/ст. «Москва» нет.

2. 07.09.1994, 17⁴⁵. Эпицентр: Выхино, ул. Сормовская. Три сейсмоудара разрушили здание отд. милиции. Толчки ощущались на расстоянии 2-х км. В микрорайоне раскачивались люстры. Погибло много людей. Регистрация ГГС не велась.

1995 г.

1. 02.03.1995, 21⁰⁰-24⁰⁰. Эпицентр: р-н Лефортово, ул. Ухтомского – Госпитальный вал. Серия (до 8) землетрясений.

2. 6.06.1995, 2⁰⁰-3⁰⁰. три землетрясения. Эпицентр: пл. Революции – гост. Москва. Сильная вибрация под зданием (по показаниям дежурной). Регистрация не велась.

3. 27-29.06.1995, 23⁰⁰-3⁰⁰. Серия толчков там же. Зарегистрировано ГГС.
4. 02.10.1995, 01⁵⁰-02⁰³. Сейсмопроявление. Эпицентр неизвестен. Лаборатория Рыкова.
5. 03.12.1995, время «сбито». Сильный толчок. Эпицентр не определен. Зарегистрировано ГГС
6. 17.12.1995, 02²⁶. Толчок. Эпицентр не определен. Зарегистрировано ГГС.
7. 17.12.1995, 17⁰⁸-17¹⁷. Два толчка. Эпицентр к югу от Москвы. Зарегистрировано ГГС.

1996 г.

1. 13.08.1996, 14⁴⁵-18⁰⁰. Серия ЗТ под административным зданием гост. «Интурист» и Геологическим музеем. Сильная вибрация, гул, паника. Подпрыгивали столы, компьютеры. Зарегистрировано лабораторией А.В.Рыкова.

Под территорией Москвы находится множество больших и малых разломов, а ее центральная часть находится над пересечением двух весьма крупных разломов («Крест Москвы»). Активизация геопатогенного излучения в этих местах в прошлом приводила к крупным землетрясениям и пожарам, уничтожившим многие постройки и сооружения.

1.3. Чернобыльская трагедия

Чернобыльская трагедия – взрыв атомного реактора блока № 4 Чернобыльской АЭС произошел 26 апреля 1986 года [10-14] Мощный взрыв выбросил из реактора практически все его содержимое, создалось гигантское радиоактивное облако, которое заразило окружающую территорию на сотни километров. Правда, катастрофические масштабы Чернобыльской аварии прекратили сползание мира ко все уничтожающей ядерной войне.

На многих АЭС и у нас, и за рубежом, в частности, в США, неоднократно происходили крупные аварии, но Чернобыльская авария имеет от них кардинальные отличия.

Эти отличия заключались в опережающих вибрациях, сопровождающихся серией тоже опережающих глухих хлопков-взрывов и ослепительных вспышек. И только затем последовали два основных, тоже глухих, взрывов-выбросов, которые вышвырнули из реактора практически все его содержимое.

Официальная версия аварии сводилась к разгону реактора РБМК-1000 на мгновенных нейтронах во внештатной ситуации. Катастрофа ЧАЭС рассматривается сугубо как техногенная, отягощенная человеческим фактором. Исследованиями причин аварии на 4-м энергоблоке ЧАЭС по горячим следам в начале мая 1986 года установлено, что эта авария произошла в результате неконтролируемого разгона реактора, т.е. была мощностной, что было подтверждено позднее в информации для МАГАТЭ, и что к разрушению реакторной установки привело резкое возрастание мощности реактора.

Последние абзацы из доклада в МАГАТЭ:

«Через некоторое время после начала испытаний началось медленное повышение мощности. В 1 час 23 мин. 40 с. начальник смены блока дал команду нажать кнопку АЗ-5, по сигналу которой в активную зону вводятся все регулирующие стержни АЗ. Стержни пошли вниз, однако через несколько секунд раздались удары, и оператор увидел, что стержни-поглотители остановились, не дойдя до нижних концевиков.

...По свидетельству очевидцев, находившихся вне 4-го блока, примерно в 1 час 24 мин. раздались последовательно два взрыва, над 4-м блоком взлетели какие-то горящие куски и искры, часть из которых упала на крышу машинного зала и вызвала пожар».

Продукты деления в аварийном выбросе перемещались на северо-северо-запад и на восток через Азию к Японии и далее через Тихий океан к США на высоте 7500 м. Чернобыльские выпадения были обнаружены также в Новосибирской, Иркутской и Семипалатинской областях.

Было разработано два сценария относительно остатков топлива.

По 1-му сценарию в результате аварии 4-го энергоблока на ЧАЭС осталось порядка 97% топлива и только 3% оказалось вне станции. По 2-му сценарию соотношения противоположны. Однако следует констатировать, что 1-й сценарий основан на предположениях, не отражающих реальной тепловой картины и опирались на эксперименты, основанных не на достоверных измерениях, а на волюнтаристских декларациях тепловых расходных параметров, экспериментально зафиксированные вариации которых колеблются в диапазоне до двух порядков, поэтому все сделанные по этому сценарию оценки количества топлива следует считать не обоснованными.

Сценарий-2 базируется на ряде установленных к 2004 г. фактов:

- шахта, в которой ранее размещалась активная зона, пуста и топлива в ней нет;
- кожух активной зоны в изуродованном виде лежит в центральном зале на расстоянии более 20 м от своего штатного положения, поверх завала из разрушенных стальных конструкций и фрагментов активной зоны;
- только четверть дна шахты прожжена насквозь в результате воздействия плазменной струи;
- после вылета содержимого из шахты активной зоны пожара в шахте не было.

Но далее следует: «...очевидно и несомненно, что при разгоне реактора источником энерговыделения являются экзотермические нейтронно-ядерные реакции, что определяет физическую природу взрыва как ядерного взрыва активной зоны, и этот источник действует, обеспечивая рост мощности энерговыделения до последнего мгновения существования увеличивающего надкритичность реактора. Реализованные при взрыве активной зоны реактора значения давления примерно на 6 порядков ниже, чем при взрыве ядерного заряда, а значения температуры – примерно на 4 порядка».

Сторонники сценария-1 выступают с уничтожающей критикой сценария-2. Но ни тот, ни другой сценарий, также как и сценарии неядерной природы развития аварии (куда следует отнести и гипотезу водородного взрыва) не удовлетворяют всей совокупности имеющихся данных о характере и последствиях катастрофы.

Детальные исследования Курчатовского института показали, что температуры в реакторе оставались нормальными (не более 1000 градусов) в ходе всей аварии. Что же касается подреакторного помещения, то там происходило нечто невероятное. Об этом свидетельствуют испарившиеся фрагменты конструкций из нержавеющей стали и железобетона, исчезнувшие связи трубопроводов охлаждающей вододоциркуляционной системы; в нижележащем помещении – потоки мгновенно образовавшейся и тут же застывшей лавы с кусками несгоревших графитовыхборок, осколками ураново-топливных стержней, все – в расплаве бывших изоляционных материалов и пр. Такой лавы оказалось около 160 кубометров, но никаких признаков пожара нет, поскольку здесь же, вперемишку, валялись свалившиеся **сверху куски стен с нетронутой огнем и даже не взрывающейся масляной краской**. Впечатление такое, будто бы здесь в этом бетонном колодце стартовал космический ракетный аппарат-плазматрон, температура работы которого может достигать и пятидесяти тысяч градусов, а в следующий момент сюда же упали сверху вышибленные таким «стартом» куски кровли, а также остатки начинки реактора.

Экспертами была высказана версия о пароводородном взрыве. Однако эта версия не объясняет следующих фактов:

- вскрытие всех люков Центрального зала вверх;
- срыв со шпилек монтажных железобетонных люков;
- отрыв стальной трубы диаметром 400 мм с толщиной стенок 4 мм в ПРК (парораспределительном коридоре);
- разрыв стальной трубы тех же параметров в БС;
- сброс с петель стальной гермодвери помещения 303/3;

- разрушение и перемещение железобетонных стен помещений БС;
- характер разрушений внешних стен и перекрытий в помещении БС;
- глубокое психологическое состояние операторов, пожарных и других лиц, находящихся вблизи очага.

В свете изложенного некоторые исследователи (в частности, И.Н.Яницкий) полагают, что характер работ и все операции, проведенные на 4-м блоке ЧАЭС, существенной роли не играли и явились только совпадением по времени с геофизическим событием.

Откуда же взялся этот невероятной силы всплеск энергии? Во всяком случае, не в результате совершенно необоснованного «разгона на мгновенных нейтронах», как было сказано в докладе для МАГАТЭ. Имевшаяся в реакторе в это время тепловая мощность составляла, по расчетам специалистов, не более первых процентов от энергии взрыва. Недостающие 95-98 процентов энергии в форме плазмидов дал природный сеймогенерирующий процесс [10-12].

Как же тогда понимать зарегистрированную приборами одновременную вспышку излучения нейтронов? Очень просто. Измерения потоков нейтронов производятся по вторичному увеличению ионизации газа в датчике. **Электромагнитные природные процессы вызывают тот же эффект.** Таким образом, можно констатировать, что в случае Чернобыля имел место мощный эфирный выброс. Это тем более вероятно, что 4-й блок расположен на пересечении 5-ти геологических разломов, из которых три считаются «старыми» а два «новыми».

В октябре 1991 г. на ЧАЭС снова произошла тяжелая авария с разрушениями в турбинном отделении уже 2-го блока. Непосредственной причиной ее стало «загадочное» самопроизвольное включение генератора в сеть в машинном отделении, и объяснение этому не найдено.

Заклинивание системы управления защиты на четвертом блоке в 1986 году и самопроизвольное включение пускового

генератора в 1991 г. – феномены одного порядка и одинаково загадочны. Несомненно, что если бы в октябре 1991 г. гравитационный толчок пришелся не на машинный зал второго блока, а на его реакторное отделение, то Чернобыль-86 мог бы повториться. Впрочем, ядерная установка в это время не работала. В то же время оба этих факта говорят об одном и том же механизме воздействия: ими могли быть вырывы эфира на тектоническом разрыве, воспринимаемые как гравитационные взрывы и локальные землетрясения.

Спустя 9 лет после Чернобыля было установлено, что локальное землетрясение в районе 4-го блока ЧАЭС началось за 23 секунды до его разрушения [13, 14].

Однако ни в одной из тринадцати версий Чернобыльской катастрофы нет даже намека на какие-то внешние геофизические обстоятельства, не говоря уже о геофизических первопричинах. Это еще раз однозначно подтверждает, что официальная наука до сих пор рассматривает среду обитания как систему абсолютно закрытую от каких-либо внешних воздействий [15-17]. И в этом – предмет главной опасности.

Сейсмотектоническая активность Чернобыльского структурного узла инструментально наблюдается до сих пор.

Приведем еще некоторые примеры аварий и катастроф в промышленности и энергетике. Это:

12.04.1991 г. Гор. Сасово Рязанской области. Станкостроительный завод. Частичное разрушение здания. Декабрь 1992 г. Там же повторное, на этот раз серьезное разрушение завода и воспламенение паров масла в огромном резервуаре.

21.08.1998 г. Пос. Капотня, Москва. Нефтеперерабатывающий завод. Воспламенение топливного резервуара.

15.02.2000 г. Гор. Самара. Нефтеперерабатывающий завод. Воспламенение топливной емкости.

Несомненно, общее количество разрушений зданий и сооружений, происходящих по аналогичным причинам, значительно больше. К сожалению, при анализе причин разрушений влияние негативных природных факторов не

учитывалось, а это значит, что причины не поняты и мер, способных предотвратить развитие будущих событий в нежелательном направлении, принято не было. Поэтому требуется дополнительный анализ и выявление корреляции местоположения и времени разрушений с расположением геологических разломов, вообще с геологической обстановкой, влиянием космических факторов, влиянием метеорологических факторов, а также корреляции с другими геопатогенными событиями на окружающей территории и на всем земном шаре.

Из приведенных примеров можно сделать вывод о том, что аварии и катастрофы, связанные с разрушением зданий и пожарами, есть следствие активизации геопатогенных явлений, происходящих, в основном, над геологическими разломами.

Приложение 2. Транспортные происшествия, **связанные с геопатогенным излучением**

2.1. Разрывы нефтепроводов и раздвижение опор мостов

Только для неискушенного человека разрывы нефтепроводов происходят в случайных местах. Если нанести координаты разрывов на тектоническую карту, то можно увидеть, что разрывы трубопроводов со всеми вытекающими из этого последствиями в основном привязаны к областям пересечения трубопроводами проекций тектонических разломов. Из этого следует, что причина многих таких аварий – воздействие активных разломов, приводящее к деформации грунтов.

В Сасово Рязанской области, где в 1991 г. произошло локальное землетрясение с выбросом в космос 1800 тонн мерзлого грунта, одновременно разорвались несколько трубопроводов, а мост через небольшую речку «Сасовка» вблизи эпицентра раздвинулся на 4 см, с момента же его строительства 120 лет назад опоры раздвинулись на 48 см, что лишний раз указывает на раздвижение земной коры в этой зоне. Локальное землетрясение произошло в 300 м ниже по течению этой небольшой речушки. Следует заметить, что к концу 80-х годов в Центральной России из-за раздвижения опор пришли в аварийное состояние десятки мостов.

Под Уфой произошел разрыв газового трубопровода и взрыв газа при прохождении двух пассажирских поездов с крушением поездов и гибелью людей.

Это значит, что возможность раздвижения опор должна учитываться при проектировании мостов и соответствующие указания должны вводиться в строительные нормы точно так же, как изменение температуры окружающей среды учитывается при строительстве трубопроводов и теплотрасс.

Что не надо делать? Не надо размещать химические комбинаты и вообще любые опасные производства над тектоническими разломами. При расследовании причин аварий не надо заранее исключать из списка версий геофизический фактор.

Что надо? При разработке мер по повышению надежности неудачно расположенных объектов нужно обязательно учитывать не только внезапные механические воздействия при локальных землетрясениях, но и возможность отказа электроустановок из-за образования плазмы. Еще нужно разрабатывать методы прогнозирования локальных землетрясений, имеющую свою специфику по сравнению с методами прогнозирования крупных землетрясений. Нужны не только новые сейсмостанции, нужны и космические средства зондирования Земли, ведь по космическим снимкам можно наблюдать детали строения недр планеты. Уже пора разработать приборы, способные детектировать энергетические пучки недр. Эти детекторы следует установить на каждой подводной лодке, на каждом крупном самолете, на каждом объекте опасного производства, включая шахты. В шахтах метан сам по себе не взрывается, а поджечь его может плазма энергетического выброса. Приборы, основанные, например, на фиксировании отклонений лазерного луча, могли бы фиксировать предвестники взрыва, и тогда подземные бури не стали бы неожиданными. А что касается трубопроводов, то в точках пересечения ими разломов целесообразно установить специальные датчики контроля деформации грунтов и других геофизических воздействий и собирать их показания с помощью космических систем. Тогда можно будет оперативно контролировать геофизическую обстановку по все трассе трубопровода и принимать, при необходимости, превентивные меры.

2.2. Автомобильные и железнодорожные аварии

Инспектора ГАИ с весьма большим скепсисом относятся к оправданиям водителей, попавших в аварию. Особенно в аварию на ровном месте, особенно когда водитель трезв. «Уснул» или «отвлекся за рулем», таков вердикт автоинспектора. Но почему-то «засыпают» или «отвлекаются» очень часто в одних и тех же местах [1-3]

В Кагорском ущелье по узкой горной дороге спешила на задание боевая машина десанта, старшим машины был капитан Александр Зубов. Неожиданно, когда БМД-1 с бортовым номером 453 выехала на относительно ровный и широкий участок дороги, тяжелую машину резко кинуло влево прямо к обрыву. С большим трудом водитель и бросившийся ему на помощь капитан вдвоем повернули руль вправо и затормозили. Вытерли холодный пот, осмотрели дорогу. Никаких ям или кочек на ней не оказалось. Вечером той же дорогой возвращались обратно. Вновь машина резко дернулась и буквально повисла над обрывом. К счастью, экипаж уцелел, хотя и попал в полном составе в госпиталь. Спецкомиссия, внимательно осмотрев дорогу, так и не нашла причины аварии. Варианты диверсии или ошибки комиссии водителя отвели сразу. Зато по следам отлично было видно, что БМД и в первый, и во второй раз тащила к пропасти какая-то непонятная сила на одном и том же абсолютно ровном пятачке. словно бы кто-то под землей внезапно включал на несколько секунд мощнейший магнит с усилием в десятки тонн.

«Абхазский пятачок» вовсе не единственный в своем роде. Английские исследователи не поленились собрать со всей страны самые, казалось бы, глупые оправдания перед дорожной полицией проштрафившихся водителей и обнаружили несколько почти однотипных описаний, когда трезвые и опытные водители на абсолютно ровной дороге испытывали неожиданные толчки или даже натывались на невидимую преграду... В архивах есть случай, когда женщина-водитель безуспешно пыталась на небольшой скорости проехать по ровному асфальту. Ощущение было таким, «будто колесо наезжало на бордюр». Но водитель

выходила из машины, заглядывала под колеса, осматривала дорогу, и... все повторялось вновь.

Но это еще относительно «гуманные» проделки дорожных невидимых бесов. 24 декабря 1996 года на дороге Ташкент – Самарканд всего в 25 км от конечной цели своей поездки несколько раз перевернулся японский джип. Историю эту я узнал от инженера Адама Саид-Ала, который с двумя друзьями находился в той самой машине. С большим трудом, все в крови, выбрались они тогда на дорогу, где их и подобрали попутные машины. Уже в больнице они узнали, что далеко не первые пострадали на этом небольшом участке дороги. Буквально накануне там же разбился большой груженный «КамАЗ», перед ним – еще один грузовик, перед ним – еще и еще...

О странных своей необъяснимостью участках внешне вроде бы нормальных дорог мне рассказывали едва ли не в каждом втором-третьем регионе страны. Если дорога извилистая, с крутыми подъемами – тогда понятны причины аварий, а если нет – то что думать? Если на ровном участке «вдруг» глохнет мотор и барахлит радио, если на пяточке возле дороги не хочется останавливаться и в голове только одно необъяснимое желание – поскорее уехать прочь? А если небольшой участок дороги весь увешан венками и уставлен придорожными крестами в память о погибших здесь шоферах?

Такие участки, где глохнут моторы, останавливаются часы, барахлят приборы, отмечали бывалые водители, к примеру, на подъеме к руднику в Ревде (Мурманская область), на дороге на восток от Линево (Волгоградская область), на старых мостах в Тамбовской, Калужской областях...

И в самой Москве найдется несколько мест, где число аварий явно не соответствует сложности трасс и перекрестков, как, например: Севастопольский проспект за развязкой, где начинается улица Бутлерова (участок прозван «дорогой смерти»); на Бумажной просеке в лесопарке Лосинный остров; на участке Дмитровского шоссе между двумя железнодорожными мостами около кинотеатра «Комсомолец»...

Продолжим, однако, примеры.

В Польше, недалеко от Тарнова, был отмечен 5-километровый участок дороги, на котором часто происходили автокатастрофы. Без явных на то причин водители теряли управление, выезжали на встречную полосу движения, врезались в придорожный ров, ни с того, ни с сего начинали резко тормозить. Свои действия ни один из автомобилистов внятно объяснить не мог. Недавнее исследование врачей, специально обмотавших группу водителей разными датчиками, подтвердило: именно на этих пяти километрах у них резко повышается кровяное давление, меняется ритм сердечной деятельности, да так, что пульс периодически останавливается и снижение интенсивности дыхания приводит к недостатку кислорода. Ответ на дорожную тайну дали гидрологи. Оказывается, именно под этим участком дороги когда-то находилось русло реки, что привело здесь к геопатогенным аномалиям...

Еще один дорожный отрезок, на этот раз в ФРГ, между Франкфуртом-на-Майне и Мангеймом. Здесь в течение пяти лет случилось более 200 жертв. Существует так называемый «брентский километр смерти». Подобные километры отмечены на дорогах Франции, Австрии.

А в Чехословакии после аварии автомобиля, в котором находился видный политический деятель страны Александр Дубчек, был создан «Фонд 88-го километра». Именно на этом отрезке скоростной трассы Брно – Прага лишь за один год было зарегистрировано 395 дорожных происшествий, десять из которых закончились смертельным исходом. А Дубчек два месяца спустя после той аварии от полученных тяжелых ран скончался.

Периодически на одних и тех же участках автодорог происходят катастрофы, из-за которых эти участки прозвали «Дорогой смерти». Это участок дороги на улице Бутлерова в Москве, Бумажная просека в лесопарке Лосиный остров, участок Дмитровского шоссе между двумя железнодорожными мостами

около кинотеатра «Комсомолец», 41-й километр шоссе Москва-С-Петербург и многие другие.

В чем же причина этих и многих других явлений: Откуда вообще взялись «проклятые» километры? Исследования, проведенные полицией, медиками, геологами многих стран, дали пока единственный ответ: причина в наличии подземных вод, рудных жил, геологических сломах и т. д. По мнению ученого из Братиславы Анны Речаковой, от 14 до 20% водителей остро реагируют на различные земные аномалии. Это же подтверждают и швейцарские ученые. А австрийская полиция даже автомобилистам на этот счет ряд конкретных советов – обматывать руль кожей или х/б тканью, а на опасных участках держать его одной рукой, чтобы не сработал эффект замкнутого круга.

Из приведенных примеров можно сделать вывод о том, что геопатогенные зоны на автодорогах, как, вероятно, и в других местах, производят два действия – воздействие на психику водителей и оказание физического воздействия на транспортное средство. Активность зон может быть разной, и она временно переходит от состояния относительного спокойствия и даже отсутствия к состоянию активности. Это последнее состояние зависит от многих природных факторов и требует дополнительного анализа и выявления корреляции с геологической обстановкой, влиянием космических факторов, влиянием метеорологических факторов, а также корреляции с другими геопатогенными событиями на окружающей территории и на всем земном шаре.

Железнодорожные катастрофы тоже случаются не всегда по вине людей. Так 16.08.1988 г. произошла деформация железнодорожного полотна у железнодорожной станции Бологое, в результате чего 11 вагонов опрокинулись и свалились под откос, пожар.

2.3. Аварии электроэнергетических сетей

Геофизики неоднократно обращали внимание энергетиков о недопустимости трассировки линий высоковольтных линий через определенные зоны. В противном случае будет наблюдаться эффект пропажи электроэнергии. В зависимости от погодных и геомагнитных условий потери на линии могут составлять до 30-40%.

Во время сильной геомагнитной бури в 1981 году полностью «занулилась» высоковольтная линия напряжением 10 кВ между селом Талда и селом Усть-Кан (Республика Горный Алтай). Это произошло по причине того, что линия прошла по зоне аномальной электропроводности, расположенной на глубине от 280 до 600 м. Подобные случаи происходят не только в России, но и в Японии, Америке, Тайване.

На Алтае известен случай, когда на линии длиной около 130 км осталось не более 35-40% напряжения. Специалисты обратили внимание на то, что линия проходит по хорошо известному геофизикам геологически активному разлому. При определении места утечки наблюдали, как в одном из мест, территориально совпадающим с разломом, провод дал искровую электрическую струю толщиной в руку, уходящую прямо в Землю.

Похожие события наблюдались в Забайкалье, в Красноярске и т.д. В Красноярске в начале 90-х годов был зарегистрирован случай возникновения облачного образования с вращающимися участками. При этом энергетическое хозяйство Красноярска перешло в режим электромерцания. Часть трансформаторов сгорела от перегрузки, а часть оказалась вовсе не загруженной. Данный феномен был объяснен только в 1998 г. как результат активизации аномальной зоны и генерации эфиродоменов. Так или иначе, но все это привело к полному изменению электрических качеств самой атмосферы над Красноярском.

Приложение 3. Авиационные происшествия, **связанные с геопатогенным излучением**

3.1. Катастрофы самолетов в районе аэродромов

Падение самолета при взлете или посадке при нормальных метеоусловиях (из воспоминаний И.Н.Яницкого [1, 2]).

25 июня 1945 года лететь с летчиком Михаилом Павловым на Як-18 поручили мне. В мою обязанность входила регулировка «шага» винта, то есть увеличение угла атаки его лопастей при наборе скорости. Происходило это на Центральном аэродроме в Москве, где теперь «Аэровокзал». Мы вырулили на старт, последовал сигнал на взлет. Павлов дал полный газ, и нас прижало ускорением к спинкам кресел. Несколько секунд, и мы в воздухе. Кроме прибора оборотов мотора и рычага регулировки меня ничего не интересовало. Краем глаза отметил, однако, быстрое движение руки пилота, сразу убравшего шасси: скорость уже за сто.

Но что это? ...Мгновенная вестибулярная реакция на резкий провал самолета. А оттолкнуться еще раз от земли было уже нечем... И мы тут же грохнулись на бетон брюхом.

Что можно сказать об этих ощущениях? Металлический винт на полных оборотах рубит бетонку; мгновенным движением пилот выключил зажигание; невообразимый шум, скрежет, дым и искры от трения, резкое торможение. И полное отключение – ни страха, ничего. Шок! Помню только быстрое причитание Павлова: «Что мне будет? Что мне теперь будет?..

Герметичность бензосистемы, однако, не нарушилась, и мы не загорелись. Просто остановились, и наступила мертвая тишина, пока к нам не подбежали. Помогли вылезти из непривычно низко распластавшейся машины, встать на какие-то «ватные» ноги. Глупо улыбнулся, увидев загнутый кренделем

пропеллер, как на много раз виденных немецких сбитых «мессерах».

Домой отвезли на дежурке, поскольку ноги не ходили почти три дня. Потом все прошло.

Катастрофа в Киншасе в январе 1996 г.

В понедельник 8 января 1996 г. на взлете потерпел катастрофу и упал прямо на городской рынок самолет ***Ан-24***. Подробностей об этой катастрофе, кроме гибели около ***двухсот*** человек, не сообщалось.

«Пилот подал команду, и грузовой самолет ***Ан-24*** на большой скорости начал разбег по полосе. Машина не слушалась команд. Пилот и его помощники метались из стороны в сторону под напором дьявольских сил. Так самолет обрушился на рынок, который находился на продолжении взлетной полосы. Винт грузовика вращался, сметая все на своем пути, как метла по рынку, – мужчин и женщин, детей, продавцов, школьников. Плохих и хороших. Самолет принялся брить всех, кто вышел в тот момент из автобуса. Он сделал сэндвич из живых: родителей, продавцов и их клиентов, из зелени, масла, огурцов, молока, маниоки, мыла. После того как самолет проехал около трехсот метров по улицам, за ним остались лежать кучи трупов, все в крови. Пилот и второй пилот вышли из самолета здоровыми и невредимыми. Бортинженер был также невредим. Его помощник – заирец погиб со своими четырьмя соотечественниками, сопровождающими груз. Обнаружены тела более ***трехсот*** погибших».

Это строки из местной заирской газеты о катастрофе в Киншасе, миллионном городе. Говорили, что вина всему - перегруз машины. Экипаж сразу же отправили в местную тюрьму, где им пришлось провести более года.

Но при анализе параметров взлета выяснилось, что после того, как машина начала разбег, она вдруг притормозила, а затем

вновь стала разгоняться. Это торможение съело метров триста полосы. Именно тех, которых не хватило машине для взлета...

Катастрофы самолетов под Иркутском

Один из зловещих геологических разломов проходит под Иркутском, как раз пересекая взлетно-посадочную полосу аэродрома. Три громкие, имевшие большой общественный резонанс авиакатастрофы под Иркутском: первая произошла в 70-е годы, вторая, когда «Руслан» разбился в декабре 1997, третья в июле 2004 г. – разбился Ту-154 – детально расследовались, но почему-то их никто не связывал между собой, хотя было ясно, что самолеты гибнут в одном и том же месте.

В каждом конкретном случае нашли виновных. Но не пилоты, связисты, техники или авиадиспетчеры виноваты в том, что в зоне геологического разлома возникают гравитационные ямы. Попал в нее самолет, беда почти неминуема. А как именно она реализуется – войдет ли лайнер в штопор, загорится ли электропроводка или поведение экипажа станет неадекватным, не суть важно. Все равно убийцей окажется разлом. Если это признать, и невинных наказывать не придется, и, что еще важнее, удастся не допускать новых трагедий.

Конечно, переносить иркутский аэродром из «гиблого» в другое, более безопасное место – задача невыполнимая. А вот оснастить его и подлетающие к Иркутску самолеты приборами, предупреждающими о возможности активизации глубинных процессов в геологическом разломе, задача решаемая.

Прокладывая трассы авиарейсов, естественно, стараются избегать мест повышенной опасности – скопления грозовых туч, очагов зарождения воздушных вихрей. Оказывается, к зонам повышенной опасности следует отнести и районы землетрясений. Риск попадания в них особенно высок еще и потому, что опасность, о которой порой никто не догадывается, нарастает до землетрясения.

Действительный член Российской академий естественных наук и космонавтики, доктор физико-математических наук, профессор, главный научный сотрудник Объединенного института физики Земли РАН Игорь Владимирович Ананьин рассказал, что число фиксируемых аварийных ситуаций нарастает по мере приближения землетрясения. За день до стихийного бедствия оно становится в 100 раз с лишним больше, чем в обычные дни.

С чем это связано? Механические напряжения, накапливающиеся в земной коре перед землетрясением, сопровождаются ростом напряженности электростатического поля, причем, чем ближе к будущему эпицентру, тем больше. Если средняя напряженность составляет 120-140 вольт на метр, то за день до катаклизма – несколько сотен тысяч вольт на метр. Это даже видно невооруженным глазом: начинают светиться горы, земля, электропровода, искры сыплются в радиусе до двух сотен километров. В момент толчка над эпицентром на несколько секунд возникает ярчайшая вспышка.

Летать в столь наэлектризованной атмосфере чрезвычайно опасно: ведь сильное электростатическое поле вырубает все электросистемы, в том числе, бортовые компьютеры, связь. В 1977 г. в Бухаресте за день до землетрясения вышли из строя все ЭВМ.

Как распределяется электропотенциал по высоте, точно неизвестно, изучены только нижние 7-8 километров. Но военные самолеты летают на высотах, превышающих 20 км. Можно предполагать, там плотность ионов гораздо более высокая.

Распределение вольтажа по высоте замерять реально. Пока предложение такое: замерять электростатические потенциалы хотя бы над аэродромами, особенно в сейсмоопасных зонах, а еще лучше ставить специальные приборы и на самолеты. Если напряженность достигает 400-500 вольт на метр высоты, требуется срочная посадка, полет в таких условиях слишком рискован.

Приведем примеры еще нескольких авиационных катастроф на территории России.

1995 г. Г. Москва, аэропорт Шереметьево. Объект – ВПП – взлетно-посадочная полоса. На 2-м километре обнаружена трещина на ВПП. Рейсы задержаны на несколько часов в связи со срочным ремонтом полосы.

5.04.1996 г. Близ Петропавловска-на-Камчатке. Гибель самолета Ил-76 при взлете.

9.03-1999 г. Г. Москва, аэропорт Шереметьево. Гибель самолета Як-40 при взлете.

Периодические происшествия с космическими кораблями, спутниками и самолетами при пролете над сильными зонами аномалий – это нарушения нормальных режимов полета, провалы кораблей и гибель людей.

3.2. Катастрофы самолетов над горами

Катастрофы трех Су-27 во Вьетнаме

Одной из внезапностей, больно отразившейся на национальном самолюбии россиян, явилась катастрофа 12 декабря 1995 г. в 6 ч. 57 мин. по московскому времени трех российских истребителей Су-27 при заходе на посадку на аэродром вьетнамской авиабазы Камрань (провинция Кханьхоа). И произошло это на пятый день после таинственного исчезновения самолета Ту-154, следующего рейсом Южно-Сахалинск – Хабаровск. Самолета, следы катастрофы которого к тому времени даже еще не были обнаружены.

Всепогодный истребитель-перехватчик Су-27 – гордость ВВС России, один из лучших в мире истребителей, не имеющий себе равных по маневренности, демонстрировался на многих международных авиасалонах, постоянно подтверждая свои великолепные летные качества. Катастрофа трех истребителей из пяти в одном месте сразу поставила под сомнение его летную надежность. Поскольку речь идет о катастрофе военных самолетов, подробности ее не разглашаются, и описывать

причины катастрофы приходится по отрывочной, а подчас и косвенной информации.

Пять истребителей Су-27 возвращались в Россию после успешного показа на выставке авиационного и морского вооружения «Лима-95» в сопровождении транспортного Ил-76 и на подходе к Камрани попали в низкую облачность, насколько можно понять из сообщений прессы, с туманом. Трудно предположить, что туман и облачность в этом районе не учитывались при подготовке полета. Накануне несколько дней в окрестностях бушевала непогода, вызванная, по-видимому, выходом эфира из глубин Земли, и надо было ожидать, что имеются остаточные эфирные выходы, которые и поддерживают ненастье. Однако об этом явлении ничего не знали и поэтому его не учитывали.

Поскольку непогода задерживала перелет, то, воспользовавшись первым же окном в ней, положившись, похоже, на надежность всепогодной техники, опытность и слетанность пилотов и дублирование курса, начали полет. Экипажи всех пяти самолетов, участвовавших в выставке, входили в состав элитной пилотажной группы российских ВВС «Русские витязи» и опытность их была вне всяких сомнений.

По-видимому, аэродром в Камрани не оборудован или плохо оборудован средствами наведения, а более вероятно, что работа средств наведения «регулировалась» непериодическими остаточными истечениями эфира из ГПЗ, находящихся вблизи аэродрома. Поэтому три захода на посадку оказались неудачными, и нельзя исключить, что рев десятка мощных двигателей, идущих строем истребителей и их вибрация спровоцировали при неоднократном прохождении на небольшой высоте над ГПЗ, внеочередной выброс значительной порции закрученного эфира. И когда группа начала четвертый заход на высоте 600 м, она практически мгновенно попала в пространство, насыщенное эфиром. Внезапное воздействие эфира по-разному отражается на физиологии и психике человека. И это обусловило

различное поведение опытных пилотов в экстремальной ситуации.

Вероятно, те пилоты, что приземлились в 70 км южнее Камрани на аэродроме города Фанранг и избежали катастрофы, в момент воздействия эфирного потока интуитивно, возможно, находясь на грани потери сознания, взяли штурвал на себя, и их самолеты пошли вверх, миновав преграду. Оправившись секунд через 10-20 от полубморочного состояния, которое они, возможно, даже не заметили, и, посоветовавшись с командованием или получив команду, направились на посадку в Фанранг.

Реакцию других можно определить по расположению остатков самолетов на сопке. Скорее всего, что-то повлияло на их интуицию, и они не отреагировали на внезапное изменение сознания. С заторможенным сознанием, а возможно и в бессознательном состоянии они продолжали полет на той же высоте или, снижаясь, и в результате не избежали гибели.

Как подсказала занимающаяся изучением ГПЗ Д.Федорова, доказательство влияния эфира или его отсутствия можно выявить и сейчас по магнитофонным записям переговоров на носителях Ил-76, и режиме работы станций слежения:

- должно чувствоваться некоторое замедление реакций пилотов при ответах на вопросы;
- в день катастрофы, возможно, наблюдались помехи в работе станций слежения;
- локаторы могли фиксировать отдельные шаровые молнии;
- за два дня до аварии могли наблюдаться незначительные изменения напряженности гравитационного поля в этом районе.

Погода после гибели самолетов не улучшилась. Можно предполагать, что выделение эфирных потоков продолжалось, поддерживая туман и облачность. Пошли дожди, совершенно исключившие возможность организации поисково-спасательных работ. И только на третий день, когда немного развеялось, вьетнамские поисковики начали пробиваться к погибшим самолетам. И, хотя для этой цели был выделен вертолет,

воспользоваться им оказалось невозможно. Стояла полностью нелетная погода.

День проходил за днем. Прошла неделя, наступила вторая, а вьетнамские спасатели все не могли выйти к самолетам. За это время из Владивостока в Камрань прибыли российские спасатели, выгрузились и тоже двинулись к месту катастрофы. На весь путь им потребовалось около трех суток. Вьетнамские спасатели прибыли на место на десятый день после выхода. И почти одновременно обе группы приступили к работам.

Задержка в движении вьетнамских спасателей, имеющих представление о воздействиях ГПЗ и о симптомах, сопровождающих эти воздействия, прекрасно знающих район катастрофы и ориентирующихся в тропических зарослях, весьма симптоматична и, вероятно, свидетельствует о том, что активность ГПЗ все эти дни не снижалась. И ощущая ее постоянное воздействие на себе, вьетнамские спасатели либо пошли в обход ГПЗ, а это всегда не очень-то легко и очень далеко, либо продвигались вперед теми темпами и путями, которые «разрешала» ГПЗ.

Когда подоспели наши спасатели, а они подоспели, по-видимому, к моменту затухания активности ГПЗ, ее воздействие на них было незначительным, и, возможно, даже не замечалось ими. К тому же они не знали местных условий и не имели представления не только о симптомах, возникающих в ГПЗ, но и о существовании самих ГПЗ.

Таким образом, даже организация спасательных работ косвенно свидетельствует о том, что основная причина авиакатастрофы трех Су-27 – попадание в ГПЗ.

3.3. Катастрофы самолетов над океаном.

Куда подевалась эскадрилья «Эвенджеров»?

Нижеприведенный текст заимствован из книги А.Ф.Черняева «Авиакатастрофы» [3].

Выход придонного эфира с больших площадей образует шлейф аномальных явлений и сопровождается процессами, способными вызвать гибель летательных аппаратов. Приведу с незначительными сокращениями классический пример придонного эфирного выброса, повлекший за собой гибель нескольких летательных аппаратов. Речь идет о печально знаменитой эскадрилье Тейлора, исчезнувшей в Бермудском треугольнике.

Вот как описывает этот случай А.Потапов в спецвыпуске газеты ПВО «На страже Родины» (НЛЮ № 134-135, июль 1993 г.).

«Недавно средства массовой информации сообщили: в 20 километрах от побережья Флориды на глубине 250 м, наконец-то, обнаружены останки боевых самолетов американского ВМФ. Речь идет о пяти истребителях-бомбардировщиках «Эвенджер», бесследно исчезнувших 5 декабря 1945 г.

Штрихи к портрету катастрофы.

Погода была на «пять», а «Эвенджеры» оснащены по последнему слову техники.

В тот день в 14.10 пять самолетов «Эвенджер» поднялись с аэродрома авиабазы ВМФ США в Форт-Лодердейле. Этот был обычный патрульный полет вдоль восточного побережья Флориды – 160 миль на север и возвращение на базу. Расчетная продолжительность полета не превышала двух часов.

Перед полетом, как и полагалось, все машины прошли тщательный осмотр, и баки их были заправлены полным запасом горючего. Все приборы и навигационное оборудование находились в исправном состоянии. Каждый самолет был оснащен мощной десятиканальной радиостанцией с радиоконпасом, позволяющим в любое время безошибочно определить направление на место своего базирования. На борту «Эвенджера» имелись спасательные средства – автоматически надувающиеся при соприкосновении с водой резиновые лодки или плоты. Кроме того, на каждом летчике был спасательный жилет. Погода в день патрулирования стояла отличная.

В 15.15 командир эскадрильи лейтенант Чарльз Тейлор установил с центром управления первый радиоконтакт. В это время он должен был, согласно расчетам, обратиться за разрешением произвести посадку. Но вместо обычного вопроса операторы приняли тревожное сообщение:

– Хелло, барышня, мы в опасности! Наверное, сбились с курса. *Не видим Земли... Повторяю... Не можем обнаружить Землю...*

– Сообщите свое местонахождение, – последовал приказ.

– *Не в состоянии его определить,* – отвечал лейтенант. – Не знаем, где находимся. Похоже, что заблудились.

Служащие центра управления были ошеломлены. Можно ли действительно этому верить, полет ведь проходит в отличных условиях?

– Направляйтесь строго на запад.

Радиосвязь надолго прервалась, затем Ч.Тейлор отозвался вновь, и в голосе его слышался неподдельный страх:

– *Не знаем, где запад. Все выглядит не так... очень странно. Мы совершенно потеряли ориентацию. Даже океан выглядит не так, как обычно.*

Работники центра связи пребывали в полной растерянности. И их можно было понять. Если бы даже магнитная буря вывела все имеющиеся на самолетах радиоконпасы, пилоты должны были легко найти дорогу на базу. Следовало только держать курс строго на Солнце, которое уже склонялось к горизонту. Но вот что удивительно: *из переговоров летчиков между собой стало ясно – они потеряли... Солнце.*

После 16.00 лейтенант Ч.Тейлор, будучи, вероятно, полностью деморализован таинственностью происходящего, передал свои полномочия одному из пилотов.

В 16.25 новый командир эскадрильи вышел на связь с центром управления.

– *По-прежнему не можем точно определить свое положение.* Очевидно, находимся в 225 милях на северо-восток от базы...

Кажется, как будто...

И после этого пронзительная тишина. Срочно в район предполагаемого нахождения пропавшей эскадрильи была направлена небольшая «летающая лодка» «Мартин Маринер» с 13 членами экипажа на борту. Она предназначалась специально для спасательных работ и при необходимости могла совершать посадку даже на штормовое море.

Посланный на помощь пропавшим «Эвенджерам» гидросамолет спустя некоторое время передал ряд обычных радиосообщений на командный пункт, из которых было ясно, что он находится где-то рядом с исчезнувшими. А затем эфир смолк. Отчаянные попытки операторов установить с ним связь были тщетны.

В 19.04 диспетчерский пункт в Майами зафиксировал едва слышимые сигналы-позывные эскадрильи самолетов «Эвенджер». По расчетам специалистов, в это время баки с горючим на торпедоносцах были уже пусты.

Широкомасштабные поиски канувших в никуда, в которых участвовали триста самолетов и двадцать один корабль, успеха не имели. Не удалось обнаружить никаких следов пропавших.

Эксперты пребывали в полном недоумении – куда в таком ограниченном районе могли бесследно исчезнуть шесть самолетов с 27 летчиками на борту? Вопрос этот ставил в тупик многих, пытавшихся решить загадку. Известно, что самолеты ТМВ-3 «Эвенджер» даже после полного израсходования топлива способны продержаться на воде длительное время, которого вполне достаточно для эвакуации экипажей на имеющихся спасательных средствах. Кроме того, летчики прошли курс выживания в аварийных условиях и имели специальную экипировку.

Куда делась «летающая лодка» «Мартин Маринер», которая и с пустыми баками могла оставаться на плаву сколь угодно долго?

Почему ни один из самолетов, на которых была исправная аппаратура, не передал сигнал бедствия?

Никто из членов специально созданной ВМФ США комиссии не смог высказать достоверную версию, воспроизводящую трагедию. Один из специалистов заявил: «Можно подумать, что исчезнувшие пилоты улетели на Марс. Никто, черт побери, не знает, что же там произошло».

Комиссия завершила свою работу, но до сих пор целый ряд вопросов, которые она не смогла объяснить, остаются неразрешенными. Вот наиболее загадочные из них. Почему море казалось летчикам «странным», а Солнца они не видели? Почему показания всех компасов были ошибочными? Кто передал последние позывные? Почему не обнаружено никаких следов катастрофы?

Вероятно, впервые материал о катастрофе пяти «Эвенджеров» был опубликован в книге Чарльза Берлитца «Без следа», а потом и во многих других публикациях. И книга, и особенно история с «Эвенджерами» подверглись буквальному осмеянию как иностранной, так и перепевавшей ее советской печатью. Вот как, например, комментировалась гибель «Эвенджеров» английским журналом «Нью сайнтист».

«Несмотря на то, что в истории ВМС и ВВС США никогда не производили более бдительных поисково-спасательных операций, не было найдено и следа от шести исчезнувших самолетов и 27 пропавших с ними членов экипажей».

Так описывается случай в книгах. Но почти все описанное – выдумка. Во-первых, странного сообщения лейтенанта Тейлора (на нем основан весь сюжет) не было. Ни одна из радиостанций, имевших связь с бомбардировщиками, не зафиксировала ничего подобного в своих журналах, ни один из людей, находившихся в тот день на аэродроме и слушавших Тейлора во время выхода на связь, не припомнит ничего похожего, и даже высший военный авторитет, командор Виршинг, на которого ссылается Берлицц в данном случае, полностью отрицает, что он когда-либо слышал или говорил что-либо в этом духе.

Самолеты никуда не исчезли в 16.25 вечера, озаренного лучами закатного Солнца, они продолжали свой полет и в более

сумрачный час – в 19.00, когда заштормило, и по морю покатили пенные волны. В составе экипажей были не «все опытные летчики», как пишут в книгах, а молодые курсанты, для многих из которых район полетов является вовсе незнакомым. *Авторитетная комиссия пришла к заключению, что лейтенант Тейлор потерял курс.* Приняв гряду Багамских островов за цепочку островов, расположенных к югу от Флориды и служащих для летчиков постоянным ориентиром, он взял направление северо-восток; таким образом, все 5 самолетов улетали все дальше от базы в Атлантику. После того как в баках кончилось горючее (был шторм и плохая видимость) бомбардировщики разбились при посадке на воду.

Что касается поисково-спасательной группы, она вылетела на самолете, за которым утвердилась кличка «летающая канистра» из-за большого количества горючего, принимаемого на борт. Малейшая искра могла в любую минуту вызвать взрыв. По всей вероятности, именно этой роковой минуте и подошло время: как раз в тот момент, когда самолет исчез из поля зрения радарной установки, следившей за ним, с находившегося в районе полета корабля видели вспышку в небе. И разве, если иметь в виду что, согласно книжной версии, самолет-спасатель вылетел в 16-25 и тут же исчез. А на самом деле он покинул базу лишь в 19 часов можно считать обстоятельства его гибели «странными»?»

Теперь, когда погибшие самолеты, наконец-то, найдены, модно сопоставить выводы и комментарии специалистов с тем, что зафиксировано их расположением на дне. Продолжу цитирование А.Потапова.

«Но вот в марте 1991 года на последний, самый жгучий вопрос тайны гибели самолетов «Эвнджер» ответ был найден. Работавшие от нью-йоркской фирмы Си-Си-Пи искатели подводных сокровищ, отыскивая старый испанский галеон с помощью карликовой субмарины, оборудованной сонаром и телекамерами, неожиданно натолкнулись на обломки пяти торпедоносцев. На одном из них отчетливо видна цифра 28, а это, как подтвердили в командовании ВВС США, номер самолета

лейтенанта Чарльза Тейлора. Таким образом, «Эвенджры» не «улетели на Марс». Фирма Си-Си-Пи и соответствующие военные службы США собираются поднять останки машин и установить истинную причину трагедии.

Однако пока разрешение одного вопроса породило ряд новых, еще более загадочных. Подводный археолог фирмы Си-Си-Пи утверждает: «Четыре самолета лежат на дне неповрежденными, у пятого сломано хвостовое оперение. Они находятся на расстоянии 100 метров друг от друга». А это значит, что *«Эвенджеры» опустились на дно в строгом боевом порядке*. Почему? Как получилось, что, находясь в пределах действия радиолокационных станций Форт-Лодердейла, они не были зафиксированы там? Куда, наконец, подевались летчики? На фотографиях видны целые стеклянные колпаки кабин, но под ними отсутствуют останки людей. Словом, тайна гибели торпедоносцев и «летающей лодки» еще ждет своей разгадки.

Строгий боевой порядок показывает, что пилоты «не заплутались между Багамскими островами и островами Флорида-Кис» («Соц. индустрия» от 17.09.1978), а заканчивали полет вдоль восточного побережья Флориды, т.е. строго в соответствии с летной картой, приближаясь к своей базе, когда и произошло эфирное изменение воздушного пространства. И даже в условиях полного отсутствия внешней ориентации с обезумевшими радиокompасами, с мощным воздействием эфира на психику и разреженности воздуха, пилоты продолжали полет, не потеряв строя, и отклонились к востоку от маршрута, скорее всего, километров на 30-50. Данное отклонение и вывело самолеты в океан.

А это означает, что обстоятельства, обусловившие гибель эскадрильи, были скрыты от общественности, а официальная версия была сфальсифицирована, в первую очередь, потому, что *ни одному слову из докладов экипажа, попавшего в экстремальные условия, не предусмотренные наставлениями и наукой, не поверили*. И комиссия по расследованию, не имея возможности объяснить причины катастрофы, обвинила

лейтенанта Тейлора в потере курса, а остальных пилотов в неопытности, в незнакомстве с районом полета. Официально инкриминировав тем самым руководству базой, вероятно, тому же командору Виршингу, халатное отношение к подготовке пилотов и к проведению полетов.

Но не только официальные органы искажали информацию о гибели эскадрильи Тейлора. В немалой степени этим грешили и авторы многочисленных публикаций, которые старательно подбирали материал, подтверждающий необычные условия пропажи самолетов эскадрильи, подтасовывая его и сдвигая время, присовокупили к ним, например, и гибель «летающей лодки» «Мартин Маринер», которая вылетела на выручку «Эвенджерам» тогда, когда эфир, погубивший эскадрилью, формировался в ураган, вторжение в который и повлекло гибель «Мартин Маринер».

Естественно, что к подобной информации надо относиться с большой долей сомнения. Но есть факты, как отмеченные базой, так и переданные пилотами, совокупность которых невозможно выдумать, и которые сами по себе объединяются в систему и только в системе могут быть истолкованы.

Основным составляющим этой системы является эфир. И именно его воздействие обусловило все особенности завершения катастрофы. Так, радиолокационные станции Форт-Лодерлейла не могли фиксировать приближающуюся эскадрилью только потому, что потоки эфира разрушали структуру радиоволн, по этой же причине была потеряна радиосвязь. Метеоусловия, в которых оказались пилоты, полностью соответствуют тем, которые возникают при истечении эфирных потоков с больших площадей. То, что самолеты расположены в боевом порядке, свидетельствует, что они опустились на поверхность океана и утонули до возникновения урагана, который обязательно разрушил бы их строй, и о том, что пилоты были достаточно опытные и сохранили строй, пилотируя «Эвенджеры» без навигационных средств в условиях искаженной эфирной рефракцией видимости. Об опытности пилотов и умении

реагировать на неадекватные ситуации свидетельствует, по-видимому, отсутствие их в кабинах. Поскольку после приводнения самолеты начали быстро погружаться в воду, что было вызвано вихревыми потоками эфира, их командир, предположив, вероятно, что в аппаратах имеется течь, распорядился покинуть самолеты, а кабины задрать для замедления выхода воздуха и, следовательно, погружения, и перейти на индивидуальные спасательные средства.

Затруднительно объяснить повреждение хвостового оперения самолета. Но ясно, что оно произошло уже после того, как самолет опустился на воду. Оно могло быть результатом случайного столкновения с каким-нибудь плавучим предметом (например, бревном), но могло быть и результатом попадания хвостового оперения в пограничный слой одного из эфирных вихрей, который просто разорвал его.

Приведем перечень авиационных катастроф, происшедших в Бермудском треугольнике в период с 1945 по 1967 гг.:

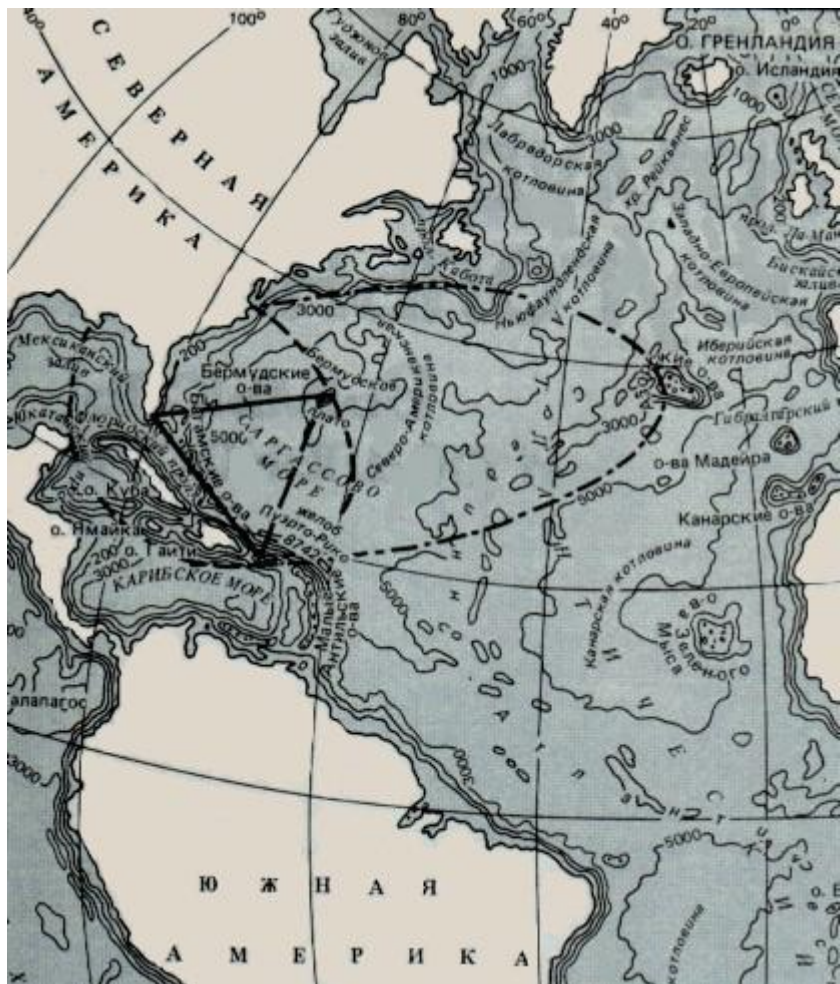
19-е звено «Эвенджер» (1945); «Мартин Маринер» (1945); B-17g Flying Fortress; «Стар Тайгер» (1948); «Дуглас DC-3» («Дакота») (1948); «Стар Эриел» (1949); «Глоубмастер» (1950); «Йорк» (1953); «Супер-Констеллейшн» (1954); «Мартин Марлин» (1956); «KB-50» (1962); «Пайпер Апаш» (1962); две машины «KC-135» (1963); «C-119» (1965); «ЧейсУС-122» (1967) «Бичкрафт-Бонанза» (1967); «Пайпер Апаш» (1967).

Несомненно, общее количество авиакатастроф, происходящих по аналогичным причинам, составляет за всю историю авиации многие десятки и даже сотни. Но при анализе причин катастроф влияние негативных природных факторов не учитывалось, а это значит, что причины не поняты и мер, способных предотвратить развитие будущих событий в нежелательном направлении, принято не было.

Из приведенных лишь нескольких примеров можно сделать вывод о том, что в авиационных происшествиях наиболее часто встречаются ситуации, которые можно охарактеризовать следующим образом:

- падение самолета при взлете или посадке при нормальных метеоусловиях;
- механические эффекты, действующие на самолет и экипаж;
- потеря радиосвязи и отказ авиационной техники;
- воздействие на психику пилотов.

Активность зон может быть разной, и она временами переходит от состояния относительного спокойствия и даже отсутствия к состоянию активности. Это последнее состояние зависит от многих природных факторов и требует дополнительного анализа и выявления корреляции с геологической обстановкой, влиянием космических факторов, влиянием метеорологических факторов, а также корреляции с другими геопатогенными событиями на окружающей территории и на всем земном шаре.



Бермудский треугольник в классической форме (сплошная линия), с частью Карибского моря и Мексиканского залива (пунктирная линия) и наиболее большой вариант - до Азорских островов (штрихпунктирная линия)

Приложение 4. Морские происшествия, связанные с геопатогенным излучением

4.1. Гибель кораблей

Гибель парома «Эстония»

28 сентября 1994 г. в Балтийском море затонул автомобильный паром «Эстония». Исследования привели к выводу, что он наскочил на подводный сейсмотектонический процесс на разломе, над которым он проплывал в тот момент. Судно потопили три отдельных сейсмо-гравитационных удара из недр Земли, ошибочно принятых за взрывы.

Никакой взрыв на большом судне не в состоянии мгновенно его опрокинуть, но это возможно при действии массовых сил, реализующихся при сейсмотектонических процессах. Был всплеск огромной массы воды, который в сочетании с «ударами» или «толчками» легко по ошибке связать с гипотетическими взрывами, на которых настаивают некоторые эксперты. Небольшие суда в эпицентре локальных сейсмо-гравитационных ударов, вызванных извержением энергопотока из глубинного разлома, иногда выплескивает вместе с водой. Море в таких случаях взбугривается, образуя мини-цунами. При этом длинномерные подлодки и танкеры могут деформироваться или даже переламываться из-за градиентных силовых воздействий. Моряков же, как ветром (не простым, а эфирным), сдувало с палубы, и тогда появлялись легендарные «летучие голландцы» и не только в средние века.

«Летучий голландец»

Плавание судов в морях и океанах всегда сопряжено с риском для жизни экипажа, пассажиров и для самих кораблей. Большинство драматических событий на море связано с разбушевавшейся стихией – штормами, смерчами, тайфунами,

цунами. Встречаются аварийные ситуации, которые происходят в отсутствие данных природных явлений, однако сопровождающиеся гибелью людей и судов. Еще более загадочные явления встречаются в морях и океанах – это так называемые «Летучие голландцы», когда судно без команды по воле волн движется, подчиняясь направлению ветра ли морскому течению. Когда и при каких обстоятельствах корабли лишились своих экипажей, куда делись люди – неизвестно.

Промышлявший в 1970 г. в Бермудском треугольнике советский китобой КК-0065 стал таким «летучим голландцем», наскочив на сейсмотектонический процесс, в результате чего 30 человек экипажа, находившиеся на палубе, были сброшены эфирным потоком в океан и утонули. В живых остался один вахтенный матрос в смотровой «корзине»: он повис вниз головой, зацепившись одеждой за что-то сверху. Судно же на всех парах при работающем двигателе продолжало ход в неизвестном направлении, пока его не остановил тот же матрос, придя в себя и отцепившись от крючка. Вскоре подоспела оповещенная им плавбаза. Что произошло с китобоем тогда, в Морфлоте размышляют вот уже 30 лет [1]...

Предположительно события развивались так. Сама трагедия произошла, вероятно, вследствие попадания корабля в зону выхода из-под воды значительного количества сжатого эфира. По-видимому, китобой прошел над участком дна, в котором уже создались условия прорыва эфира из-под земли и работой своих моторов, вибрацией корпуса и винтов спровоцировал выход его в толщу воды. Не исключено также, что эфир уже начал выделяться, и китобой проследовал над будущей воронкой. Возникновение ее происходило как первоначальный локальный прогиб моря, развивающийся в воронку необычной формы. Вахтенные подняли тревогу, обнаружив при фактическом штиле на море беспричинно и быстро нарастающую волну.

События развивались стремительно. Экипаж столкнулся с явлением, которое вообще не предусматривается наставлением по судоводждению и к восприятию которого совершенно не были

подготовлены ни команда, ни ее капитан. Одновременно с нарушением радиосвязи и отказом навигационных приборов началось свечение воздуха, искривление водной поверхности и т. д. Это явление сопровождалось дополнительным воздействием эфирных потоков на психику, возбуждением, чувством всеобщего страха, кессонной болезнью, ужасными болями и нарушением координации. Состояние команды становилось близким к паническому, а отдельных ее членов — к помешательству. Но главное, за кормой «вспухала», догоняя китобой, волна сначала в десятки, затем в сотни, а возможно и более метров. И никто из почти обреченных не мог предполагать, что это явление связано с дифракцией света вследствие изменения коэффициента преломления окружающего пространства.

В этих условиях капитан мог предпринять только одно решение — на ходу спустить шлюпки и на них двигаться навстречу волне в расчете на то, что шлюпки взлетят на гребень и не будут захлестнуты. Оставление китобоя командой было ошибкой и способствовало ее гибели. В этих условиях было необходимо развернуться кормой к воронке, немедленно прибавить ход до максимального, спустить всю команду внутрь судна, задраить все иллюминаторы, люки, вентиляционные и другие отверстия, оставив незадраенной дымовую трубу и выжидать дальнейшего развития событий, удаляясь от места выделения эфира. Естественно, что с каждой минутой китобой все больше и больше погружался бы в воду, но все же оставалась надежда на благополучный исход. И этот исход наступил, но, увы, не для экипажа.

В заметке, описывающей этот случай, ничего не говорится о том, что выяснила «комиссия по расследованию случившегося и к каким выводам она пришла. Следует предположить, что никаких выводов относительно исчезновения экипажа комиссия не сделала и не могла сделать, поскольку не располагала никакой информацией о причинах явления. Но она должна была в какой-

то форме отразить следующие изменения, которые являются последствиями случившегося:

- отставание всех корабельных часов (вследствие изменения упругости их пружин);
- нарушение работы некоторых навигационных приборов;
- положение люков на палубе (открыты или задраены);
- возможные первоначальные попытки раскрепления надпалубных устройств и грузов «по штормовому»;
- отсутствие части спасательных средств;
- отметки в корабельном журнале (последнее предполагает наличие времени для этого и сознательные действия, поэтому проблематично).

И, наконец, подтверждением именно такого развития событий может оказаться дата землетрясения, происшедшем в Западном полушарии в течение двух недель после исчезновения экипажа китобоя КК-0065.

«Удар большой волны» потопил советский теплоход «Комсомолец» в том же Бермудском треугольнике 13 марта 1987г. По свидетельству очевидцев, дело не в шторме, а в необычных явлениях, их сопровождавших. Сначала появился гул, шедший откуда-то издалека, затем образовалась огромная волна, судно медленно накренилось, потеряло ход. Сухогруз проходил в этот момент над «кладбищем кораблей» в районе мыса Гаттерас, известного своими внезапно появляющимися «волнами-убийцами», угробившими здесь множество кораблей за несколько веков.

Приведем список судов – жертв Бермудского треугольника с 1840 по 1973 гг.:

«Розали» (1840); «Белла» (1854); «Мэри Селест» (1872); «Атланта» (1880); «Эллен Остин» (1881); «Фрея» (1902)4 «Спрей» (1909); «Циклоп» (1918); «Кэрролл А.Диринг» (1921); «Райфуку-мару» (1925); «Котопакси» (1925); «Судуффко» (1926); «Ставенгер» (1931); «Джон энд Мэри» (1932); «Ла Дахама» (1935); «Протеус» (1941); «Нереус» (1941); «Рубикон» (1944); «Сити Белл» (1946); «Дрифтвуд» (1948); «Сандра» (1950);

«Саутерн Дстрикс» (1954); «Коннемара IV» (1955); «Ривонк» (1958); «Марин Салфер Куин» (1963); «Сно'Бой» (1963); «Уичкрафт» (1967); «Скорпион» (подв. лодка) (1968); «Тинмут Электрон» (1969); «Лодка Билла Верити» (1969); «Джилли Бин» (1971); «Эль Кэриб» (1971); «В.А.Фогг» (1972); «Норт Вэриент» (1973); «Анита» (1973); «Линда» (1973).

Интересно отметить, что рельеф дна в Бермудском треугольнике существенно отличается от рельефа дна в других местах океана. Этот район исследован очень хорошо, и здесь было проведено множество бурений и геофизических исследований. Течения, температура воды, ее соленость и движение воздушных масс над океаном – это явления и процессы, о которых написаны тысячи страниц, результат исследований многих экспедиций.

В Бермудском треугольнике обнаружены следующие формы рельефа морского дна: абиссальные равнины (35%), шельфы с мелководными банками (25%), материковый склон (18%), краевые и срединные плато (15%), глубоководные желоба (5%), глубокие проливы (2%). Здесь указаны относительные площади образований.

В Бермудском треугольнике в восточной и северной его част и расположены несколько подводных гор, представляющие собой конусы более или менее правильной формы. Они возвышаются над плоскостью дна на 150-200 м и выше. Некоторые подводные горы прячут вершины глубоко под водой, другие выступают над поверхностью в виде островов. В этом же районе располагается глубоководный желоб Пуэрто-Рико глубиной 8742 м и длиной 1550 км. Это одновременно и максимальная глубина Атлантического океана. Но он расположен в непосредственной близости к Багамским банкам, глубина районе которых составляет в среднем всего лишь несколько метров.

С востока в пределы Бермудского треугольника «вторгается» окутанное легендами Саргассово море. В нем огромное количество свободно плавающих морских водорослей *Sargassum*, суммарный вес которых составляет от 4 до 11 млн. т. Уровень

Саргассова моря на 1-2 м. выше прилегающих к нему с востока и юга районов океана. Объясняется это тем, что в Саргассово море со всех сторон нагоняется вода, которая затем растекается по дну моря. Вокруг моря наблюдается постоянный кругооборот вод.

Весьма большая часть Бермудского треугольника часто подвергается ударам тропических циклонов, в которых скорость ветра достигает от 34 до 80 м/с. Тропические циклоны относятся к числу самых страшных стихийных бедствий, на их счету десятки тысяч жертв, и Бермудский треугольник – это один из крупнейших в мире районов действия этих циклонов. В нем часто бывают и морские торнадо – небольшие, но исключительно мощные атмосферные вихри. Здесь постоянно дуют пассаты и часто бывают сильные штормы.

Таким образом, хотя все отдельные природные явления как-то можно объяснить, вся их совокупность говорит о том, что Бермудский треугольник – место необычное, и должна существовать какая-то первопричина, следствием которой и являются все эти явления.

Гибель танкера «Находка»

От серии сейсмогравитационных ударов 1 января 1997 г. в Японском море погиб танкер «Находка». В результате последнего удара вместе с массой воды в воздух поднялся черный столб мазута из самого танкера, после чего он переломился. При этом в атмосфере над танкером и за бортом наблюдалось свечение, что является одним из главных признаков сейсмотектоники. Шторм же здесь, скорее, дополнительный признак тектонической активности, нежели причина деформации корабля, хотя, разумеется, штормовые волны не способствуют целостности судна и вообще безопасности плавания. И снова сейсмогидродинамический процесс в виде мини-цунами принимается морскими специалистами, расследовавшими аварию, за некую мистическую «суперволну» из числа тех, что регулярно топят корабли.

Больше повезло советскому торговому судну, шедшему в Индийском океане из Одессы в Сингапур. Член экипажа Алексей Лучин рассказал следующее.

«Как-то в конце 70-х годов мы шли из Одессы. Погода была нормальная, почти штилевая. Вдруг штурвальный сыграл «полундру». Выбежав на палубу, мы увидели, как впереди, прямо по курсу в нескольких километрах вздыбился океан. Образовался высоченный столб воды, а вокруг волны – выше парохода. Мне приходилось плавать во время штормов, когда еще служил в ВМФ, да и этим маршрутом ходили не один раз, но такое увидел впервые. Капитан отдал команду изменить курс и обойти опасное место, на что ушло полдня хода. Окажись мы в эпицентре этого явления – пошли бы на съедение акулам. Что это было – мы так и не поняли.

Гибель линкора «Новороссийск»

В предельных случаях сверхплотные сгустки энергии способны даже «пробивать» или «прожигать» преграды. Не им ли обязан своей гибелью линкор «Новороссийск», взорвавшийся 29 октября 1955 г. в сейсмогенной Севастопольской бухте? Для проверки этого предположения достаточно проанализировать данные по метеообстановке, сейсмическому и микросейсмическому режиму Крымского полуострова на день аварии.

Советский военно-морской флот получил этот корабль, носивший имя «Джулио Чезаре» («Юлий цезарь») в счет репараций от побежденной Италии. После переименования корабль нес боевую службу на Черноморском флоте.

Трагедия произошла в ночь на 29 октября 1955 года на якорной стоянке в Севастополе. Мощный подводный взрыв, прогремевший в носовой части корабля, сразу же унес жизни 170 моряков, спавших в расположенных там кубриках.

Через 2 часа 45 минут линкор, приняв внутрь огромной – длиной в 15 и высотой в 18 метров – пробоины в днище

несколько тысяч тонн заборной воды, потерял остойчивость и опрокинулся вверх килем, а затем затонул.

После переворота и затопления линкора в его задраенных боевых помещениях осталось около 400 моряков, до конца находившихся на боевых постах, обслуживая корабельные механизмы и препятствуя распространению воды. Многие из них погибли, десятки оказались заживо погребенными в стальных линкоровских отсеках, где образовались «воздушные мешки».

Погружавшийся на дно корабль содрогался от отчаянного стука в стены и переборки – моряки пытались привлечь внимание спасавших. Удалось вызволить лишь 9 человек.

По официальным сведениям, взрыв на «Новороссийске» унес жизни 599 матросов, старшин и офицеров экипажа. Из числа тех, кто пришел на помощь линкору, также погибли 27 человек с крейсера «Михаил Кутузов», 5 – с крейсера «Молотов», по 4 – с крейсеров «Дзержинский» и «Керчь», по одному моряку с крейсера «Куйбышев» и эскадренного миноносца «Бессменный», 3 человека со спасательного судна «Карабах» и 13 – из состава штаба эскадры и органов управления Черноморского флота.

До сих пор вся информация о происшедшем на линкоре «Новороссийск» не рассекречена.

Следует обратить внимание на воспоминания оставшихся в живых моряков с линкора «Новороссийск». Все участники этого события накануне трагедии ощущали необычное состояние – тревожное состояние предчувствия беды, угнетенное состояние развивалось с вечера 28 октября на фоне багрового заката. Схожие признаки проявились у школьников младшего класса одной из школ в Спитаке за несколько минут до Спитакского землетрясения. Учительница вывела весь класс во двор школы, и через несколько минут школа была разрушена полностью.

Сегодня уже понятно, что болезненная психологическая реакция человека была обусловлена мощным воздействием геофизических полей на нервную систему. Это было предвестником надвигающейся катастрофы.

Гибель линкора «Императрица Мария»

Здесь следует вспомнить и гибель в том же месте линкора «Императрица Мария» 20 октября 1916 г., не расследованную и поныне [2]. И хотя событие 1916 г., скорее всего, связано с диверсией, тем не менее, было бы полезно провести параллельное исследование обстоятельств обеих катастроф по архивным сейсмограммам и метеоданным.

Комиссия, сопоставив показания командира, офицеров и нижних чинов об обстоятельствах гибели корабля «Императрица Мария», пришла к следующим заключениям (печатается в значительном сокращении)

«7 октября 1916 г., приблизительно через четверть часа после утренней побудки, нижние чины, находившиеся поблизости с первой носовой башней, услышали особое шипение и заметили вырывающиеся из люков и вентиляторов около башни, а также из амбразур башни дым, а местами и пламя. Одни из них побежали докладывать вахтенному начальнику о начавшемся под башнею пожаре, другие, по распоряжению фельдфебеля, раскатали пожарные шланги и, открыв пожарные краны, стали лить воду в подбашенное отделение.

Пробили пожарную тревогу. Но через 1,5 или 2 минуты после начала пожара внезапно произошел сильный взрыв в районе носовых крюйт-камер, содержащих 12-дюймовые заряды, причем столб пламени и дыма взметнуло на высоту до 150 сажен (300 м). Этим взрывом вырвало участок палуб позади первой башни, снесло переднюю трубу, носовую рубку и мачту. Множество нижних чинов, находившихся в носовой части корабля, было убито, обожжено и сброшено за борт силою газов. Паровая магистраль вспомогательных механизмов была перебита, электрическое освещение потухло, пожарные насосы прекратили работу.

В районе позади носовой башни образовался как бы провал, из которого било пламя и сильный дым, прекратившие сообщения с носовой частью корабля.

По записи в журнале линкора «Евстафий» развитие пожара на линкоре «Императрица Мария» представляется так:

6 ч. 20 мин. На линкоре «Императрица Мария» большой взрыв под носовой башней.

6 ч. 25 мин. Последовал второй взрыв, малый.

6 ч. 27 мин. Последовали два малых взрыва.

6 ч. 30 мин. Последовал один взрыв. Спустили гребные суда и послали к «Марии».

7 ч. 00 мин. Один взрыв. Портовые катера начали тушить пожар.

7 ч. 02 мин. Один взрыв. «Императрица Мария» начала погружаться носом.

7 ч. 08 мин. Один взрыв. Форштевень ушел в воду.

7 ч. 12 мин. Нос «Марии» сел на дно.

7 ч. 16 мин. «Мария» стала крениться и легла на правый борт».

Переходя к рассмотрению возможных причин возникновения пожара в крыйт-камере, комиссия остановилась на следующих трех:

1) самовозгорание пороха (комиссия сочла это маловероятным);

2) небрежность в обращении с огнем и порохом (комиссия и это сочла маловероятным);

3) злой умысел (здесь комиссия отметила отступления от требований устава по отношению к доступу в крыйт-камеры).

Фактически реальные причины катастрофы определены так и не были.

Следует отметить, что Севастопольская бухта в геолого-геофизическом плане оказывается очень напряженной, что и проявляется в создании аварийных ситуаций и катастроф. Косвенным подтверждением может служить авария на дизельной ПЛ 22 августа 1957 г. на Черном море у Крымского полуострова – поступление воды в дизельный отсек через незакрытую захлопку. Пожар, лодка затонула... Погибших нет. В этом случае мог сработать гравитационно-динамический фактор – открытие

захлопки и ионизирующее воздействие энергопотока, способствовавшего возникновению пожара.

Известны примеры гибели и других крупных кораблей. Так летом 1913 г. в точке с координатами $76^{\circ}24'$ с.ш. $53^{\circ}46'$ в.д. между Землей Франца-Иосифа и Новой Землей. Погиб английский дредноут «Елизавета Третья». Судно исчезло в огромном бешеном водовороте.

4.2. Гибель подводных лодок

Подводные лодки, как и надводные корабли, испытывают гидродинамические удары, после чего, как правило, и начинаются аварии [3-5].

10 апреля 1963 г. в результате таинственного взрыва затонула АПЛ «Трешер» ВМС США. Лодка покоится на крутом борту Северо-Американской котловины, одного из опаснейших мест у восточного побережья Америки. В акваториях морей, где имеют место резкие перепады рельефа дна, регулярно происходят подводные землетрясения или моретрясения. Именно моретрясение и послужило причиной гибели «Трешер», доказательством чему служит тот факт, что перед взрывом лодки был гул. Корпус огромной субмарины сначала загудел, завибрировал, а уж потом последовал взрыв.

То же самое произошло и с американской подлодкой «Скорпион», затонувшей 21 мая 1968 г. над Северо-Атлантическим хребтом, юго-западнее Азорских островов.

24 февраля 1972 г. в Северной Атлантике в районе Ньюфаундлендской котловины при сходных обстоятельствах потерпела аварию советская подводная лодка АПЛ К-19.

Участник похода рассказал:

«На очень большой глубине за полчаса до подъема произошла авария. В девятый отсек, там каюты личного состава, рванул под большим давлением факел. ...Девятый отсек горел, восьмой горел, седьмой был загазован, температура в нем за сотню градусов. Шестой отсек был загазован, пятый отсек

затоплен и загерметизирован. Любая попытка перейти из десятого отсека в центральный пост вела к смерти. Чудом сохранилась связь благодаря огромному телефону двусторонней связи. Над этим телефоном смеялись – чудо образца 1916 года на атомоходе... Но это «чудо» работало помимо телефонной станции и без источников питания: для вызова абонента надо было крутить ручку магнето...».

Таинственные удары по корпусу, предварявшие и сопровождавшие аварийные ситуации, отмечены во многих случаях. Так два сильнейших гидроудара по корпусу подводной лодки АПЛ К-8 были нанесены ей 12 апреля 1970 г. в Бискайском заливе. Пожар возник сразу в нескольких (!) не сопредельных отсеках, что невозможно без воздействия какого-то общего внешнего фактора. Экипаж спасся, но лодка затонула.

6 октября 1986 г. в районе Бермудских островов погибла советская атомная подводная лодка К-219. По официальной версии лодка погибла от проникновения воды извне, утечки ракетного топлива, пожара сразу в нескольких отсеках и одновременно возникшей проблемы с ядерным реактором. Однако, по заключению той же комиссии, все это было лишь следствием какого-то внешнего воздействия. Но какого именно – комиссия установить не смогла.

Из воспоминаний бывшего врача К-219 И.Кочергина:

«Это была моя первая командировка после окончания института. Все началось рано утром 3 октября 1986 г., когда лодка находилась в нескольких сотнях километров от Бермудских островов. Я был уже на ногах, когда резкий удар подбросил меня почти на метр вверх. Тут же зазвучал сигнал аварийной тревоги и команда применить индивидуальные средства защиты. Затем секунд пятнадцать подлодка погружалась очень быстро, почти камнем. В моем отсеке ухудшилась видимость, появился оранжевый туман. Я ощутил жжение и сухость в горле – симптомы отравления»

Видимо именно этот таинственный удар, подбросивший врача на метр от палубы, деформировал и разгерметизировал

субмарину, а заодно вызвал короткое замыкание в высоковольтных узлах электрического оборудования. Дело в том, что плотные энергопотоки из недр Земли, порождающие гравитационные импульсы (удары) и гидроудары, вызывают, кроме того, ионизацию сред. И если в воздухе присутствуют легко воспламеняющиеся газы, например, водород, пары топлива, масел и т.п., возгорание неизбежно. Более того, из-за ионизации воздуха и пониженного электрического сопротивления воздушных зазоров в высоковольтных узлах и схемах могут возникать электрические замыкания.

Возвратимся к аварии на АПЛ К-219.

...После почти 15-часовой изнурительной борьбы за живучесть лодки поступил тревожный сигнал из седьмого – реакторного отсека. Туда тоже проник ядовитый туман, кроме того, лопнул один из паропроводов, и вырубилось освещение. Дабы избежать теплового взрыва реакторов, их требовалось заглушить. Но вышла из строя система дистанционного управления энергетической установкой. Не удалось подать питание основных и резервных источников на приводы поглощающих компенсирующих решеток (ПКР), заглушающих реакторы. В любой момент два ядерных реактора могли пойти в разгон. Выручить могли только двое: командир группы старший лейтенант Николай Беликов и специальный трюмный машинист матрос Сергей Пеминин. Лишь они, запертые в корме, способны были вручную обуздать ядерные реакторы. И эти двое не дали случиться катастрофе.

«В целях обеспечения ядерной безопасности реактора для ручного опускания его компенсирующих решеток в седьмой отсек трижды вводились специалисты электромеханической боевой части», сдержано сообщается в официальном отчете.

Через 77 часов 33 минуты АПЛ К-219 затонула 6 октября 1986 г. в 480 милях северо-восточнее Бермудских островов.

В 1999 г. подо льдами Северного Ледовитого океана из-за тектоники едва не погибла военная исследовательская подводная лодка «Хоукбилл» ВМС США. Во время обследования

арктического дна в районе хребта Гаккела севернее Земли Франца-Иосифа судно претерпело моретрясение. Сначала на борту зафиксировали сильный гул, шедший из глубины. Потом лодку «неведомой силой» начало бросать то вверх, то вниз... Видимо, научное судно оказалось вне эпицентра землетрясения, поэтому удалось избежать серьезной аварии.

Материалы по некоторым авариям и гибели подводных лодок приведены в частности в книге [3]. Из 17 случаев аварий, происшедших в период с 1956 по 2000 гг., закончившихся гибелью субмарин и людей, только один случай с дизельной лодкой С-178 произошел по очевидной причине: она была разрезана рефрижераторным судном. Во всех остальных случаях аварии сопровождались пожарами и поступлениями воды внутрь судна, но точно определить причины этого не представилось возможным.

Подводные суда в акватории Северной Атлантики и впредь будут гореть, взрываться и тонуть, потому что «бермудские треугольники», «бискайские заливы», «ньюфаундлендские банки». «исландские разломные пупки», «канарские котловины» и, конечно же, сам Северо-Атлантический хребет – это объекты, по которым происходит вечное раздвижение (спрединг) океанического дна. Плавать над такими объектами, готовыми в любой момент генерировать сейсмические импульсы и исторгать миллиарды джоулей глубинной энергии, следует с большой осторожностью, как при ходьбе по минному полю.

Но подобные же аварии могут случаться и в других местах.

АПЛ «Курск» затонула 12 августа 2000 г. в 18 ч 30 мин в южной акватории Баренцева моря в районе юго-восточной тектонической структуры, называемой Кольской микроплитой (КМП) [6, 7]. Эта плита рассечена серией крупных разломов широтного простираения, непосредственно на одном из которых покоилась АПЛ с координатами 69.38 С, 37.18 В. Данный тектонический разлом, как и другие разломы КМП несет следы современных сбросо-сдвиговых тектонодеформаций, маркирующихся даже на поверхности осадочного чехла.

Геоморфология дна КМП, в том числе и места гибели лодки, характеризуется уступами и сдвигами вдоль осей разломов, исчисляемыми, соответственно, десятками метров и километрами. Это указывает на геодинамическую и, следовательно, потенциальную сейсмическую активность КМП в современную эпоху.

В течение мая – августа 2000 г. в акватории северных морей наблюдалась повышенная циклоническая активность, сопровождающаяся почти непрерывными штормами. Циклоны и штормы являются однозначным индикатором тектонического возбуждения в том или ином районе мирового океана. Не случайно в этот период было зарегистрировано множество землетрясений различной мощности. В день аварии был зарегистрирован толчок магнитудой М4 с эпицентром в Норвегии. Разумеется, данное событие не имеет непосредственного отношения к аварии на «Курске», тем более, что оно произошло позже. Однако оно лишний раз указывает на тектоническую активность в тот день не только Скандинавского полуострова, но и, в первую очередь, акватории сопредельных морей, поскольку тектонические деформации, генерирующие сейсмику, всегда распространяются в направлении море – континент. Поэтому, если 12 августа произошло ЗТ в Норвегии, то в тот день в окружающих ее морях (Балтийском, Норвежском, Баренцевом и др. должно было произойти множество хотя бы маломощных, так называемых локальных землетрясений, не всегда даже регистрирующихся береговыми сейсмостанциями. Явным признаком тектонического обострения района катастрофы являются циклон и, как следствие, начавшийся в день аварии шторм в Баренцевом море.

Вполне вероятно, лодка напоролась на подводный сейсмический толчок. Поскольку глубина моря здесь существенно меньше длины ее корпуса и, с учетом поперечного размера судна, запас глубины от днища составлял всего около 65 м, то даже небольшой дифферент мог привести к тому, что лодка на полном ходу ткнулась носом в морское дно. До подъема

«Курск» покоем, как известно, на глубине 108 м., в то время как в нескольких километрах к югу рельеф дна понижается до 170 м. Это указывает на то, что перед аварией лодка проплывала над многометровым склоном дна моря, вне всякого сомнения, тектонического происхождения. Позже, когда стали известны более точные координаты места гибели АПЛ, на тектонической карте Баренцева моря была однозначно установлена приуроченность данного геоморфологического элемента к мощному глубинному разлому. Наше предположение заключается в том, что данный тектонический разлом мог явиться источником сейсмо-гравитационного удара подводного ЗТ, погубившего «Курск» [5, 6].

Используя ограниченные сведения из СМИ о характере разрушений внутри АПЛ, можно также высказать предположение и о том, что внутри лодки «хозяйничал» плазмоид типа шаровой молнии, обладающей высокой плотностью энергии, превышающей плотность энергии известных химических источников, например, тротила, в сотни раз.

При анализе обстоятельств гибели АПЛ «Курск» выдвигалась версия о ее столкновении с другой подводной лодкой, национальная принадлежность которой не была определена. Но и здесь мог иметь место не злой умысел, а стечение обстоятельств, т.е. сейсмическому удару подверглась эта вторая лодка, а столкновение было следствием этого удара. Возможно, что удару подверглись обе лодки, находящиеся вблизи друг друга. Тогда эфирный выброс, прошедший между лодками, должен был создать силы, сближающие их.

Геофизическая версия причины гибели «Курска» должна рассматриваться наряду с другими, сугубо техническими. Но даже если эта версия окажется неверной, тем не менее, ее изучение будет полезно, поскольку сеймотектонический фактор аварийности на морском флоте никогда ранее не рассматривался.

Приведем некоторые другие примеры гибели подводных лодок.

8.04.1970 г. Бискайский залив, 300 миль к северо-западу от Испании. Атомная торпедная лодка К-8 в результате неожиданно возникшего пожара в 3-м и 7-м отсеках затонула из надводного положения.

6.10. 1986 г. в 470 милях северо-восточнее Бермудских островов в результате пожара и взрыва из надводного положения затонула атомная ракетная лодка К-219.

С появлением подводного флота и особенно атомного, казалось бы, можно избежать катастроф на поверхности, уйдя на достаточную глубину и находиться в подводном положении и в движении достаточно длительное время. К сожалению, подводный флот также несет потери экипажей и субмарин. Расследование гибели морских судов и подводных лодок, проводящееся с целью определения причин катастроф или лиц, в ней виновных, всегда проводится в системе «человек-машина», и в этих рамках пытаются вскрыть причины аварийных ситуаций и катастроф. На самом деле, расследование морских происшествий должно учитывать и природный фактор, важнейшим из которых является эфиродинамическая и сейсмическая активность акваторий [7]

Литература

К введению

1. **Ацюковский В.А.** Материализм и релятивизм. Критика методологии современной теоретической физики. М.: Энергоатомиздат, 1993.
2. **Ацюковский В.А.** Философия и методология современного естествознания. М.: «Петит», 2005.
3. **Ацюковский В.А.** Логические и экспериментальные основы теории относительности. М.: изд-во МПИ, 1990; Критический анализ основ теории относительности. Жуковский: «Петит», 1996.
4. **Ацюковский В.А.** Диалектический и исторический материализм и современность. М.: «Петит», 2005.
5. **Васильев В.Г.** Накануне рождения Естествознания XXI века. М.: «Белые альвы», 2002.

К главе 1. Геопатогенные явления на поверхности Земли

1. **Мельников Е.К.** и др. Геопатогенные зоны – мифы или реальность? С.-Пб., 1993.
2. **Дубров А.П.** Земное излучение и здоровье человека. М., 1992.
3. **Васильев В.Г.** Накануне рождения Естествознания XXI века. М.: «Белые альвы», 2002.
4. **Барковский Е.В.** Сейсмика как фундаментальное явление природы. Тезисы выступления на проблемном Совете. М., 27.01.2000.
5. **Барковский Е.В.** Природно-техногенные катастрофы на русской равнине 80-х – 90-х гг. в геофизическом аспекте. Тезисы выступления на Симпозиуме, г. Зеленоград, 31.03.00.
6. **Черняев А.Ф.** Камни падают в небо. От Тунгусского взрыва до авиакатастрофы в Междуреченском. М.: «Белые Альвы», 1995.
7. **Черняев А.Ф.** Камни падают в небо или вещественный эфир и антигравитация. М.: «Белые Альвы», 1999.

8. **Яницкий И.Н.** Живая Земля. Новое в науках о Земле. М.: «Агар», 1998.

9. **Яницкий И.Н.** К тайне Всемирного Потопа. М.: «Гелиос», 2001.

К главе 2. Эфиродинамическая картина мира

1. **Ацюковский В.А.** Общая эфиродинамика. Моделирование структур вещества и полей на основе представлений о газоподобном эфире. Изд. 2-е. М.: Энергоатомиздат, 2003, 584 с.

2. **Ацюковский В.А.** 12 экспериментов по эфиродинамике. М.: «Петит», 2004.

3. **Блинов В. Ф.** Растущая Земля: из планет в звезды. М.: УРСС, 2003.

4. **Carey S.W.** The expanding Earth. Amsterdam, Elsevier, 1976. 548 p.

5. **Carey S.W.** Theories of the Earth and Universe. A history of dogma in the Earth science. Stanford University Press, Stanford, California, 1988, 414 p.

6. **Белоусов В.В.** Рифтов Мировая система. БСЭ 3-е изд. М.: «Советская энциклопедия», 1975. Т. 22, с. 141.

7. **Яницкий И.Н.** Новое в науках о Земле. Живая Земля. М.: «Агар», 1998.

8. **Яницкий И.Н., Коробейник В.М., Сазонова Т.В.** Отображение разломов земной коры в полях гелия. М.: Геотектоника, 1975, № 6, с. 80-90.

9. **Эфирный ветер.** Сб. ст. под ред. д.т.н. В.А.Ацюковского. М.: Энергоатомиздат, 1993.

10. **Miller D.C.** Phys. Rev. 1922. Vol. 19. P. 407–408; Proc. Nat. Acad. Amer. 1925. Vol. 11. № 6. P. 306–314; Science. 1925. Vol. 6/1 № 1590. P. 617–621. **Миллер Д.К.** Эфирный ветер. Доклад, прочитанный в Вашингтонской академии наук. УФН, 1925. Т. 5. С. 177–185; [4, с. 62–71].

11. **Miller D.C.** Significance of the ether-drift experiments of 1925 at Mount Wilson. Science. 1926. Vol. 68. № 1635. P. 617-621.

Миллер Д.К. Значение экспериментов по обнаружению эфирного ветра в 1925 г. на горе Маунт Вилсон [4, с. 71–95].

12. **Conference on Michelson-Morley experiments.** The Astrophysical J. 1928. Vol. 68, № 5. P. 34–402. **Конференция по эксперименту Майкельсона-Морли**, состоявшаяся в обсерватории Маунт-Вилсон. Г. Пасадена, Калифорния, 4 и 5 февраля 1927 г. [4, с. 112–173].

13. **Miller D.C.** The ether-drift experiment and the Determination of the Absolute Motion of the Earth. 1933. **Миллер Д.К.** Эксперимент по эфирному ветру и определение абсолютного движения Земли [4, с. 185–259].

14. **Michelson A.A., Peas F.G., Pirson F.** Repetition of the Michelson-Morley experiments. J. of the Optical Society of America. 1929. Vol. 18. № 3. P. 181–182; **Майкельсон А.А., Пис Ф.Г., Пирсон Ф.** Повторение эксперимента Майкельсона-Морли. [4, с. 177–178]

15. **Pease F.G.** Ether drift data. Astron. Soc. of t. Pacific. S.-Fr. Calif. Aug. 1930. V. XLII, N 248, p. 197–202; **Пис Ф.Г.** Данные о движении эфира [4, с. 179–185].

16. **Ю.М.Галаев.** Эффекты эфирного ветра в опытах по распространению радиоволн. Радиофизика и электроника. Т5, № 1. С. 119–132. Харьков: Нац. АН Украины. 2000.

17. **Шпитальная А.А.** О пространственной несимметрии нестационарных процессов в Солнечной системе// Развитие методов астрономических исследований. М. – Л.: ВАГО АН СССР, 1979. С. 538–542.

18. **Шлихтинг Г.** Теория пограничного слоя: Пер. с нем./ Под ред. Л.Г.Лойцянского. М.: Наука, 1974.

19. **Белов М.И.** Антарктида. БСЭ 3 изд. М.: «Советская энциклопедия», 1970. Т. 2, 1970. С. 50-55.

К главе 3. Некоторые особенности строения Земли и эфиродинамика

1. **Шмидт О.Ю.** Избр. труды. Геофизика и космогония. М., 1960.

2. **Рингвуд А.Е.** Состав и петрология мантии Земли. Пер. с англ. М.: «Недра», 1970.

3. **Еремеев А.Н., Осипов Ю.Г., Щербаков Д.М., Яницкий И.Н. и др.** Открытие № 68 «Закономерность распределения концентраций гелия в земной коре» с приоритетом от 30 декабря 1968 г. Государственный реестр открытий СССР, 1968-1969. М., 1970

4. **Гончаров Н.Ф., Морозов В.С., Макаров В.А.** Земля – большой кристалл? Химия и жизнь № 3, 1974. С. 34-38.

5. **Белякова Г.С.** Какая ты, Земля? «Русская мысль», 1993, № 1-2, с. 147-160.

6. **Эфирный ветер.** Сб. переводов статей под ред. д.т.н. В.А.Ацюковского. М.: Энергоатомиздат, 1993.

7. **Джозеф Д.** Устойчивость движений жидкости. Пер. с англ. М.: Мир, 1981.

8. **Чижевский А.Л.** Земное эхо солнечных бурь. М.: «Мысль», 1976.

9. **Ацюковский В.А.** Общая эфиродинамика. Моделирование структур вещества и полей на основе представлений о газоподобном эфире. Изд. 2-е. Гл. 11. Эфир и космология. М.: Энергоатомиздат, 2003. С. 515-533.

10. **Ацюковский В.А.** Современные исследования эфирного ветра. М.: «Петит», 2003.

11. **Елагина В.Я.** Лунный календарь земледельца на 2002 год. М.: Изд. Дом МСП, 2002.

12. **Ржеплинский Г.** Особенности приливообразования в атмосфере и погода. В сб. Агроэкологические ресурсы (изменчивость и прогнозирование), 1990.

13. **Ржеплинский Г.** Самсонов день и погода на лето. Знание – сила № 6, 1991, с. 74-78.

К главе 4. Физика геопатогенных излучений

1. **Ацюковский В.А.** Общая эфиродинамика. Моделирование структур вещества и полей на основе представлений о

газоподобном эфире. Изд. 2-е. Гл. 11. Эфир и космология. М.: Энергоатомздат, 2003. С. 515-533.

2. **Ацюковский В.А.** Эфиродинамические гипотезы. М.: «Петит», 2000, 2005.

3. **Черняев А.Ф.** Камни падают в небо. От Тунгусского взрыва до авиакатастрофы в Междуреченском. М.: «Белые Альвы», 1995.

4. **Черняев А.Ф.** Камни падают в небо или вещественный эфир и антигравитация. М.: «Белые Альвы», 1999.

5. **Масайтис В.Л. , Мащак М.С., Наумов М.В.** Пучеж-Катунская астроблема: модель гигантского импактного кратера. *Астрономический вестник* 1996, Т. 30, № 1 с 5-13.

6. **Дмитриев А.Н.** Изменения в Солнечной системе и на планете Земля. 2-е изд. М.: «Белые Альвы», 2001.

К главе 5. Некоторые методы обнаружения и нейтрализации геопатогенных зон

1. **Башорин В.Н. и др.** Методические рекомендации по применению гелиометрических исследований масштаба 1:200000 и крупнее для выбора промплощадок под ответственные инженерные сооружения. М.: ВИМС, 1991.

2. **Азроянц Э.А., Харитонов А.С., Яницкий И.Н.** Способ обнаружения возможности наступления катастрофических явлений. Роспатент № 2030769. Приоритет от 16 ноября 1992 г.

3. **Ацюковский В.А.** Общая эфиродинамика. Моделирование структур вещества и полей на основе представлений о газоподобном эфире. Изд. 2-е. Гл. 10. Гравитационные взаимодействия. М.: Энергоатомздат, 2003. С. 448-480.

4. **Ацюковский В.А.** Нейтрализация геопатогенных зон в квартирах и рабочих помещениях. Жуковский: «Петит», 2003.

5. **Ацюковский В.А.** 12 экспериментов по эфиродинамике. М.: «Петит», 2001.

К приложению 1. Геопатогенные происшествия на поверхности Земли

1. **Алексеев И., Селиванов Л.** Крест Москвы. За гармонию и безопасность жизни, №3. 2000. С. 24.
2. **Яницкий И.Н.** Новое в науках о Земле. М.: Гелиос, 2001.
3. **Яницкий И.Н.** К тайне Вемирного потопа М.: «Гелиос», 2001.
4. **Георгиевский В.** Следов взрывчатки нет. «Известия» от 31.07.1991.
5. **Савельев Г.** Буря, скоро грянет буря. М.: «Новый век», 2000, с. 17 – 25.
6. **Барковский Е.В.** У москвичей земля уходит из-под ног. «Вечерняя Москва» от 28.01.1999.
7. **Барковский Е.В.** Чернобыльский толчок. «Новые известия» от 15.04.1999.
8. **Барковский Е.В.** Московский разлом. «Новые известия» от 19.03.1999.
9. **Новиков И.И. и др.** Ищите землетрясение. Экономическая газета № 19, май 200.
10. **Киселев А., Чечеров К.** Процесс разрушения реактора на Чернобыльской АЭС. Бюллетень по атомной энергии, 10/2001, с. 20; 11/2001, с. 40.
11. **Киселев А.Н.** Сколько ядерного топлива осталось в разрушенном энергоблоке Чернобыльской АЭС? Бюллетень по атомной энергии, 4/2002, с. 14.
12. **Гаврилин Ю.** Вокруг процесса разрушения реакторов на Чернобыльской АЭС и конструктивности критики. Бюллетень по атомной энергии, 11/2004 С. 50-55.
13. **Страхов В.Н. и др.** Сейсмические явления в районе Чернобыльской АЭС. Геофизический журнал НАН Украины, т. 19, № 3, 1997, с. 3-15.
14. **Аптикаев Ф.Ф. и др.** О сейсмическом событии 26 апреля 1986 года в районе Чернобыльской АЭ. Физика Земли, № 3, 2000, с. 75-80.

15. **Шахпаронов И.М.** Применение неориентированных контуров при генерации шаровых молний в лабораторных условиях. Шаровая молния в лаборатории. М.: «Химия», 1994, с. 184-198.

16. **Телетов Г.С.** О природе шаровой молнии. Там же, с. 247-256.

17. **Дмитриев А.Н.** Изменения в Солнечной системе и на планете Земля. Изд. 2-е. М.: «Белые альвы», 2001.

К приложению 2. Транспортные происшествия, связанные с геопатогенным излучением

1. **Дмитриев А.Н.** Изменения в Солнечной системе и на планете Земля. 2-е изд. М.: «Белые Альвы», 2001. С. 34-36.

2. **Чернобров В.** Проклятые километры. «Может быть» от 6 января 1998 г.

3. **Чернобров В.** Энциклопедия загадочных мест России. М.: «Вече», 2004.

4. **Чернобров В.** Энциклопедия загадочных мест Мира. М.: «Вече», 2004.

К приложению 3. Авиационные происшествия, связанные с геопатогенным излучением

1. **Яницкий И.Н.** К тайне Всемирного потопа. М.: «Гелиос», 2001

2. **Яницкий И.Н.** Новое в науках о Земле. М.: АГАР, 1998.

3. **Черняев А.Ф.** Авиакатастрофы. М.: Межд. Ак. Информ., 1996.

К приложению 4. Морские происшествия, связанные с геопатогенным излучением

1. **Черняев А.Ф.** Авиакатастрофы. М.: Межд. Ак. Информ., 1996. С. 110-125.

2. **Осипов Г.А.** Гибель линкора «Императрица Мария». «Энергия: Экономика, техника, экология» № 8, 2001, с. 66.

3. **По следам подводных катастроф** (сб. статей, составитель С.П.Букань) М.: «Гильдия мастеров» 1992.

3. **Лоджевский Н.И., Солодилов Л.Н.** Особенности геологического строения геофизических и геохимических полей участка гибели АПЛ «Курск». Разведка и охрана недр, февраль 2001. С. 55.

4. **Барковский Е.В.** По закону сохранения энергии. Энергия физического вакуума топит подводные лодки. «Техника – молодежи» № 10, 2001. С. 56.

5. **Барковский Е.В.** Зона возбуждений. «Труд» № 221. 25.11.200.

6. **Барковский Е.В.** Катастрофы на море и под водой: Мифы и реальность. «Морской сборник» № 10. 2001. С. 31.